UNIVERSIDAD NACIONAL DE JAÉN

CARRERA PROFESIONAL DE INGENIERÍA CIVIL



"INFLUENCIA DE LA ADICIÓN DE CENIZA DE CASCARILLA DE CAFÉ EN LA TRABAJABILIDAD Y RESISTENCIA A COMPRESIÓN DEL CONCRETO"

TESIS PARA OPTAR EL TÍTULO PROFESIONAL DE INGENIERO CIVIL

AUTORES:

Bach. Marisol Díaz Vargas

Bach. Josmar Harold Fernández Pérez

ASESOR : Mg. Ing. Wilmer Rojas Pintado

COASESOR : Ing. MS.c. Wagner Colmenares Mayanga

JAEN – PERÚ, AGOSTO, 2019



UNIVERSIDAD NACIONAL DE JAÉN

Ley de Creación N° 29304

Universidad Licenciada con Resolución del Consejo Directivo Nº 002-2018-SUNEDU/CD

ACTA DE SUSTENTACIÓN

se reunieron los integrant Presidente: PR. MANU Secretario: MSC. MAR	es del Jurado: EL EMILIO MI 200 ANTONIO P	LLA PINO LLA PINO LARTINEZ SERRANO RRIDO CAMPAÑA pa	1 ->
() Trabajo de Investig	gación		
(×) Tesis			
() Trabajo de Suficier	ncia Profesional		
Titulado:	1		
		DE CENIZA DE CASO	
CAPE EN LA TRA	RAZABILIDAD	Y RESISTENCIA A	COMPRESION
DEL CONCRETO		ller MARISOL DIAZ	MARGAS
Y JOSMAR HAR	E / Egresado o Bachi	NOEZ PEREZ	VARGAS
		IA CIVIL	
la Universidad Naciona			
Después de la sustentació	n y defensa, el Jura	do acuerda:	
(★) Aprobar () Desaprobar	(×) Unanimidad	() Mayoría
Con la siguiente mención:			
a) Excelente	18, 19, 20	()	
b) Muy bueno	16, 17	(16)	
c) Bueno	14, 15	()	
d) Regular	13	()	
e) Desaprobado	12 ò menos	()	
Siendo lashor confirmando su participad		el Jurado concluye el acto ón de la presente.	de sustentación
	<u> </u>		
	Presidente	е	
95%		Ba	
Secretario		Vocal	

ÍNDICE

I.		INTR	ODUCCIÓN	1
II		OBJE	ETIVOS	2
	2.	1.	General.	2
	2.	2.	Específicos.	2
II	I.	MAT	ERIAL Y MÉTODOS	3
	3.	1.	Diseño de investigación.	4
	3.	2.	Instrumentos de recolección de datos.	4
	3.	3.	Desarrollo de la investigación.	5
	3.	3.1.	Canteras de adquisición de agregados.	6
	3.	3.1.1.	Agregado fino.	6
	3.	3.1.2.	Agregado grueso.	6
	3.	3.2.	Ceniza de cascarilla de café (CCC)	7
	3.	3.2.1.	Extracción.	7
	3.	3.2.2.	Características.	8
	3.	3.2.3.	Proceso de purificación.	8
	3.	3.2.4.	Ensayo de peso específico y absorción de la ceniza de cascarilla de café	9
	3.	3.3.	Ensayo químico en ceniza de cáscara de café OIKOSLAB N°1604-2019	10
	3.	3.3.1.	Medición del potencial de iones hidrógeno (ph)	10
	3.	3.3.2.	Determinación del porcentaje de óxido de silicio y silicio.	10
	3.	3.3.3.	Determinación del porcentaje de óxido de calcio.	11
	3.	3.3.4.	Determinación de carbonato de sodio por neutralización ácida	12
			Determinación de las características físicas de los agregados (ensayos	
			rizados)	
			Agregado fino.	
	3.		Agregado grueso.	
			Selección del cemento y agua.	
			Cemento portland tipo I.	
	3.		Agua para elaboración de concreto y curado de testigos	
			Diseño de mezclas.	
			Diseño de mezcla patrón.	33
			Corrección del diseño de mezcla adicionando el 1 % de ceniza de cascarilla	12
	ut	care.		43

		la de caféla de café	46
	3.3.7.	Elaboración de concreto (NTP 339.183).	46
	3.3.7.1.	Materiales	46
	3.3.7.2.	Equipos.	47
	3.3.7.3.	Metodología	47
	3.3.8.	Ensayos en concreto fresco.	47
	3.3.8.1.	Asentamiento del concreto -slump (NTP 339.035).	48
	3.3.8.2.	Peso unitario y rendimiento (NTP 339.046).	49
	3.3.8.3.	Contenido de aire en el concreto fresco método de presión (NTP 339.083)	50
	3.3.8.4.	Temperatura del concreto (NTP 339.184).	51
	3.3.9.	Fabricación de especímenes-testigos (NTP339.033).	52
	3.3.9.1.	Equipos.	52
	3.3.9.2.	Metodología.	52
	3.3.10.	Curado de especímenes-testigos (NTP339.033).	54
	3.3.11.	Esfuerzo a compresión de los especímenes de concreto (NTP339.034)	54
	3.3.12.	Peso unitario de testigos de concreto.	56
I	V. RESI	JLTADOS	57
	4.1.	Resultados de los ensayos físicos en la ceniza de cáscara de café	57
	4.2.	Resultados de los ensayos químicos en la ceniza de cáscara de café	57
	4.3.	Características físicas de los agregados.	60
	4.3.1.	Granulometría.	60
	4.3.2.	Contenido de humedad.	63
	4.3.3.	Peso específico y absorción.	63
	4.3.4.	Peso unitario.	65
	4.4.	Resultados del diseño de mezcla.	67
	4.5.	Resultados de ensayos en concreto fresco.	68
	4.6.	Resultados de ensayos en concreto endurecido.	72
	4.6.1.	Resistencia a la compresión.	72
	4.6.2.	Peso unitario del concreto endurecido	77
7	V. DISC	USIÓN	79
	5.1.	Análisis estadístico.	84
	5 1 1	Resultados analizados en concreto fresco	84

5.1.2. R	esultados analizados en concreto endurecido	37
VI. CONCI	LUSIONES Y RECOMENDACIONES9) 3
6.1. C	onclusiones9) 3
6.2. R	ecomendaciones) 4
VII. REFER	ENCIAS BIBLIOGRÁFICAS9) 5
	ÍNDICE DE TABLAS	
Tabla 1.Lím	ites de granulometría15	, i
Tabla 2.Req	uisitos granulométricos del agregado grueso	,
Tabla 3.Cara	acterísticas químicas del cemento portland tipo I32	
Tabla 4.Prop	piedades físicas del cemento portland tipo I	,
Tabla 5.Req	uisitos para el agua de mezcla y curado33	ì
Tabla 6. Des	scripción de los materiales para el diseño de muestra patrón34	Ļ
Tabla 7.Tipo	os de asentamientos	,
Tabla 8. Vol	lumen unitario de agua35	,
Tabla 9. Con	ntenido de aire atrapado36	,
Tabla 10. Re	elación Agua/Cemento por Resistencia37	,
Tabla 11. Ra	angos granulométricos recomendados39)
Tabla 12. M	ódulo de finura de combinación de agregados40)
Tabla 13. Re	esumen de cantidad de materiales secos	
Tabla 14. Re	esumen de cantidad de materiales corregidos por humedad42	
Tabla 15. Do	escripción de los materiales para diseño de mezcla adicionando el 1% de	
CCC	43	i
Tabla 16. Re	esumen de cantidad de materiales secos con 1% de CCC45	i
Tabla 17. Re	esumen de cantidad de materiales corregidos por humedad con 1% de CCC.	
	46	<u>,</u>
Tabla 18. Co	ontenido de humedad de los agregados para mezclas al 2, 4 y 8 % de adición.	
	46	,
Tabla 19. Ca	aracterísticas físicas de la CCC	,
Tabla 20. Pł	n de la CCC57	,
Tabla 21. Po	orcentaje de SiO ₂ y Si en la CCC	,
Tabla 22. Po	orcentaje de óxido de calcio (CaO)58	,

Tabla 23. Porcentaje de carbonato de calcio.	58
Tabla 24.Resumen de los ensayos químicos realizados a la CCC	59
Tabla 25. Análisis granulométrico del agregado fino	60
Tabla 26. Análisis granulométrico del agregado grueso.	61
Tabla 27. Contenido de humedad del agregado fino	63
Tabla 28. Contenido de humedad del agregado grueso	63
Tabla 29. Peso específico y absorción del agregado fino	64
Tabla 30. Peso específico y absorción del agregado grueso	64
Tabla 31. Peso unitario seco y compactado del agregado fino	65
Tabla 32.Peso unitario seco y compactado del agregado grueso	65
Tabla 33. Peso unitario suelto del agregado fino.	66
Tabla 34. Resultados de peso unitario suelto del agregado grueso	66
Tabla 35. Materiales de diseño secos adicionando diferentes porcentajes de CCC	67
Tabla 36. Materiales de diseño corregidos por humedad adicionando diferentes	
porcentajes de CCC	67
Tabla 37. Resultados obtenidos de la mezcla patrón	68
Tabla 38. Resultados obtenidos de la mezcla con 1% de CCC	68
Tabla 39. Resultados obtenidos de la mezcla con 2% de CCC.	69
Tabla 40. Resultados obtenidos de la mezcla con 4% de CCC.	69
Tabla 41. Resultados obtenidos de la mezcla con 8% de CCC.	69
Tabla 42. Resumen de los ensayos realizados en concreto fresco	70
Tabla 43. Resistencia a compresión de los especímenes a los 7 días	73
Tabla 44. Resistencia a compresión de los especímenes a los 14 días	74
Tabla 45. Resistencia a compresión de los especímenes a los 28 días	75
Tabla 46. Resistencia a compresión promedio (Kg/cm²) del concreto endurecido	76
Tabla 47. Peso unitario de concreto endurecido.	77
Tabla 48. Variación del asentamiento slump respecto a los porcentajes de CCC	80
Tabla 49. Comparación de investigaciones.	83
Tabla 57. Resistencia a compresión promedio.	92

ÍNDICE DE FIGURAS

Figura 1. Desarrollo de la investigación.	5
Figura 2. Ubicación de la cantera Josecito.	6
Figura 3. Ubicación de la cantera arenera Jaén.	7
Figura 4. Visita a ladrillera GREQ.	7
Figura 5. Recolección y auto – combustión de la CCC	8
Figura 6. Tamizado de ceniza y selección de partículas pasantes de la malla N° 100	9
Figura 7. Cuarteo del agregado fino	14
Figura 8. Tamizado mecánico de arena gruesa y peso de cada retenido parcial	16
Figura 9. Lavado del material por la malla N° 200.	17
Figura 10. Muestra de agregado fino para encontrar el contenido de humedad	19
Figura 11. Peso específico y absorción del agregado fino.	21
Figura 12. Peso unitario compactado del agregado fino.	22
Figura 13. Peso unitario suelto del agregado fino.	23
Figura 14. Cuarteo del agregado grueso.	24
Figura 15. Tamizado mecánico del agregado grueso y peso de cada retenido parcial	27
Figura 16. Muestra de agregado grueso para encontrar el contenido de humedad	28
Figura 17. Peso específico y absorción del agregado grueso.	29
Figura 18. Ensayo de peso unitario compactado agregado grueso.	30
Figura 19. Ensayo de peso unitario suelto agregado grueso	31
Figura 20. Combinación de los agregados.	41
Figura 21. Elaboración de concreto patrón y concretos con adición de (CCC)	47
Figura 22. Asentamiento usando el cono de Abrams.	48
Figura 23. Peso unitario del concreto fresco.	49
Figura 24. Determinación del aire atrapado en el concreto.	51
Figura 25. Temperatura del concreto.	51
Figura 26. Fabricación de especímenes de concreto.	53
Figura 27. Curado de probetas	54
Figura28. Ensayo de esfuerzo a compresión.	55
Figura 29. Curva granulométrica del agregado fino	62
Figura 30. Curva granulométrica del agregado grueso	62
Figura 31. Variación de slump	70
Figura 32. Variación de temperatura.	71

Figura 33. Variación del contenido de aire.	71
Figura 34. Variación del peso unitario.	72
Figura 35. Resistencia a compresión de los especímenes a los 7 días	73
Figura 36. Resistencia a compresión de los especímenes a los 14 días	74
Figura 37. Resistencia a compresión de los especímenes a los 28 días	75
Figura 38. Resistencia a compresión promedio de los especímenes de concreto	76
Figura 39. Peso unitario de concreto endurecido.	78
Figura 47. Resistencia a compresión media de las edades del concreto	92

RESUMEN

Se utilizó ceniza de cascarilla de café (CCC) como adición en la elaboración del concreto, teniendo como objetivo determinar su influencia en la trabajabilidad y resistencia a compresión del concreto. Se obtuvo la caracterización físico-química de la CCC y las características físicas de los agregados (arena y piedra chancada) a través de ensayos normalizados, permitiendo obtener un diseño de mezcla patrón f´c = 280 Kg/cm², a partir del cual se realizó la corrección por incorporación de CCC en 1%, 2%, 4% y 8% en relación al peso del cemento. Se elaboró concreto y se hicieron ensayos en concreto fresco y endurecido, teniendo como resultados que el slump y peso unitario disminuyen a medida que aumenta la adición de CCC; la temperatura y contenido de aire se incrementan a mayor porcentaje de CCC. La resistencia a compresión del concreto se incrementa respecto a la muestra patrón al adicionar 1% y 2% de CCC.

Palabras clave: concreto, slump, resistencia a compresión, ceniza de cascarilla de café.

ABSTRACT

Coffee husk ash (CCC) was used as an additive in the preparation of concrete, with the objective of determining its influence on the workability and resistance to compression. The physical-chemical characterization of the CCC and the physical characteristics of the aggregates (sand and shard) were obtained through standardized tests, allowing to obtain a standard mix pattern f'c = 280 Kg / cm2 and from which, corrections were made through incorporation of CCC in 1%, 2%, 4% and 8% in relation to the weight of the cement. Concrete was developed and tested in fresh and hardened, resulting in slump and unit-weight decrease to as the CCC addition increases. The temperature and air content increases to a higher percentage of CCC as the resistance to compression increases with respect to the standard sample by adding 1% and 2% of CCC.

Keywords: concrete, slump, compressive strength, coffee husk ash (CCC).

I. INTRODUCCIÓN

En los últimos años la producción de cemento ha incrementado (FICEM, 2018), debido a que es utilizado como material para la elaboración de concreto en diversas obras de ingeniería; para poder usar el concreto como material de construcción, debe tener trabajabilidad en estado fresco y resistencia a compresión en estado endurecido lo que genera un interés de proponer nuevas alternativas que permitan mejorar dichas propiedades.

Se ha realizado investigaciones como la de (Camacho Hoyos & Guerrero González, 2017) en Bogotá Colombia sobre "obtención de sílice a partir de bagazo de cebada para la aplicación en concreto convencional" y la investigación realizada por (Huaroc Palacios, 2017) que evaluó cuál es el óptimo porcentaje de adición de micro sílice obtenida a partir de la ceniza de cascarilla de arroz aplicado en el concreto en estado fresco y endurecido. Obteniendo mejora de las propiedades de trabajabilidad y resistencia a compresión.

Es por ello que surge la posibilidad de utilizar la ceniza de cascarilla de café como adición en la dosificación del concreto, pues se estima que ésta contiene calcio y silicato, sustancias capaces de mejorar las propiedades de trabajabilidad y resistencia a compresión (Rodriguez Soberón, 2017).

Esta ceniza lo podemos encontrar en gran cantidad y como material de desecho en la ladrillera GREQ en la provincia de Jaén; ya que ésta utiliza la cascarilla de café como combustible para la calcinación de ladrillos.

El desarrollo experimental comprendió un diseño y elaboración de mezclas para un concreto f´c = 280 Kg/cm2, y a partir de este se varió los porcentajes de adición de CCC en 1%, 2%, 4% y 8% en relación al peso del cemento, los mismos que fueron ensayados y analizados tanto en estado fresco y endurecido; verificando, a través del procesamiento de los datos obtenidos, si se producen diferencias significativas.

II. OBJETIVOS

2.1. General.

Determinar la influencia de la adición de ceniza de cascarilla de café (CCC) en el concreto f'c = 280 Kg/cm² para mejorar las propiedades de trabajabilidad y resistencia a compresión.

2.2. Específicos.

Realizar el estudio de los agregados (arena y piedra chancada) para determinar sus características físicas: contenido de humedad, granulometría, peso específico, absorción, peso unitario y módulo de fineza.

Diseñar una mezcla patrón para f'c = 280 Kg/cm² y a partir de ésta variar el porcentaje de adición de ceniza de cascarilla de café (CCC) en 1%, 2%, 4% y 8% en relación al peso del cemento.

Elaborar concreto en base a la dosificación determinada y realizar ensayos en estado fresco como slump, contenido de aire, peso unitario y temperatura.

Realizar ensayos en concreto endurecido de resistencia a compresión y peso unitario.

Analizar cuál es el porcentaje óptimo de ceniza de cascarilla de café (CCC) adicionada al concreto que presenta mejor trabajabilidad y resistencia a compresión.

MATERIAL Y MÉTODOS III.

Materiales:

Agregados (arena gruesa y piedra chancada), ceniza de la cascarilla de café (CCC),

cemento y agua potable.

Métodos:

Estudio químico de la ceniza de cascarilla de café, determinación de las características

físicas de los agregados (ensayos estandarizados); luego proceder al diseño de la mezcla

patrón, hacer la corrección de la mezcla patrón por adición de CCC en cantidades de 1%,

2%, 4% y 8% del peso de cemento, elaborar concreto fresco realizando ensayos de slump,

peso unitario, contenido de aire, temperatura y fabricación de los especímenes de concreto

(testigos), curado de los especímenes elaborados y prueba de los especímenes a

compresión a los 7, 14 y 28 días; en cada ítem se describen tanto los materiales, equipo y

metodología (método de experimentación y procedimiento); obtener los datos necesarios

para el procesamiento de resultados.

Variables

Variable Dependiente X

X1: Resistencia a la compresión

X2: Trabajabilidad

Variable Independiente Y

Y1: ceniza de cascarilla de café (CCC)

3

3.1. Diseño de investigación.

Es una investigación cuantitativa, experimental, comparativa y aplicada.

3.2. Instrumentos de recolección de datos.

Para hacer la recolección de datos se utilizaron formatos de acuerdo al tipo de ensayo a

realizar y siguiendo los procedimientos de norma correspondiente.

Extracción de muestras: (NTP 400.010 AGREGADOS). Extracción y preparación de las

muestras.

Análisis Granulométrico: (NTP 400.012 AGREGADOS). Análisis granulométrico del

agregado fino, grueso y global.

Peso Específico y Porcentaje de Absorción: (NTP 400.022 AGREGADOS). Método de

ensayo normalizado para la densidad, la densidad relativa (peso específico) y absorción del

agregado fino.

Peso Unitario Suelto y Varillado: (NTP 400.017 AGREGADOS). Método de ensayo para

determinar el peso unitario del agregado.

Contenido de humedad: (NTP 339.185 AGREGADOS). Método de ensayo normalizado

para contenido de humedad total evaporable de agregados por secado.

Peso Específico y Porcentaje de Absorción: (NTP 400.021 AGREGADOS). Método de

ensayo normalizado para la densidad, la densidad relativa (peso específico) y absorción del

agregado grueso.

Asentamiento del concreto (Slump): (NTP 339.035). Método de ensayo para la medición

del asentamiento del concreto con el cono de Abrams.

Contenido de aire en el concreto fresco método de presión :(NTP 339.083)

Peso unitario y rendimiento: (NTP 339.046)

Temperatura del concreto: (NTP 339.184)

Resistencia a la compresión de especímenes cilíndricos de concreto: (NTP 339.034).

Método de ensayo normalizado para la determinación de la resistencia a compresión del

concreto, en muestras cilíndricas.

4

3.3. Desarrollo de la investigación.

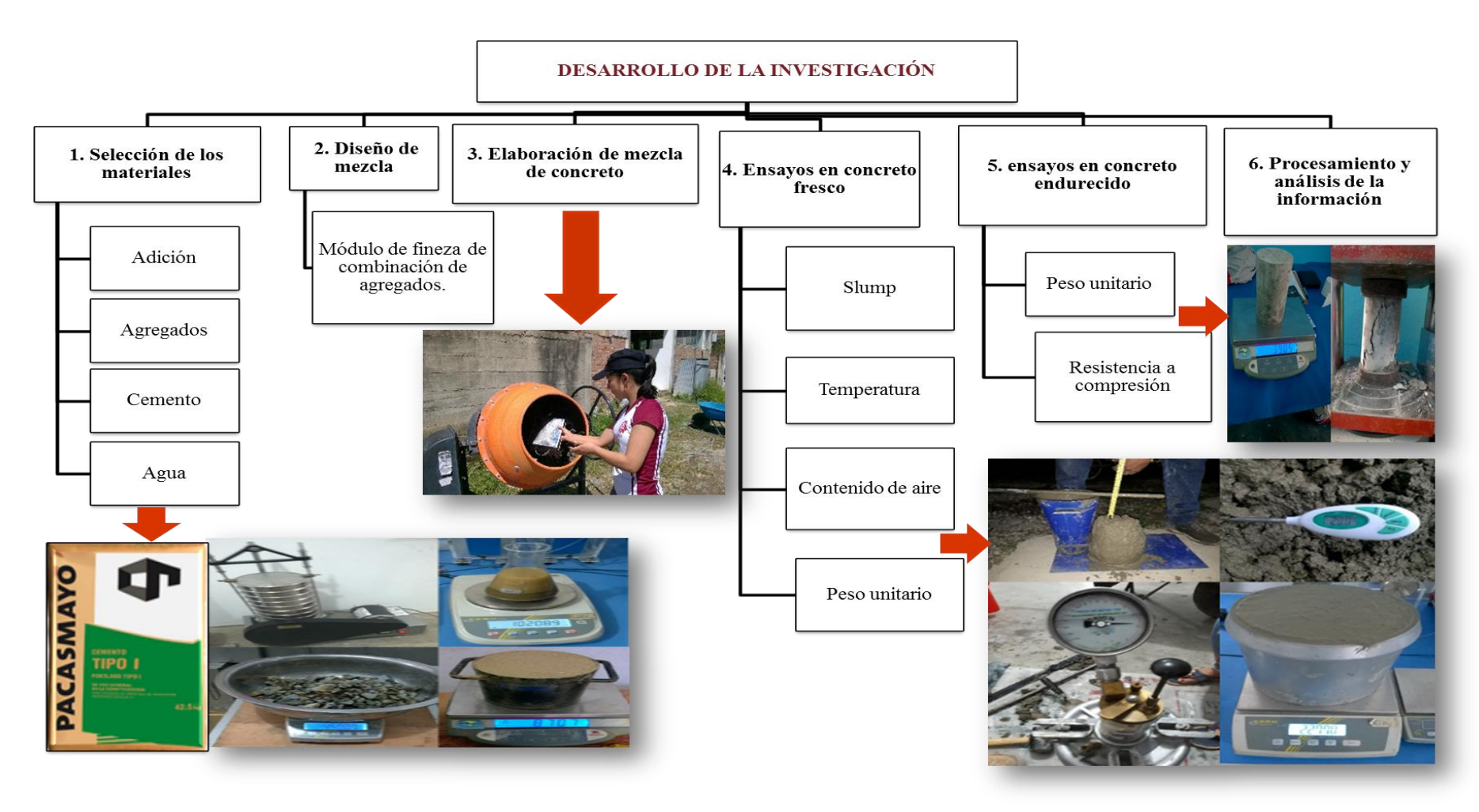


Figura 1. Desarrollo de la investigación.

3.3.1. Canteras de adquisición de agregados.

3.3.1.1. Agregado fino.

A. Elección de la cantera.

Teniendo consideración de las normas técnicas peruanas; los materiales a usar para la elaboración de concreto en este caso de especímenes (testigos); los agregados que se utilizarán en este trabajo serán de origen fluvial, tanto el agregado fino (arena gruesa) como el agregado grueso (piedra chancada).

B. Ubicación.

Está ubicada en el departamento de Cajamarca, provincia Jaén, Distrito de Jaén; con coordenadas UTM este: 752157, norte: 9359427, una altitud promedio de 435 m.s.n.m y una distancia aproximada de 34 km desde la ciudad de Jaén.



Figura 2. Ubicación de la cantera Josecito.

3.3.1.2. Agregado grueso.

A. Ubicación.

Está ubicada en el departamento de Cajamarca, provincia Jaén, Distrito de Jaén; con coordenadas UTM este: 749584, norte: 9374627, una altitud promedio de 540 m.s.n.m y una distancia aproximada de 10 km desde la ciudad de Jaén.



Figura 3. Ubicación de la cantera arenera Jaén.

3.3.2. Ceniza de cascarilla de café (CCC).

3.3.2.1. Extracción.

Se extrajo de la ladrillera GREQ que está ubicada en el departamento de Cajamarca, provincia Jaén, Distrito de Jaén; con coordenadas UTM este: 749802, norte: 9375314, una altitud promedio de 573 m.s.n.m y una distancia aproximada de 10.7 km desde la ciudad de Jaén.



Figura 4. Visita a ladrillera GREQ.

3.3.2.2. Características.

Es un desecho agroindustrial de la ladrillera GREQ que utiliza la cascarilla de café como combustible para la incineración de ladrillos a temperaturas controladas.

El residuo de la combustión de la cascarilla de café fue obtenido de la ladrillera GREQ, en esta industria ladrillera se calcina la cascarilla de café a una temperatura aproximada de 900 °C, luego se recolectó en un cilindro metálico para continuar con la auto-combustión en un lugar ventilado y bajo techo.



Figura 5. Recolección y auto – combustión de la CCC.

3.3.2.3. Proceso de purificación.

Una vez obtenido el residuo de la combustión de la cascarilla de café del horno de calcinación de ladrillos de la ladrillera GREQ, se deposita en un recipiente metálico para continuar su auto-combustión hasta llegar a la condición de ceniza; luego del enfriado se realiza el tamizado utilizando las mallas N° 50, N° 80, N° 100 y N° 200 con la finalidad de separar partículas gruesas y carbón.

Posteriormente para esta investigación se seleccionó la ceniza pasante de la malla N° 100 por tener un color crema y no presentar partículas de color negro.

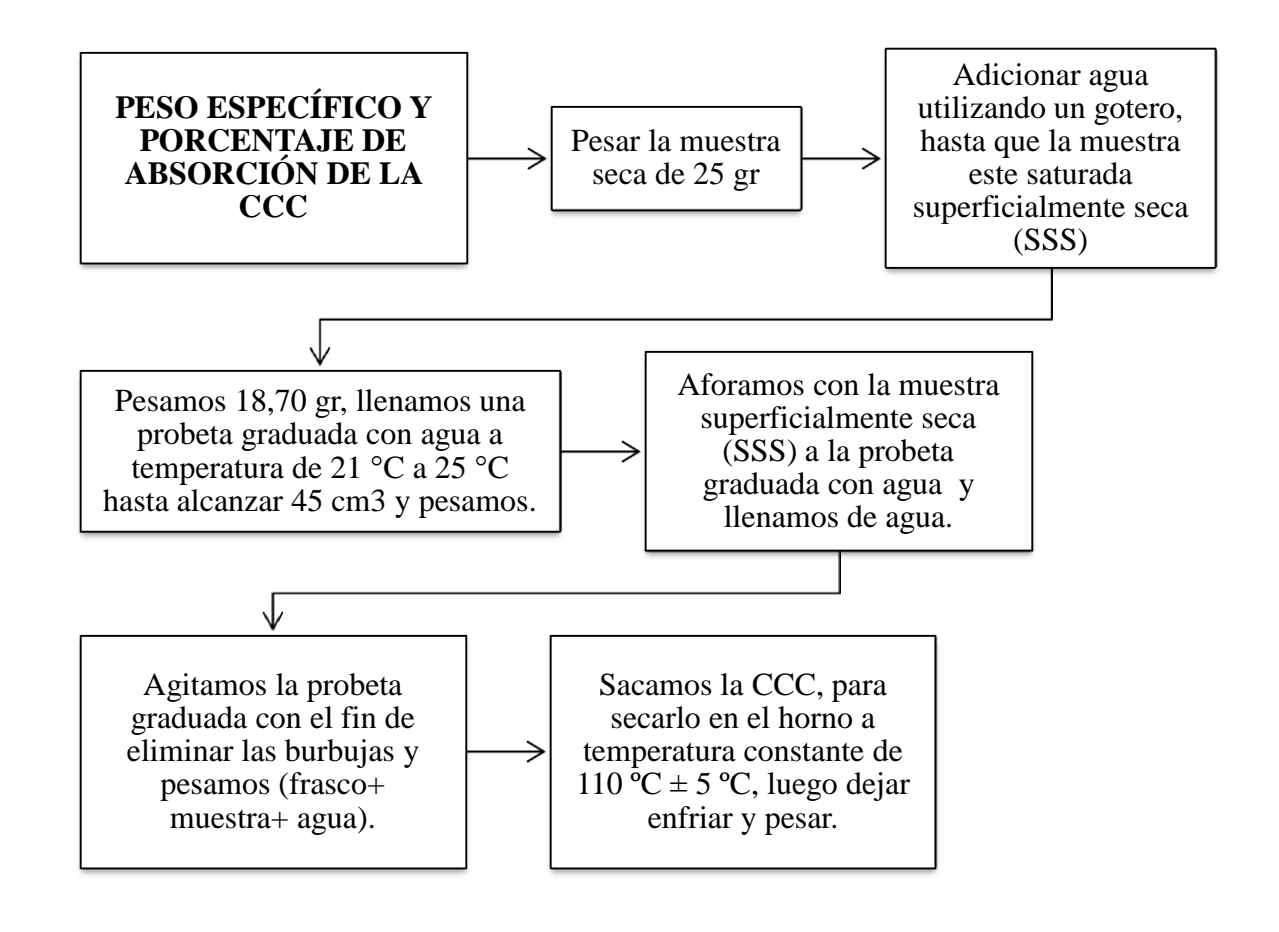
De esta ceniza se realizaron ensayos químicos en el laboratorio "OIKOSLAB SAC." propiedad del Ingeniero Químico Ing. Jorge A. Delgado Soto, ubicado en pasaje San Pedro 113- Morro Solar - Jaén.



Figura 6. Tamizado de ceniza y selección de partículas pasantes de la malla Nº 100

3.3.2.4. Ensayo de peso específico y absorción de la ceniza de cascarilla de café.

Procedimiento:



Las ecuaciones para el cálculo del peso específico:

Peso específico seco al horno =
$$\frac{A}{(B+S-C)}$$

La ecuación para el cálculo del porcentaje de absorción:

Absorción % (Ab) =
$$100 * \frac{(S-A)}{A}$$

Dónde:

A = masa de la muestra seca al horno (gr).

B = masa de la probeta llenado de agua hasta la marca de calibración (gr).

C = masa de la probeta lleno de la muestra y el agua hasta la marca de calibración (gr).

S = masa de la muestra de saturado superficialmente seca (gr).

3.3.3. Ensayo químico en ceniza de cáscara de café OIKOSLAB Nº1604-2019.

3.3.3.1. Medición del potencial de iones hidrógeno (ph).

Referencia: MTCE 718

Se realiza una dilución de 10 gramos de suelo en 25 ml de agua destilada, Los resultados se obtienen a partir de las mediciones mostradas en el equipo pH metro. HANNA HI2550. Se realiza el protocolo de calibración del equipo con los Buffers HI 7004 (4.01), HI 7007 (7.01) y HI7010 (10.01).

3.3.3.2. Determinación del porcentaje de óxido de silicio y silicio.

Adaptación de la norma MTCE 602 (Gravimetría)

Preparación de la muestra

Se pesó en una luna de reloj una muestra aproximada de 0,4 y 0,5 gramos previamente triturada y pulverizada. Luego se pasó la muestra cuantitativamente a un vaso de precipitados de 100 ml, agregar lentamente y con mucho cuidado aproximadamente 20 ml de ácido clorhídrico (HCl) en relación 1:1; medidos con una probeta y evaporar lentamente hasta la sequedad.

10

Filtración

Al residuo seco se le adicionó entre 1 y 1,5 ml de HCl concentrado y luego 30 ml de agua destilada, se agitó y desprender todo el sólido del vaso, si es necesario adicionar más agua destilada, dejar en reposo 5 minutos y filtrar por gravedad con papel de filtro, con agua caliente hasta que en el filtrado no se obtenga presencia de cloruros, probar con nitrato de plata.

Calcinación

Se lavó y secó un crisol de porcelana, marcarlo y se colocó en la mufla a 900 °C durante media hora, luego se enfrió y se pesó.

Una vez finalizada la filtración se colocó el papel de filtro en el crisol de porcelana (previamente marcado y pesado), se calentó el crisol hasta carbonizar el papel.

Después de carbonizar el papel, se colocó el crisol y su contenido en la mufla y se calcinó a 900 °C durante una hora, esperar hasta que la temperatura baje hasta 200 °C, se sacó el crisol y se colocó en un desecador, se dejó enfriar y finalmente se pesó.

3.3.3.3. Determinación del porcentaje de óxido de calcio.

Adaptación de la norma MTCE 602 (Gravimetría)

Preparación de la muestra

Se tritura y pulveriza la muestra en un mortero. Se pesa en un vidrio de reloj una muestra comprendida entre 0.4 - 0.5 g y pasarla cuantitativamente a un vaso de precipitados de 50 ml.

Agregar lentamente y con mucho cuidado 20 ml de solución de HCl (1:3), con ayuda de una probeta. Calentar y agregar agua destilada y eliminar el hierro y el aluminio (que se precipitaría si no se elimina antes) agregando primero rojo de metilo (pH 6,2 - 6,9) y luego solución de amoníaco hasta cambio del indicador y filtrar por gravedad con papel de filtro, recogiendo el filtrado en un matraz aforado de 250 ml donde se ha colocado previamente 5 ml de ácido clorhídrico 1:3, lavar con agua caliente y completar a volumen con agua destilada.

Precipitación

Tomar una alícuota de 50 ml (medidos con un matraz aforado de 50 ml) del filtrado anterior y colocarla en un vaso de precipitados de 250 ml, calentar y agregar lentamente con la bureta 20 ml de oxalato de amonio al 5% p/v, si la solución tiene color rojo se agrega agitando continuamente amoníaco concentrado, gota a gota hasta que el color rojo cambie a amarillo (evitar el exceso para evitar la precipitación del magnesio). Dejar en reposo 30 minutos. Después comprobar que la precipitación ha sido completada agregando una gota de solución al 5% p/v de oxalato de amonio por las paredes del vaso, si se forma más precipitado se debe agregar más oxalato de amonio al 5% p/v.

Filtración

Filtrar por gravedad el precipitado formado en papel de filtro, lavar primero con agua destilada y luego con aprox. 30 ml con una solución de oxalato de amonio al 0,1% p/v para evitar la peptización, y despreciar el filtrado.

Calcinación

Mientras se va filtrando, lavar y secar un crisol de porcelana, luego marcarlo, colocarlo en la mufla a 1 000 °C durante media hora, dejarlo enfriar en un desecador y pesarlo. Una vez finalizada la filtración, sacar el papel de filtro del embudo, doblar los extremos para cubrir el precipitado y colocarlo en el crisol de porcelana (previamente marcado y pesado), calentar el crisol hasta carbonizar el papel, evitando formación de llama. Tener cerca la tapa del crisol por si fuera necesario su uso.

Después de carbonizar el papel de filtro, colocar el crisol en la mufla y calcinar a 900 °C durante una hora, esperar a que la temperatura baje hasta 200 °C, sacar el crisol y colocarlo en un desecador, dejarlo enfriar e inmediatamente pesarlo.

3.3.3.4. Determinación de carbonato de sodio por neutralización ácida.

Adaptación método de la Universidad Nacional Agraria La Molina Perú.

En el laboratorio se puede encontrar la cantidad de calcáreo total de la ceniza, en base a la cantidad de ácido clorhídrico utilizado (HCl). El CO₂ generado puede ser calculado en base a la cantidad de HCl gastado de acuerdo a la siguiente reacción:

$$CaCO_3 + 2HCl \rightarrow CaCl_2 + CO_2 + H_2O$$

$$H_2CO_3 \rightarrow H_2O + CO_2$$

El exceso de HCl adicionado es titulado con NaOH, ajustando a la siguiente reacción:

$$HCl + NaOH \rightarrow NaCl + H_2O$$

Reactivos.

- ➤ Ácido clorhídrico 0,5 N: 42,50mL de ácido clorhídrico Q.P. al 37% y densidad 1,18 g/cm³. Aforar a 1L.
- ➤ Hidróxido de sodio 0,5 N: 20 gramos de NaOH diluidos en agua destilada y aforados a
- ➤ Indicador: Es el resultado de mezclar 100 ml de Fenolftaleína: un gramo en 100 ml de etanol al 95%.
- ➤ 60 ml de rojo de metilo: 0,1g de rojo de metilo en 100 ml de alcohol.
- ➤ 40 ml de verde bromocresol: 0,04 gramos de verde bromocresol en 80 ml de agua y 5,7 ml de NaOH 0,01N (0,004 gramos de NaOH en 10 ml).

Procedimiento:

- ➤ En un Erlenmeyer de 250 ml colocar 1 g de suelo ó 1 ml de suelo si se va trabajar en volumen.
- Adicionar 25 ml de HCl 0,5 N. Agitar. Adicionar agua destilada (25 50 ml).
- > Calentar en forma lenta hasta casi ebullición.
- Enfriar. Adicionar 0,5 ml del indicador.
- > Titular con NaOH 0,5 N hasta el cambio de color.
- Llevar en forma paralela un blanco o testigo.

Cálculos

N = normalidad de NaOH

Vb = mI. de NaOH adicionado al blanco

Vg = mI. de NaOH adicionado a la muestra de suelo 1 me (miliequivalente) de $CaCO_3 = 50 \text{ mg}$ de $CaCO_3$

 $(Vb - Vg) N \times 50 = mg$. de $CaCO_3$ presente en un g de suelo o un ml de suelo

Ecuación:

$$\% CaCO_3 = 5 * N corregido (Vb - Vg)$$

3.3.4. Determinación de las características físicas de los agregados (ensayos estandarizados).

A. Extracción de muestras: (NTP 400.010)

La aplicación de la toma de muestras de los agregados de Cantera para la ejecución de ensayos de laboratorio, constituye una operación fundamental en el proceso de control de calidad para las elecciones de los materiales para la producción del concreto, pues de ello dependerá la representatividad para que los resultados reflejen las propiedades físicas y mecánicas del total del material de la cantera estudiada.

3.3.4.1. Agregado fino.

B. Reducción de muestras a tamaño de ensayo: (NTP 400.043)

Para poder reducir de forma adecuada el tamaño de la muestra en esta investigación se ha optado por el método de cuarteo con el cual obtenemos muestras representativas y homogéneas, seleccionando material de dos partes opuestas para elaborar los ensayos correspondientes.



Figura 7. Cuarteo del agregado fino

C. Análisis Granulométrico: (NTP 400.012).

El agregado fino (arena gruesa) fue una arena de origen pluvial, la cual se obtuvo de la "Cantera Josecito" ubicado en la carretera Jaén — Chamaya, Provincia de Jaén — región Cajamarca. Esta muestra fue ensayada para determinar si cumple con el Huso Granulométrico establecido en la Norma Técnica Peruana NTP 400.037.

Tabla 1.Límites de granulometría.

	MALLA	PORCENTAJE QUE PASA (ACUMULATIVO)						
3/8"	9.5mm	100						
N°4	4.75mm	95 a 100						
N°8	2.36mm	80 a 100						
N°16	1.18mm	50 a 85						
N°30	600um	25 a 60						
N°50	300um	10 a 30						
N°100	150um	2 a 10						

Fuente: Norma Técnica Peruana NTP 400.037

Procedimiento:

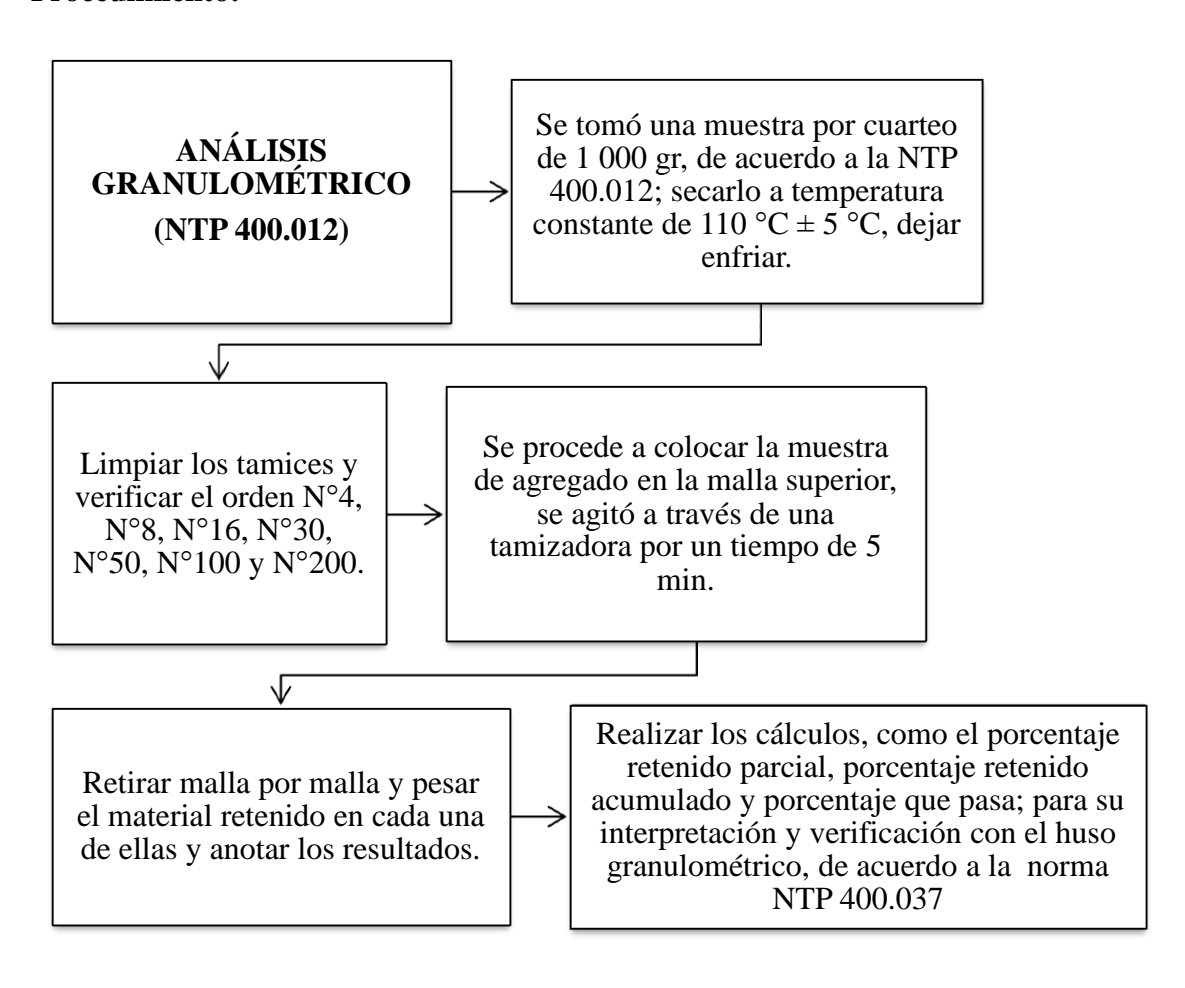




Figura 8. Tamizado mecánico de arena gruesa y peso de cada retenido parcial.

D. Material que pasa el tamiz N° 200 (75um): (NTP 339.132)

Procedimiento:

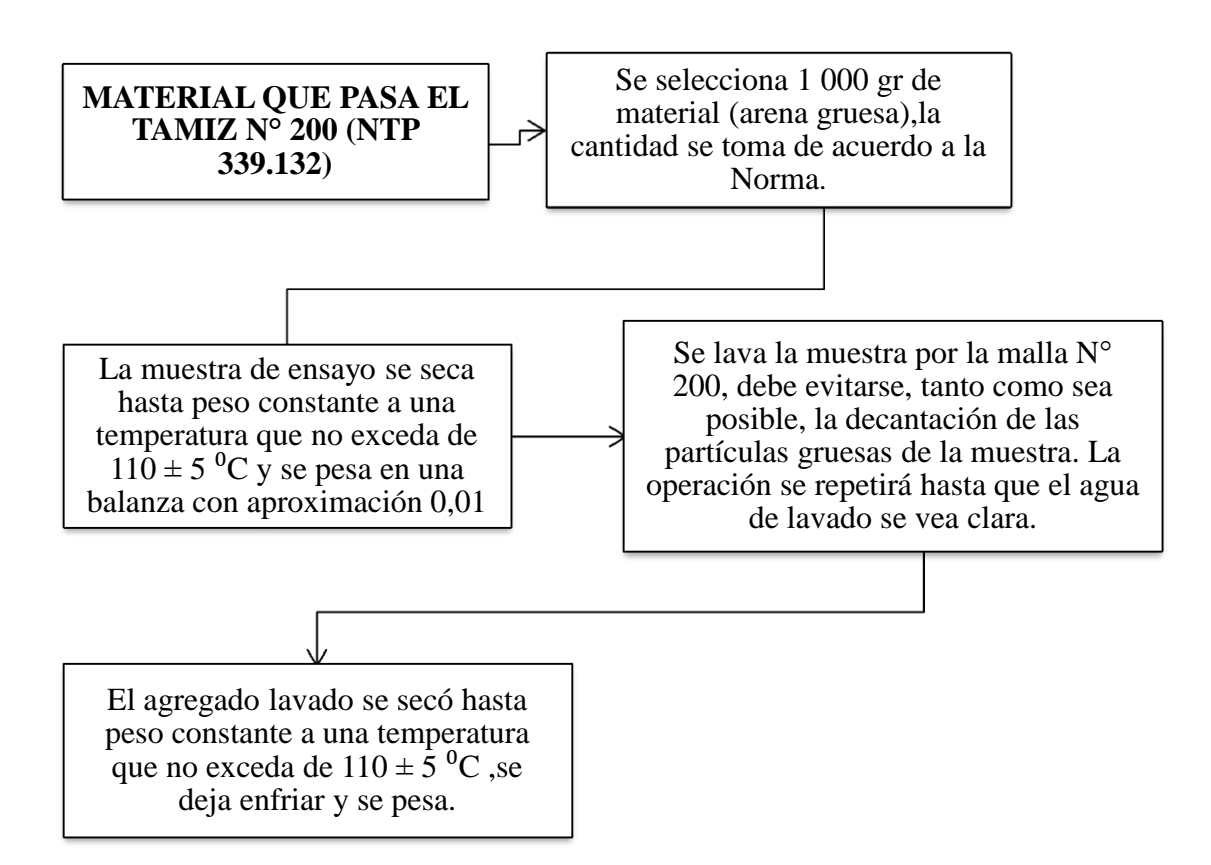




Figura 9. Lavado del material por la malla N° 200.

La fórmula para calcular el material que pasa es la siguiente:

$$P_f = \frac{p_{0-}p_1}{p_0} * 100$$

Dónde:

Pf = Porcentaje del material fino que pasa el tamiz N° 200(75um)

P0 = Peso de la muestra original seca al horno

P1 = Peso de la muestra seca después de lavado

E. Módulo de fineza :(NTP 400.011)

El módulo de fineza es un factor empírico que permite estimar que tan fino o grueso es un material en este caso la arena y la formula está dada por la siguiente ecuación:

$$MF_{Af} = \frac{\sum \% \ acumulados(N^{\circ}4, N^{\circ}8, N^{\circ}16, N^{\circ}30, N^{\circ}50, N^{\circ}100 \ y \ N^{\circ}200)}{100}$$

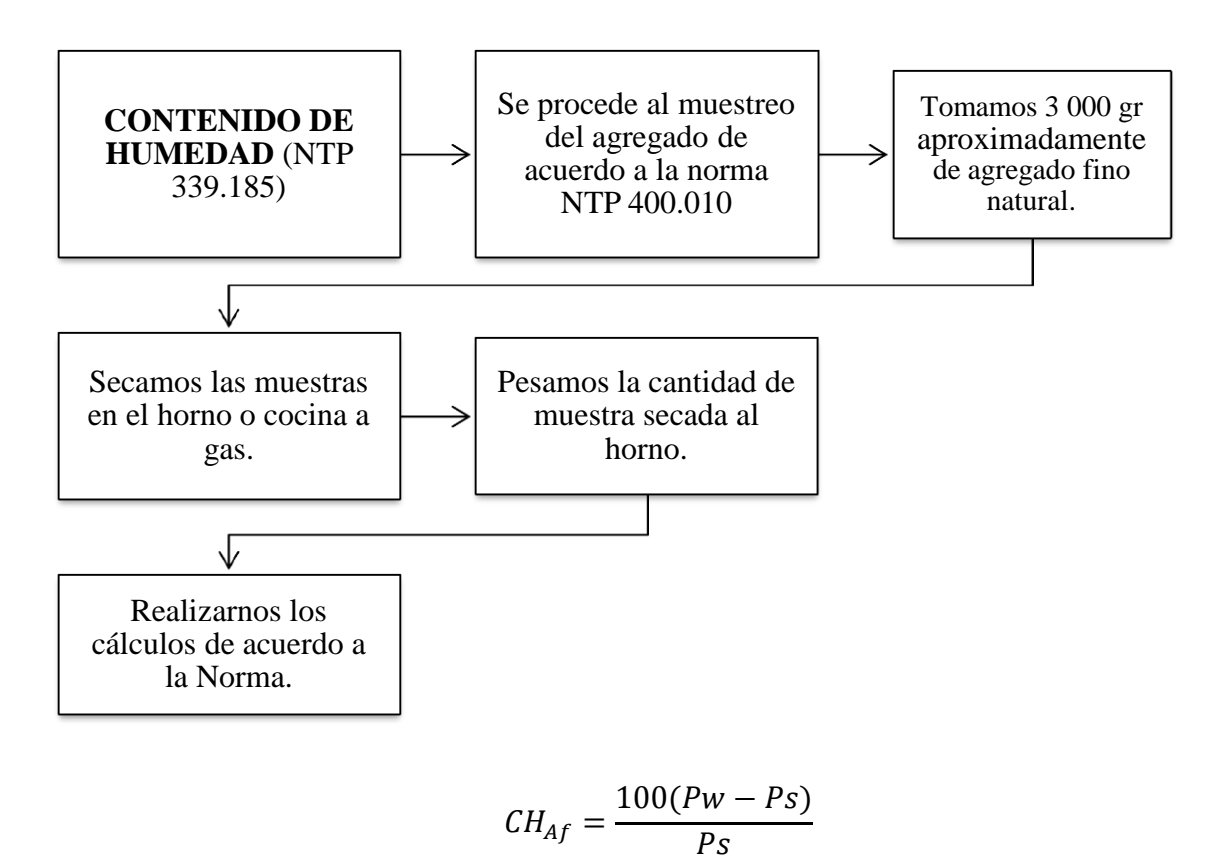
Dónde:

MF_{Af} = Módulo de fineza del agregado fino (arena gruesa).

F. Contenido de humedad: (NTP 339.185)

El contenido de humedad de un agregado varía constantemente de acuerdo al medio ambiente por eso para esta investigación se ha encontrado el contenido de humedad cada vez que se hizo la mezcla. Esto es importante para poder definir la cantidad de agua de mezcla y no alterar la relación agua-cemento.

Procedimiento:



Dónde:

CH_{Af} = Contenido total de humedad total evaporable de la muestra (%)

Pw = Peso Húmedo de la muestra original (gr)

Ps = Peso seco de la muestra (gr)



Figura 10. Muestra de agregado fino para encontrar el contenido de humedad.

G. Peso Específico y Porcentaje de Absorción: (NTP 400.022)

Para este ensayo se hizo tres pruebas para obtener el peso específico y porcentaje de absorción promedios.

Procedimiento:

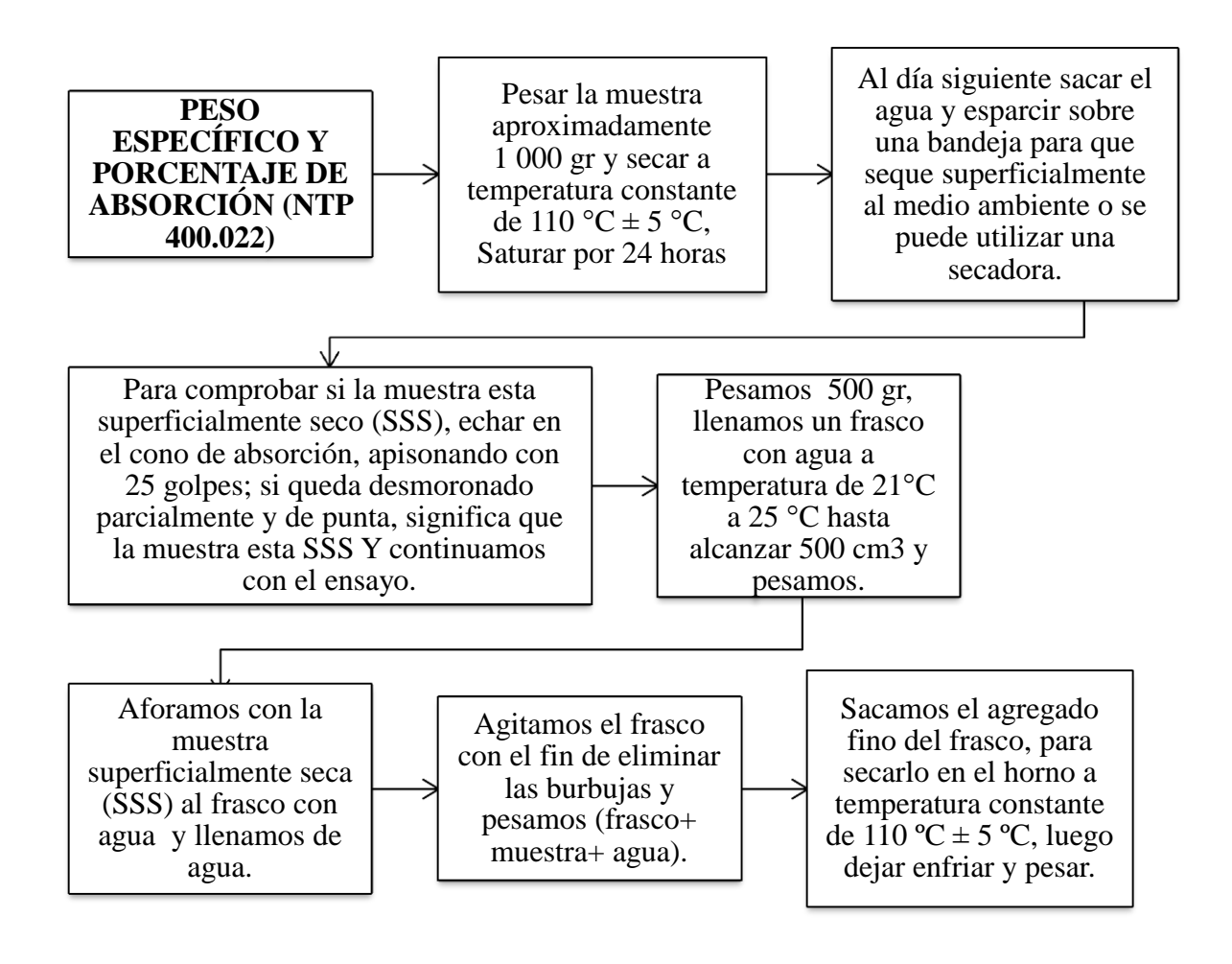




Figura 11. Peso específico y absorción del agregado fino.

Las ecuaciones para el cálculo del peso específico:

Peso específico seco al horno = $\frac{A}{(B+S-C)}$

Peso específico saturado superficialmente seca (SSD) = $\frac{S}{(B+S-C)}$

Peso específico aparente = $\frac{A}{(B+A-C)}$

La ecuación para el cálculo del porcentaje de absorción:

Absorción % (Ab) =
$$100 * \frac{(S-A)}{A}$$

Dónde:

A = masa de la muestra seca al horno (gr).

B = masa del picnómetro llenado de agua hasta la marca de calibración (gr).

C = masa del picnómetro lleno de la muestra y el agua hasta la marca de calibración (gr).

S = masa de la muestra de saturado superficialmente seca (gr).

H. Peso Unitario Suelto y Compactado: (NTP 400.017)

Procedimiento para el ensayo de peso unitario compactado.

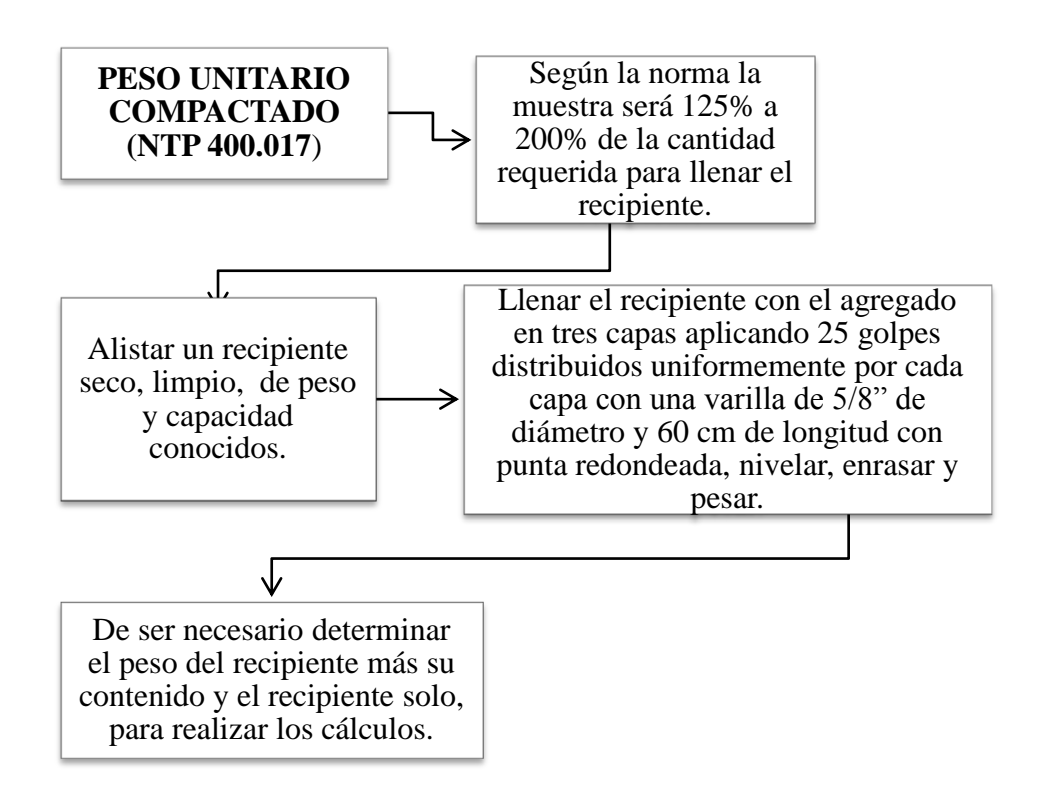




Figura 12. Peso unitario compactado del agregado fino.

En este caso también se ha realizado tres pruebas y se tomará el promedio como resultado final, la ecuación para encontrar el peso unitario compactado es la siguiente:

$$P. U. C = \frac{A-B}{V}$$

Dónde:

(P.U.C.) = Peso Unitario Compactado (Kg/m^3)

A = Peso del recipiente de medida más el Agregado compactado (Kg)

B = Peso del recipiente de medida (Kg)

V = Volumen de la medida (m³)

Procedimiento para el ensayo de peso unitario suelto.

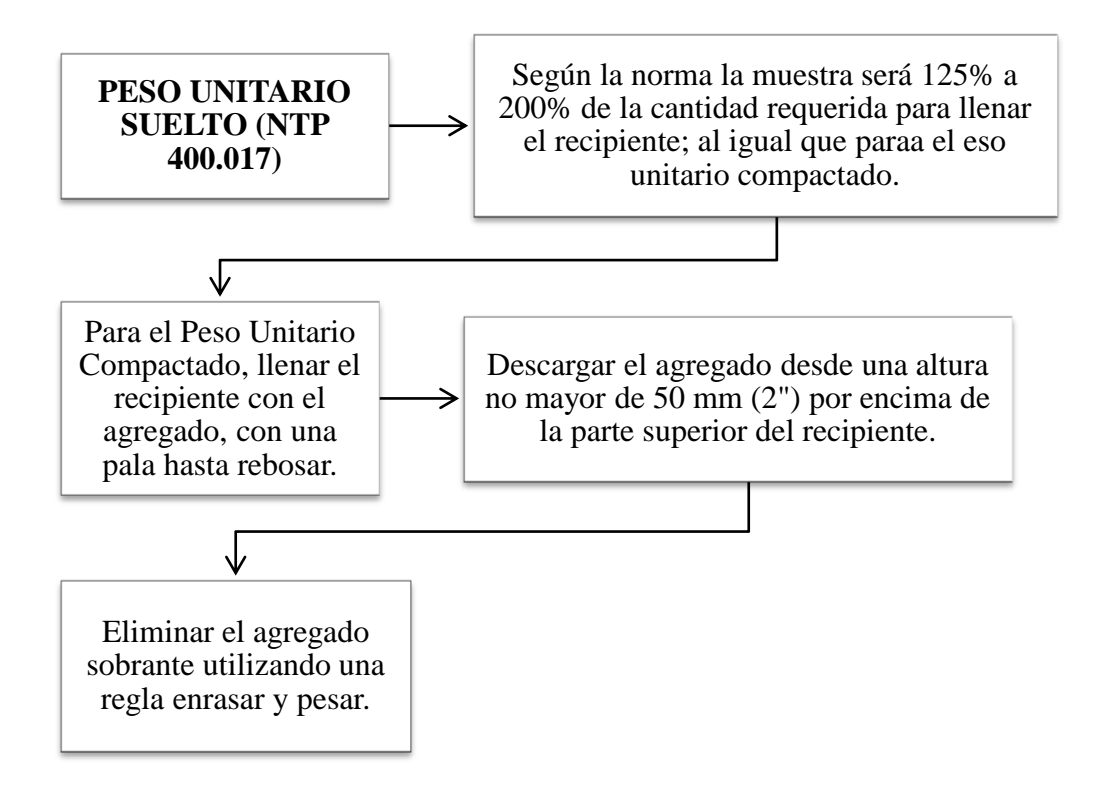




Figura 13. Peso unitario suelto del agregado fino.

También se ha realizado tres pruebas y se tomará el promedio como resultado final, la ecuación para encontrar el peso unitario suelto es la siguiente:

$$P. U. S = \frac{A-B}{V}$$

Dónde:

(P.U.S.) = Peso Unitario Suelto (Kg/m³)

A = Peso del recipiente de medida más el Agregado compactado (Kg)

B = Peso del recipiente de medida (Kg)

V = Volumen de la medida (m³)

3.3.4.2. Agregado grueso.

A. Reducción de muestras a tamaño de ensayo: (NTP 400.043)

Reducir las muestras del agregado grueso a cantidades menores viendo que las mismas sean representativas y lo más homogéneas posible; se realiza mediante cuarteo del material y se usa de partes opuestas para los ensayos correspondientes.



Figura 14. Cuarteo del agregado grueso.

B. Análisis Granulométrico: (NTP 400.012)

El agregado Grueso (piedra chancada) proveniente de la desintegración natural o mecánica de las rocas de la quebrada Amojú, la cual se obtuvo de la "Cantera Arenera Jaén" ubicado en la carretera Jaén – San Ignacio, Provincia de Jaén –región Cajamarca. El análisis granulométrico se realiza con el fin de saber si esta gradado dentro de los límites establecidos en la Norma ITINTEC 400.037; los cuales están indicados en la siguiente tabla 2.

Procedimiento:

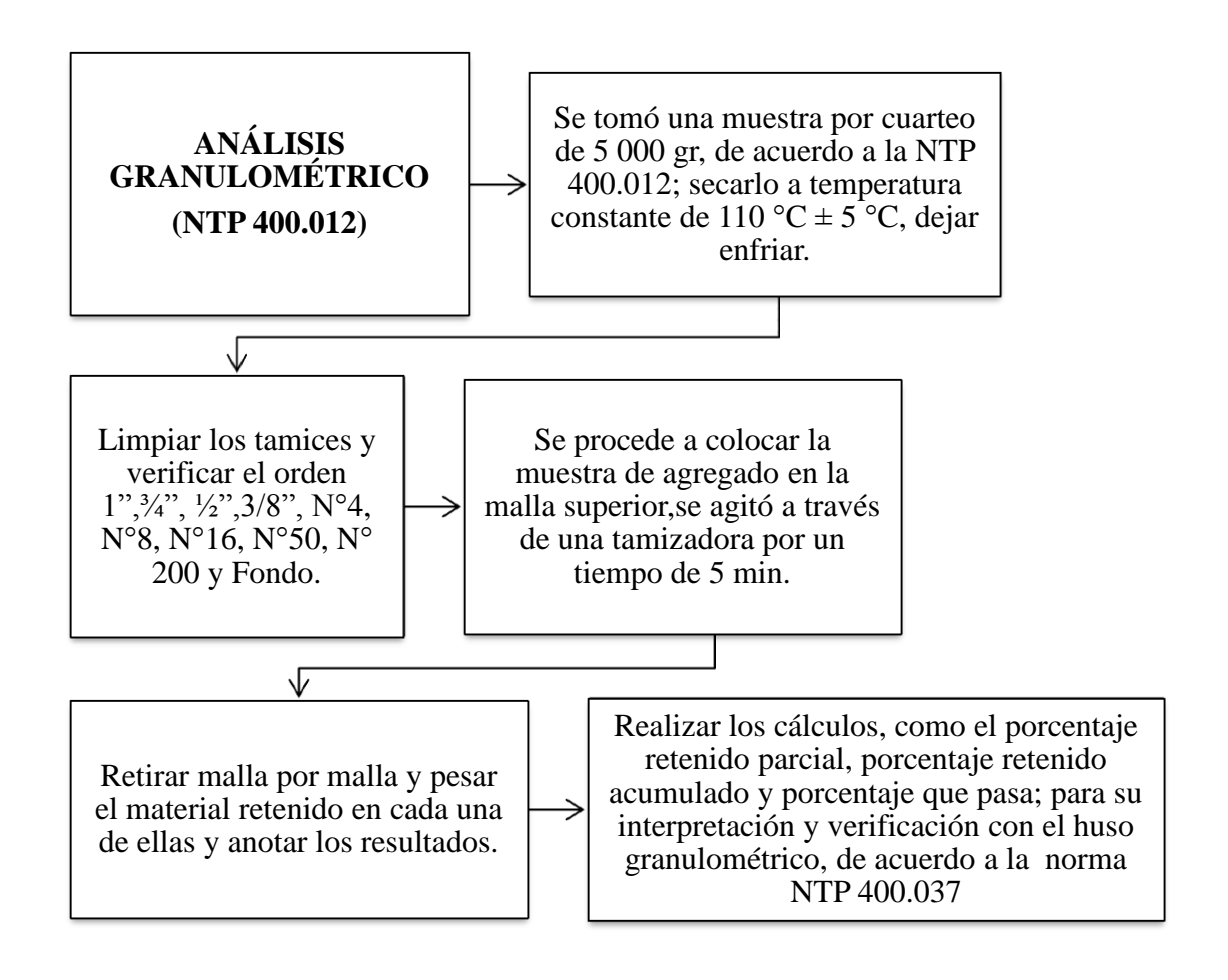


Tabla 2.Requisitos granulométricos del agregado grueso.

	Porcentaje que pasa los tamices normalizados														
Huso	Tamaño máximo	100 mm	90 mm	75 mm	63 mm	50 mm	37.5 mm	25.0 mm	19.0 mm	12.5 mm	9.5 mm	4.75 mm	2.36 mm	1.18 mm	300 um
11030	Nominal	(4 pulg)	(3 1/2 pulg)	(3 pulg)	(2 1/2 pulg)	(2pulg)	(1 1/2pulg)	(1 pulg)	(3/4 pulg)	(1/2 pulg)	(3/8 pulg)	(N° 4)	(N° 8)	(N° 16)	(N° 50)
1	90 mm a 37.5 mm (3 1/2 pulg a 1 1/2 pulg)	100	90 a 100	•••	25 a 60		0 a 15		0 a 5						
2	63 mm a 37.5 mm (2 1/2 pulg a 1 1/2 pulg)			100	90 a 100	35 a 70	0 a 15		0 a 5						
3	50 mm a 25,0 mm (2 pulg a 1 pulg)			•••	100	90 a 100	35 a 70	0 a 15		0 a 5					
357	50 mm a 4,75 mm (2 pulg a N° 4)				100	95 a 100		35 a 70		10 a 30		0 a 5			
4	37.5 mm a 19 mm (1 1/2 pulg a 3/4 pulg)					100	90 a 100	20 a 55	0 a 5		0 a 5			•••	
467	37.5 mm a 4,75 mm (1 1/2 pulg a N° 4)			•••		100	95 a 100		35 a 70	•••	10 a 30	0 a 5	•••	•••	
5	25,0 mm a 12,5 mm (1 pulg a 1/2 pulg)			•••			100	90 a 100	20 a 55	0 a 10	0 a 5		•••	•••	
56	25,0 mm a 9,5 mm (1 pulg a 3/8 pulg)	•••		•••	•••	•••	100	90 a 100	40 a 85	10 a 40	0 a 15	0 a 5		•••	
57	25 mm a 4,75 mm (1 pulg a N° 4)						100	95 a 100		25 a 60		0 a 10	0 a 5		
6	19 mm a 9,5 mm							100	90 a 100	20 a 55	0 a 15	0 a 5			
67	(3/4 pulg a 3/8 pulg) 19 mm a 4,75 mm (3/4 pulg a N° 4)							100	90 a 100		20 a 55	0 a 10	0 a 5		
7	12,5 mm a 4,75 mm (1/2 pulg a N° 4)								100	90 a 100	40 a 70	0 a 15	0 a 5		
8	9,5 mm a 2,36 mm (3/8 pulg a N° 8)									100	85 a 100	10 a 30	0 a 10	0 a 5	
89	12,5 mm a 9,5 mm (1/2 pulg a 3/8 pulg)		•••		•••		•••			100	90 a 100	20 a 55	5 a 30	0 a 10	0 a 5
9A	4,75 mm a 1,18 mm (N° 4 a N° 16)			•••				•••	•••		100	85 a 100	10 a 40	0 a 10	0 a 5

Fuente: Norma Técnica Peruana NTP 400.037: Especificaciones normalizadas para agregados en concreto



Figura 15. Tamizado mecánico del agregado grueso y peso de cada retenido parcial.

Así mismo para el agregado grueso también se realizó el ensayo para determinar el material que pasa el tamiz N° 200 (75um), de acuerdo a la norma NTP 339.132, el procedimiento es el mismo que para el agregado fino; haciendo el cálculo con la fórmula siguiente:

$$P_f = \frac{p_{0-}p_1}{p_0} * 100$$

Dónde:

Pf = Porcentaje del material fino que pasa el tamiz N° 200(75um)

P0 = Peso de la muestra original seca al horno

P1 = Peso de la muestra seca después de lavado

C. Tamaño máximo nominal y Módulo de fineza (NTP 400.011)

El tamaño máximo nominal de las partículas es el mayor tamaño del tamiz, listado en la norma. El tamaño máximo y el tamaño máximo nominal se determinan generalmente al agregado grueso únicamente.

Tamaño máximo está definido como la menor abertura del tamiz que permite el paso de la totalidad del agregado. De manera práctica representa el tamaño de la partícula más grande que tiene el material.

El módulo de fineza es un factor empírico que permite estimar que tan fino o grueso es un material en este caso la piedra chancada y la formula está dada por la siguiente ecuación:

$$MG_{AG} = \frac{\sum \% \ acumulados(1", 3/4", 1/2", 3/8", N^{\circ}4, N^{\circ}8, N^{\circ}16, N^{\circ}50, N^{\circ}200)}{100}$$

Dónde:

 $MG_{AG} = M$ ódulo de fineza del agregado grueso (piedra chancada).

D. Contenido de humedad: (NTP 339.185)

Para realizar este ensayo en el agregado grueso son los mismos pasos que para el agregado fino, se le encuentra el contenido de humedad cada vez que se va a elaborar el concreto, por la variación de la temperatura ambiente.

$$CH_{Af} = \frac{100(Pw - Ps)}{Ps}$$

Dónde:

 $\mathrm{CH}_{\mathrm{Af}}=\mathrm{Contenido}$ total de humedad total evaporable de la muestra (%)

Pw = Peso Húmedo de la muestra original (gr)

Ps = Peso seco de la muestra (gr)



Figura 16. Muestra de agregado grueso para encontrar el contenido de humedad

E. Peso Específico y Porcentaje de Absorción: (NTP 400.021)

Para este ensayo se hizo 3 pruebas para obtener el peso específico y porcentaje de absorción promedios del agregado grueso.

Procedimiento:

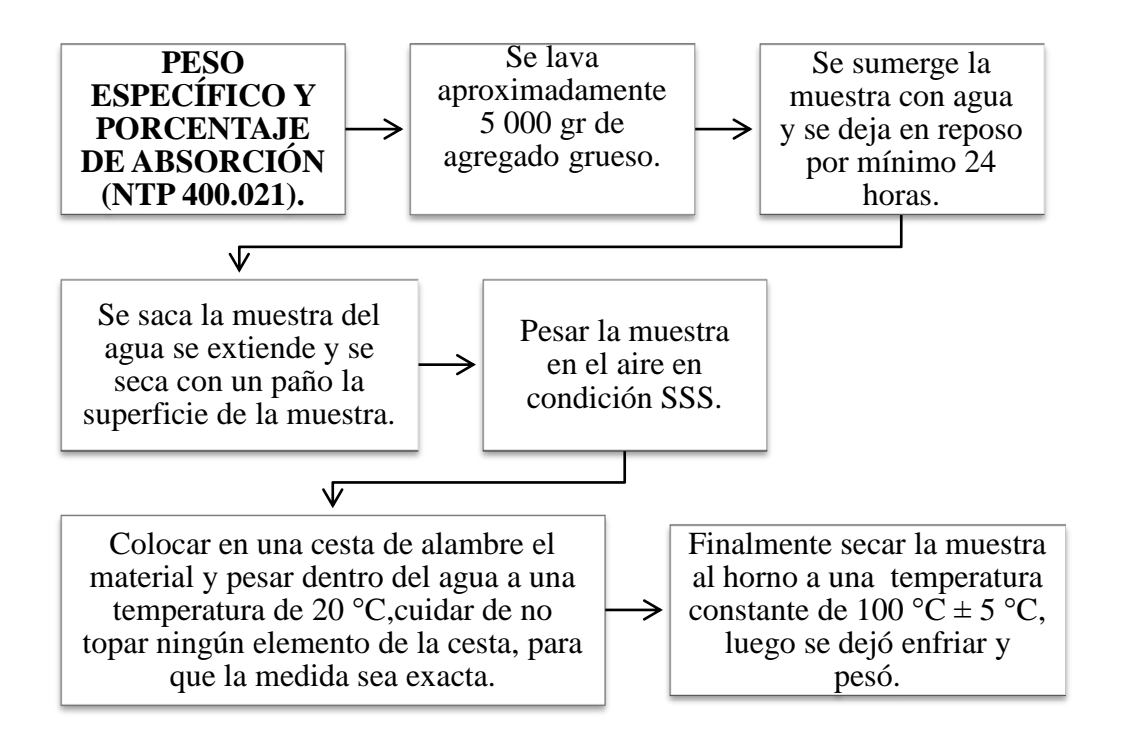




Figura 17. Peso específico y absorción del agregado grueso.

La ecuación para el cálculo del peso específico del agregado grueso es:

$$Pe_{AG} = \frac{A}{B - C}$$

Dónde:

 Pe_{AG} = Peso específico del agregado grueso

A = Peso en el aire de muestra secada al horno (gr)

B = Peso en el aire de la muestra (gr)

C = Peso en el agua de la mezcla (gr)

La ecuación para el cálculo del porcentaje de absorción:

Absorción % (Ab) =
$$100 * \frac{(B-A)}{A}$$

Dónde:

Ab% = Porcentaje de Absorción (%)

A = Peso en el aire de muestra secada al horno (gr)

B = Peso en el aire de la muestra SSS (gr)

F. Peso Unitario Suelto y Varillado: (NTP 400.017)

El procedimiento para realizar el peso unitario suelto y compactado del agregado grueso se sigue los mismos pasos que para el agregado fino.



Figura 18. Ensayo de peso unitario compactado agregado grueso.

Para este caso también se realizaron tres pruebas de las cuales se tomará el promedio como resultado.

$$P. U. C = \frac{A-B}{V}$$

Dónde:

(P.U.C.) = Peso Unitario Compactado (Kg/m³)

A = Peso del recipiente de medida más el Agregado compactado (Kg)

B = Peso del recipiente de medida (Kg)

V = Volumen de la medida (m³)



Figura 19. Ensayo de peso unitario suelto agregado grueso.

$$P. U. S = \frac{A-B}{V}$$

Dónde:

(P.U.S.) = Peso Unitario Suelto (Kg/m³)

A = Peso del recipiente de medida más el Agregado compactado (Kg)

B = Peso del recipiente de medida (Kg)

V = Volumen de la medida (m³)

3.3.5. Selección del cemento y agua.

3.3.5.1. Cemento portland tipo I.

El cemento que se usó para llevar acabo la ejecución de esta investigación fue el cemento portland tipo I; que tiene las siguientes características químicas y físicas:

Tabla 3.Características químicas del cemento portland tipo I

Composición química		CPSAA	NTP 334.009 / ASTM C150
Mg O	%	2,3	máximo 1,5
So3	%	2,7	máximo 3,0
Pérdida por Ignición	%	3,0	máximo 3,5
Resido insoluble	%	0,92	máximo 6,0

Fuente: (Según cementos Pacasmayo, 2017)

Tabla 4.Propiedades físicas del cemento portland tipo I

			NTP 334.009 / ASTM
Propiedades físicas		CPSAA	C150
Contenido de aire	%	7	Máximo 12
Expansión en autoclave	%	0,09	Máximo 0,80
Superficie específica	cm^2/g	3 750	Mínimo 2 800
Densidad	g/cm ³	3,10	No especifica
Resistencia a compresión			
Resistencia Compresión a	MPa	26,1	Mínimo 12
3días	Kg/cm ²	266	(Mínimo 122)
Resistencia Compresión a	MPa	33,9	Mínimo 19
7días	Kg/cm ²	346	(Mínimo 194)
Resistencia Compresión a 28	MPa	42,3	Mínimo 28
días	Kg/cm ²	431	(Mínimo 286)
Tiempo de fraguado Vicat			
Fraguado inicial	min	138	Mínimo 45
Fraguado final	min	267	Máximo 375

Fuente :(Según cementos Pacasmayo ,2017)

3.3.5.2. Agua para elaboración de concreto y curado de testigos

La calidad del agua es muy importante para la elaboración de concreto, ya que está relacionada directamente con las propiedades de trabajabilidad y resistencia a compresión del concreto. Además, para el curado de especímenes de concreto también tiene que ser con agua de calidad adecuada.

El agua empleada en la preparación y curado del concreto deberá cumplir con los requisitos de la Norma NTP 339.088, y ser de preferencia Potable.

Tabla 5.Requisitos para el agua de mezcla y curado.

Sustancias disueltas	Valor máximo admisible
Cloruros	300 ppm
Sulfatos	300 ppm
Sales de Magnesio	150 ppm
Sales Solubles	150 ppm
РН	Mayor de 7
Sólidos en suspensión	1 500 ppm
Materia Orgánica	10 ppm

Fuente :(Según La Norma NTP 339.088)

En esta investigación se utilizó agua potable para la elaboración de concreto y curado de especímenes.

3.3.6. Diseño de mezclas.

3.3.6.1. Diseño de mezcla patrón.

Una vez realizado los ensayos correspondientes de la ceniza de cascarilla de café CCC y los agregados y haber obtenido sus características, se procede a hacer el diseño de mezclas considerando las siguientes características de los materiales.

Tabla 6. Descripción de los materiales para el diseño de muestra patrón.

Descripción	Agregado fino	Agregado grueso	Cemento	CCC
Tamaño máximo nominal		3/4		
			3,100	1,140
Peso específico de masa	$2,610 \text{ gr/cm}^3$	$2,670 \text{ gr/cm}^3$	gr/cm ³	gr/cm ³
Peso unitario seco suelto	$1~596~\mathrm{Kg/m}^3$	$1~398~\mathrm{Kg/m}^3$		
Peso unitario seco				
compactado	$1~726~\mathrm{Kg/m^3}$	$1~548~\mathrm{Kg/m^3}$		
Contenido de humedad (%)	2,14	0,40		
Absorción (%)	2,04	1,23		
Módulo de finura	3,12	6,55		

Fuente: Elaboración propia.

En la presente investigación se desarrolló el Diseño de Mezclas por el Método del módulo de finura de la combinación de los agregados, debido a que permite una variación uniforme de los agregados (fino y grueso) ante la presencia de adición; el procedimiento es como se muestra a continuación.

a.) Determinación de la resistencia promedio o resistencia requerida (f'cr).

Teniendo en cuenta que la mezcla a utilizar es aplicada con fines de investigación se optó por considerar el f´c = 280 Kg/cm² igual que el f´cr, ya que no es necesario tener un margen de seguridad.

b.) Selección del asentamiento (slump)

El asentamiento es elegido de acuerdo con el uso que se quiere dar a la mezcla en esta investigación se optó por elegir una mezcla con consistencia plástica debido a que se está evaluando la trabajabilidad de la mezcla, el valor puede ser elegido de la siguiente tabla.

Tabla 7.Tipos de asentamientos.

Consistencia	Asentamiento
Seca	0" a 2"
Plástica	3" a 4"
Fluida	>= 5"

Fuente: (Abanto Castillo, 2009)

c.) Selección del tamaño máximo nominal del agregado

De la tabla 6, obtenemos que el tamaño máximo nominal del agregado grueso es de 3/4 "

d.) Estimación del agua de mezcla

La estimación de la cantidad de agua de mezclado está en función del asentamiento de la mezcla, el tamaño máximo nominal del agregado grueso y si el concreto será con aire incorporado o sin aire incorporado, para este diseño se consideró un concreto sin aire incorporado por lo tanto la cantidad de agua es de 205 L/m³ y se puede apreciar en la siguiente tabla.

Tabla 8. Volumen unitario de agua.

Asentamient	Agua, en L/consistencia			os máx. no	ominales del	agrega	do grue	eso y	
	(3/8")	(1/2")	(3/4")	(1")	(1 1/2")	(2")	(3")	(6")	
	Concretos in aire incorporado								
1" a 2"	207	199	190	179	166	154	130	113	
3" a 4"	228	216	205	193	181	169	145	124	
6" a 7"	243	228	216	202	190	178	160		
			Concre	etos con a	ire incorpora	ado			
1" a 2"	181	175	168	160	150	142	122	107	
3" a 4"	202	193	184	175	165	157	133	119	
6" a 7"	216	205	197	184	174	166	154		

Fuente: (Abanto Castillo, 2009)}

e.) Estimación del aire atrapado

El aire atrapado se puede estimar teniendo en cuenta el tamaño máximo nominal y haciendo uso de la siguiente tabla.

Tabla 9. Contenido de aire atrapado.

Tamaño máximo Nominal	Aire atrapado
3/8"	3,0%
1/2"	2,5%
3/4"	2,0%
1"	1,5%
1 ½"	1,0%
2"	0,5%
3"	0,3%
6"	0,2%

Fuente: (Abanto Castillo, 2009)

Para este caso el aire atrapado es del dos por ciento.

f.) Elección de la relación agua cemento

La relación agua- cemento requerido es determinada teniendo en consideración no solamente la resistencia sino también factores como durabilidad y propiedades de acabado del concreto. (Abanto Castillo, 2009).

Para esta investigación se consideró una resistencia de f'cr = 280 Kg/cm² y sin aire incorporado por lo tanto la relación agua cemento se obtiene de la siguiente tabla.

Tabla 10. Relación Agua/Cemento por Resistencia.

F'Cr (28 días)	Relación agua-cemento de Concreto sin aire incorporado	e diseño en peso Concreto con aire incorporado
150	0,80	0,71
200	0,70	0,61
250	0,62	0,53
300	0.55	0,46
350	0,48	0,40
400	0,43	0,35
450	0,38	0,30

Fuente: (Abanto Castillo, 2009)

Como se observa en la tabla el f´cr se encuentra entre los valores de 250 y 300 por lo que procedemos a interpolar.

$$250 - - - 0.62$$

$$280 - - - - x$$

$$300 - - - 0,55$$

Al desarrollar la interpolación se obtiene que el valor de x = 0.587.

g.) Calculo de la cantidad de cemento

Una vez obtenida la relación agua cemento (a/c) y conocida la cantidad de agua se puede obtener la cantidad de cemento en kilogramos (Kg) para un metro cubico (1 m³) haciendo la siguiente ecuación.

$$\frac{a}{c} = 0.587$$

$$\frac{205}{0.587} = c$$

$$349,23 = c$$

Por lo tanto, la cantidad de cemento es de 349,23 Kg/m³.

h.) Determinación de volúmenes absolutos

Se obtiene al dividir el peso calculado en el diseño entre el peso específico de masa, tener en consideración las unidades.

Volumen del cemento
$$\frac{349,23}{3,1*1000} = 0,113 \text{ m}3$$

Volumen del agua
$$\frac{205}{1000} = 0.205 \text{ m}^3$$

Volumen del aire
$$\frac{2}{100} = 0.02 \text{ m}^3$$

Volumen total
$$0.113 + 0.205 + 0.02 = 0.338 \text{ m}^3$$

Volumen de los agregados $1 - 0.338 = 0.662 \text{ m}^3$

i.) Cálculo del volumen de los agregados a partir del módulo de fineza de combinación de los agregados

Según (Rivera López, 2010) recomienda los rangos de los valores que indica la tabla 11.

De acuerdo al tamaño máximo del agregado grueso, corresponde el huso de 1" (25,4mm). Para poder ejecutar éste método se debe usar una hoja de cálculo para poder iterar los diferentes valores de porcentajes de agregados hasta verificar que la línea de agregados combinados este dentro de los límites de huso. Además, se debe considerar las siguientes ecuaciones.

$$\%$$
 Ret. Agregados = $\frac{Peso\ Ret.\ Parcial*100}{Peso\ seco\ inicial}$

% Ret. de mezcla = % Ret. Af * % de comb. Af + %Ret. Ag * % de comb. Ag

$$Mod.\,de\,Comb = \frac{\sum \%\,acumulados(1", \frac{3}{4}", \frac{1}{2}", \frac{3}{8}", N^{\circ}4, N^{\circ}8, N^{\circ}16, N^{\circ}50, N^{\circ}200\,)}{100}$$

Para esta investigación y de acuerdo a la granulometría de los agregados se obtuvo el mejor ajuste de la línea de agregados combinados al utilizar agregado fino al 44,9% y agregado grueso al 55,1%.

Tabla 11. Rangos granulométricos recomendados.

TAMIZ Límite de los porcentajes que pasan los siguientes tamaños máximos

				•	.					
Pulg.	mm	90,6mm	76,1mm	64,0mm	50,8mm	38,1mm	25,4mm	19,0mm	12,7mm	9,51mm
		(3 ½")	(3")	(2 1/2")	(2")	(1 1/2")	(1")	(3/4")	(1/2")	(3/8")
3 1/2	90,6	100								_
3	76,1	94 91	100							
2 1/2	64,0	89 83	94 91	100						
2	50,8	82 73	87 80	92 88	100					
1 1/2	38,1	74 62	78 68	83 75	90 85	100				
1	25,4	64 50	68 55	72 60	78 68	87 80	100			
3/4	19,0	58 42	62 47	65 51	71 58	78 68	90 85	100		
1/2	12,7	50 34	53 37	57 41	62 47	68 55	78 68	87 80	100	
3/8	9,51	45 29	48 32	51 35	56 40	62 47	71 58	78 68	90 85	100
No.4	4,76	36 20	38 22	40 24	44 27	48 32	56 40	62 47	71 58	78 68
No.8	2,36	28 13	30 15	32 16	34 18	38 22	44 27	48 32	55 40	61 46
No.16	1,18	22 9	23 10	25 11	27 13	30 15	34 18	38 22	44 27	48 32
No.30	600μ	17 6	18 7	20 8	21 9	23 10	27 13	30 15	34 19	38 22
No.50	300μ	14 4	14 4	15 5	17 8	18 7	21 9	23 10	27 13	30 15
No.100	150μ	11 3	11 3	12 4	13 4	14 5	17 6	18 7	21 9	23 10

Fuente: (Rivera López, 2010)

Tabla 12. Módulo de finura de combinación de agregados.

De	scripción	Agregado Fino Agregado Grueso		Porcentaje De	Combinación	Módulo De		
Peso Seco	o Inicial	954,50	gr	4 928,70 gr		Agregado Fino	44,90%	Combinación
Peso Seco	o Lavado	920,92	gr	4 693,70	gr	Agregado Grueso	55,10%	5,01
Peso Men	nor N° 200	33,58	gr	235,00	gr			
	Tamiz	Peso Ret.	Porcentaje	Peso Ret.	Porcentaje	Porcentaje	Porcentaje Ret.	Porcentaje
N°	Abertura (mm)	Parcial	Retenido	Parcial	Retenido	Ret. de Mezcla	Acumulado	Que Pasa
1	25,40	0,00	0,00	0,00	0,00	0,00	0,00	100,00
3/4	19,00	0,00	0,00	378,00	7,67	4,23	4,23	95,77
1/2	12,50	0,00	0,00	2 351,20	47,70	26,29	30,51	69,49
3/8	9,50	0,00	0,00	1 033,80	20,98	11,56	42,07	57,93
N°4	4,75	41,13	4,31	900,80	18,28	12,01	54,07	45,93
N 8	2,36	155,81	16,32	25,60	0,52	7,62	61,69	38,31
N 16	1,18	174,87	18,32	2,70	0,05	8,26	69,95	30,05
N 30	0,60	238,43	24,98	1,60	0,03	11,23	81,18	18,82
N 50	0,30	230,86	24,19	0,00	0,00	10,86	92,04	7,96
N 100	0,15	79,82	8,36	0,00	0,00	3,75	95,79	4,21
Cazoleta		33,58	3,52	235,00	4,77	4,21	100,00	0,00
Total		954,50	100,00	4 928,70	100,00	100,00	5,01	

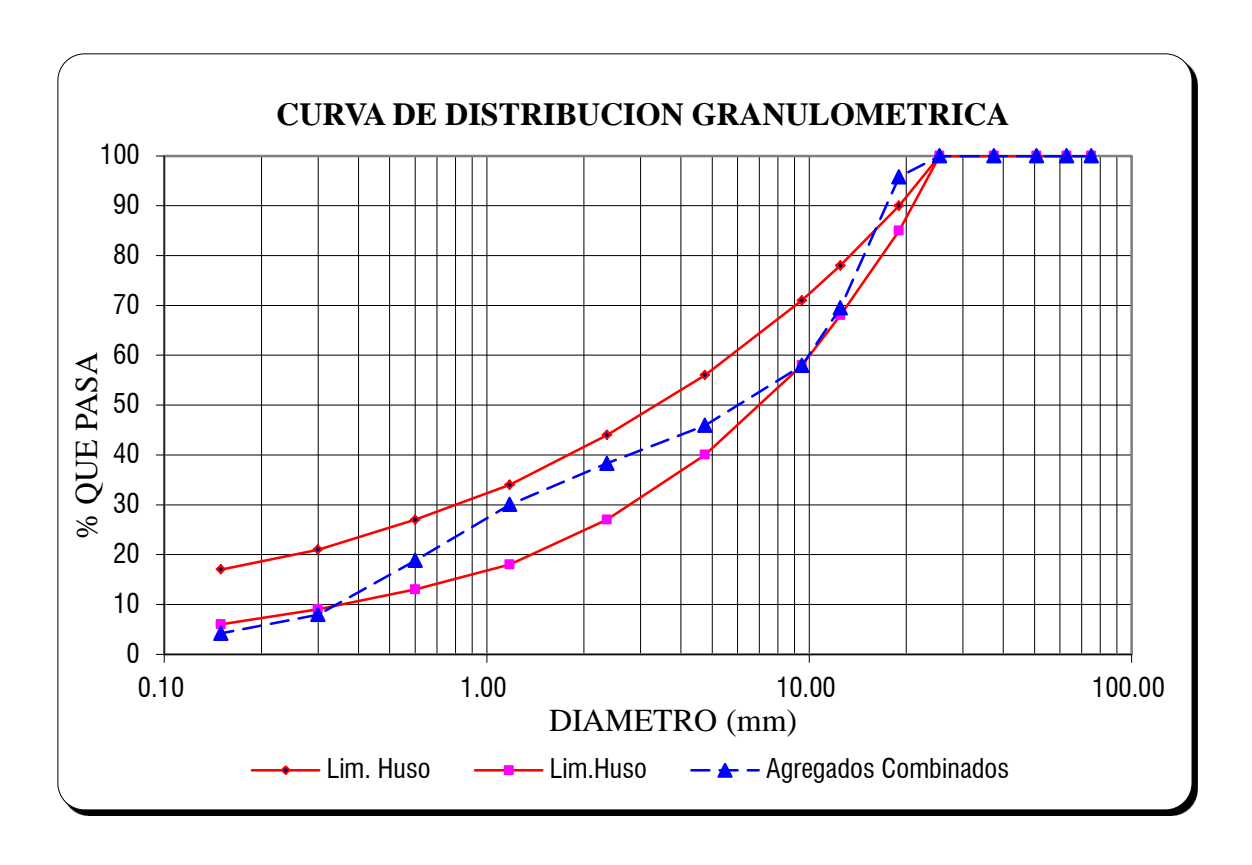


Figura 20. Combinación de los agregados.

Lo que significa que del volumen de los agregados (0,662 m³) el 44,90% es de agregado fino y el 55,10% es de agregado grueso.

Por lo tanto, la cantidad de agregados para un metro cubico de concreto es de:

Cantidad de agregado fino seco 0,4490 * 0,662 = 776 kg/m3

Cantidad de agregado grueso seco 0.551 * 0.662 = 974 kg/m3

Tabla 13. Resumen de cantidad de materiales secos.

Materiales de diseño secos para 1 m ³				
Cemento	349,23 Kg			
Agua de diseño	205,00 L			
Agregado fino seco	776,16 Kg			
Agregado grueso seco	974,46 Kg			

j.) Corrección de materiales por humedad.

Los materiales se corrigieron por humedad antes de iniciar la elaboración de la mezcla.

$$AGH = AGS * \left(1 + \frac{W\%}{100}\right), AFH = AFS * \left(1 + \frac{W\%}{100}\right)$$

 $Agua\ efectiva = agua\ de\ diseño - (X + Y)$

$$X = AGS * \left(\frac{W\% - Abs.}{100}\right)$$

$$Y = AFS * \left(\frac{W\% - Abs.}{100}\right)$$

Siendo:

AGH = agregado grueso húmedo

AFH = agregado fino húmedo

AGS = agregado grueso seco

AFS = agregado fino seco

W% = contenido de humedad del agregado (fino o grueso) según el caso

Abs. = absorción del agregado (fino o grueso) según el caso

Al realizar los cálculos correspondientes se obtienen los resultados mostrados en la siguiente tabla.

Tabla 14. Resumen de cantidad de materiales corregidos por humedad.

Materiales corregidos por humedad para 1 m ³					
Cemento	349,23 Kg				
Agua efectiva	212,27 L				
Agregado fino húmedo	792,77 Kg				
Agregado grueso húmedo 978,39 Kg					

3.3.6.2. Corrección del diseño de mezcla adicionando el 1 % de ceniza de cascarilla de café.

Para realizar este diseño se deben utilizar los valores de la siguiente tabla, la que presenta una variación del contenido de humedad con respecto a los valores utilizados para el diseño de la mezcla patrón; esta variación existe por motivo que se debe calcular el contenido de humedad previo a la elaboración de la mezcla.

Tabla 15. Descripción de los materiales para diseño de mezcla adicionando el 1% de CCC.

	Agregado	Agregado		
Descripción	fino	grueso	Cemento	CCC
Tamaño máximo nominal		3/4		
Peso específico de masa	$2,610 \text{ gr/cm}^3$	2.670 gr/cm^3	3,100 gr/cm ³	1,140 gr/ ^{cm3}
Peso unitario seco suelto	$1~596~\mathrm{Kg/m}^3$	$1~398~\mathrm{Kg/m}^3$		
Peso unitario seco				
compactado	$1~726~\mathrm{Kg/m}^3$	$1~548~\mathrm{Kg/m}^3$		
Contenido de humedad (%)	2,99	1,65		
Absorción (%)	2,04	1,23		
Módulo de finura	3,12	6,55		

Fuente: Elaboración propia.

a.) Determinación de la resistencia promedio o resistencia requerida (f'cr).

El criterio es tomado teniendo en cuenta la mezcla patrón.

b.) Selección del asentamiento (slump)

Presenta una consistencia plástica con un asentamiento de 3" a 4".

c.) Selección del tamaño máximo nominal del agregado

El valor es de ¾" según la tabla 15

d.) Primera Estimación del agua de mezcla

El valor es de 205 L/m³ teniendo los mismos criterios que para la mezcla patrón.

e.) del aire atrapado

El valor es de 2 % y teniendo los mismos criterios que para la mezcla patrón.

f.) Elección de la relación agua cemento

Siguiendo el procedimiento realizado en la mezcla patrón se tiene un valor de 0,587.

g.) Calculo de la cantidad de cemento

Se mantienen los criterios utilizados en la mezcla patrón, por lo tanto, la cantidad de cemento es de 349,23 Kg/m³.

h.) Cálculo de la cantidad de ceniza de cascarilla de café (CCC)

Para este diseño se está añadiendo el 1% de CCC que es en relación al peso del cemento, por lo tanto, la cantidad de CCC es de 3,49 Kg/m³.

i.) Cálculo de la nueva agua de diseño (na)

Considerando la CCC como un material cementante, se debe variar la cantidad de agua manteniendo la relación de agua material cementante(a/Mc). Se consideró como material cementante a la suma de CCC y cemento y se expresa en las siguientes ecuaciones.

$$\frac{na}{Mc} = 0,587 = \frac{na}{349,23 + 3,49} = 0,587$$

$$na = 207,05$$

Por lo tanto, la nueva agua de diseño es de 207,05 L/m³.

j.) Determinación de volúmenes absolutos

Definidos los valores de agua, aire y cemento se procede a calcular el volumen que ocupan dichos elementos en el volumen de un metro cubico, esto se puede obtener al dividir el peso calculado en el diseño entre el peso específico de masa, tener en consideración las unidades.

Volumen del cemento
$$\frac{349,23}{3,1*1000} = 0,113 \text{ m}^3$$

Volumen del agua
$$\frac{207,05}{1000} = 0,207 \text{ m}^3$$

Volumen del aire
$$\frac{2}{100} = 0.02 \text{ m}^3$$

Volumen de CCC
$$\frac{3,49}{1,14*1000} = 0,003 \text{ m}^3$$

Volumen total
$$0.113 + 0.207 + 0.02 + 0.003 = 0.343 \text{ m}^3$$

Volumen de los agregados $1 - 0.343 = 0.657 \text{ m}^3$

k.) Cálculo del volumen de los agregados a partir del módulo de fineza de combinación de los agregados

El procedimiento es similar al diseño de mezcla patrón, obteniendo como resultados

%
$$Comb.Af = 44,9\%$$
, % $Comb.Ag = 55,1\%$ y $m_c = 5,01$

Lo que significa que del volumen de los agregados (0,657 m³) el 44,90% es de agregado fino y el 55,10% es de agregado grueso.

Por lo tanto, la cantidad de agregados para un metro cubico de concreto es de:

Cantidad de agregado fino seco $0,4490 * 0,657 = 770,17 \ kg/m3$

Cantidad de agregado grueso seco 0.551 * 0.657 = 966.93 kg/m3

Tabla 16. Resumen de cantidad de materiales secos con 1% de CCC.

Materiales de diseño secos para 1 m ³ de concreto con				
1% de CCC				
Cemento	349,23 Kg			
Agua de diseño	207,05 L			
Agregado fino seco	770,17 Kg			
Agregado grueso seco	966,93 Kg			
CCC	3,49 Kg			

Fuente: Elaboración propia.

1.) Corrección de materiales por humedad.

Se debe considerar los mismos criterios que en la muestra patrón y se obtienen los siguientes resultados.

Tabla 17. Resumen de cantidad de materiales corregidos por humedad con 1% de CCC.

Materiales corregidos por humedad para 1 m ³ de				
concreto con 1% de	CCC			
Cemento	349,23 Kg			
Agua efectiva	195,73 L			
Agregado fino húmedo	793,17 Kg			
Agregado grueso húmedo	982,86 Kg			
CCC	3,49 Kg			

Fuente: Elaboración propia.

3.3.6.3. Corrección del diseño de mezcla adicionando el 2%, 4% y 8% de ceniza de cascarilla de café.

Para realizar estos diseños se debe utilizar las mismas características de los agregados, los mismos procedimientos y criterios que se ha considerado para el diseño de mezcla adicionando el 1% de CCC; los ajustes de humedad muestran variación de acuerdo al contenido de humedad de los agregados, se realizaron ensayos de contenido de humedad previo a la elaboración de mezcla; los resultados se muestran en la siguiente tabla.

Tabla 18. Contenido de humedad de los agregados para mezclas al 2, 4 y 8 % de adición.

Contenido de humedad (%) de los agregados según	Agregado	Agregado
los porcentajes de adición	fino	grueso
Mezcla adicionando el 2% de CCC	4,02 %	1,50 %
Mezcla adicionando el 4% de CCC	4,24 %	1,52 %
Mezcla adicionando el 8% de CCC	3,66 %	1,94 %

Fuente. Elaboración propia.

3.3.7. Elaboración de concreto (NTP 339.183).

3.3.7.1. Materiales.

- > Cemento portland tipo I
- > Agua potable
- > Agregado grueso cantera "Arenera Jaén"
- > Agregado fino cantera "Josecito"
- ➤ Ceniza de cascarilla de café (CCC)

3.3.7.2. Equipos.

- ➤ Balanza con capacidad de 30 Kg con precisión 1 gr
- ➤ Probeta graduada de 1 000cm³
- > Cono de Abrams
- ➤ Olla Washington
- Mezcladora de 180 Kg
- > Recipientes para pesar los materiales
- ➤ Una carretilla buggy para el transporte del concreto fresco
- > Cuchara para el muestreo
- ➤ Martillo de goma

3.3.7.3. Metodología.

Se procedió a elaborar el concreto con las proporciones ya establecidas, tanto para el concreto patrón y los concretos con adición de ceniza de cascarilla de café (CCC) en porcentajes: 1%, 2%, 4% y 8% del peso del cemento.



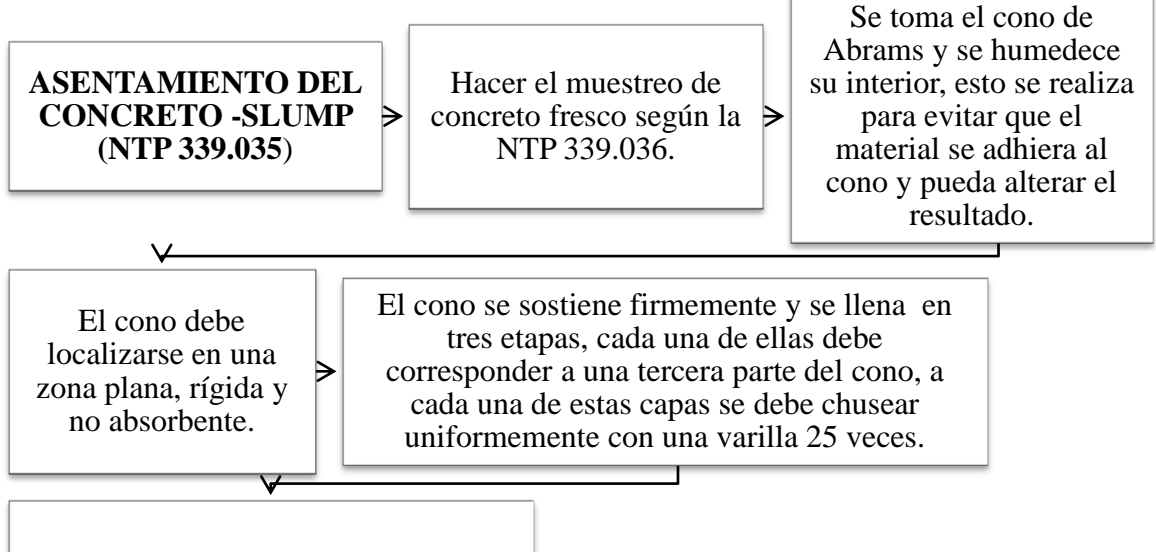
Figura 21. Elaboración de concreto patrón y concretos con adición de (CCC).

3.3.8. Ensayos en concreto fresco.

Los ensayos al concreto en estado fresco se realizaron tanto al concreto patrón como a los concretos con adición de ceniza de cascarilla de café (CCC); serán los siguientes:

3.3.8.1. Asentamiento del concreto -slump (NTP 339.035).

Procedimiento:



Se enrasa la superficie superior del cono con la misma varilla de compactación y remover el material sobrante que se haya acumulado en la base del cono.

se levanta el cono verticalmente con un movimiento constante en un tiempo de 2 a 5 segundos, no se podrá realizar ningún movimiento lateral ni de torsión al levantar el cono de Abrams.

Se mide la distancia vertical entre la parte superior del cono invertido y el centro original desplazado en la superficie de la muestra y obtenemos asentamiento en pulgadas.



Figura 22. Asentamiento usando el cono de Abrams.

3.3.8.2. Peso unitario y rendimiento (NTP 339.046).

Este ensayo determina la densidad del concreto en estado fresco.

Procedimiento:

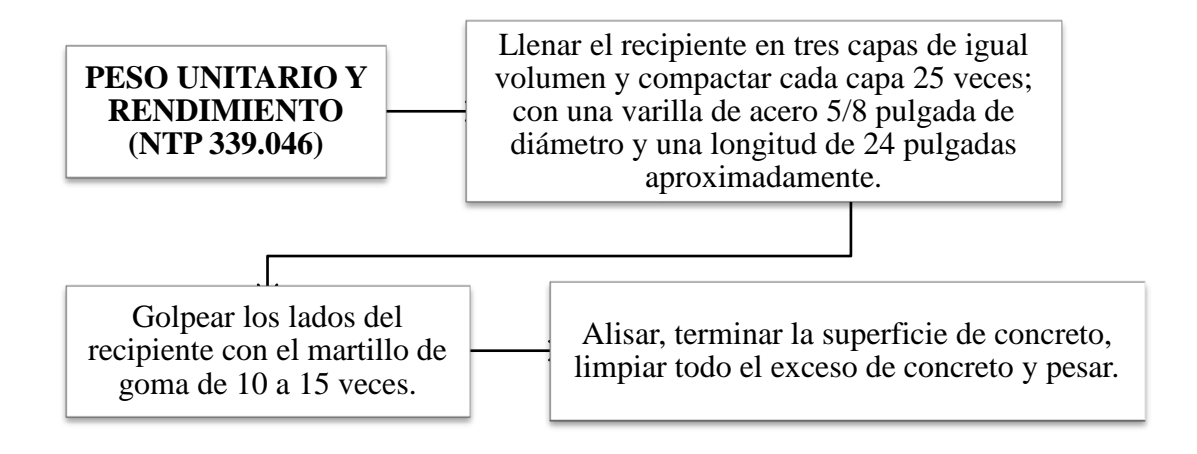




Figura 23. Peso unitario del concreto fresco.

El peso unitario del concreto fresco se encontró dividiendo la masa neta del concreto sobre el volumen del molde, a continuación, la fórmula usada:

$$Pu = \frac{Mc - Mm}{Vm}$$

Dónde:

Pu = Peso unitario del concreto fresco (Kg/m³)

Mc = Masa del molde lleno de concreto (Kg)

Mm = Masa del molde vacío (Kg)

Vm = Volumen del molde (m³)

3.3.8.3. Contenido de aire en el concreto fresco método de presión (NTP 339.083).

Procedimiento:

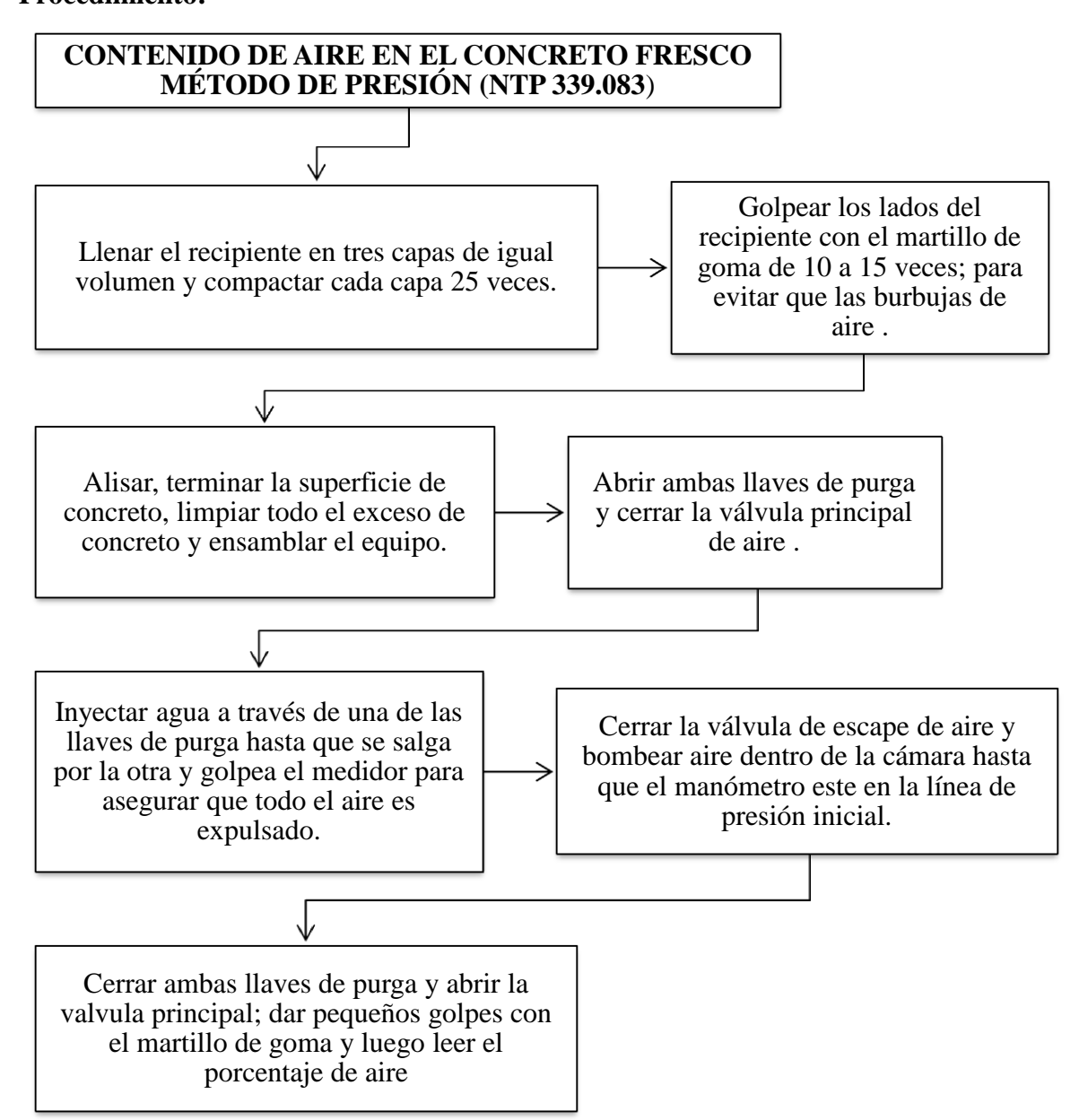




Figura 24. Determinación del aire atrapado en el concreto.

3.3.8.4. Temperatura del concreto (NTP 339.184).

Procedimiento:

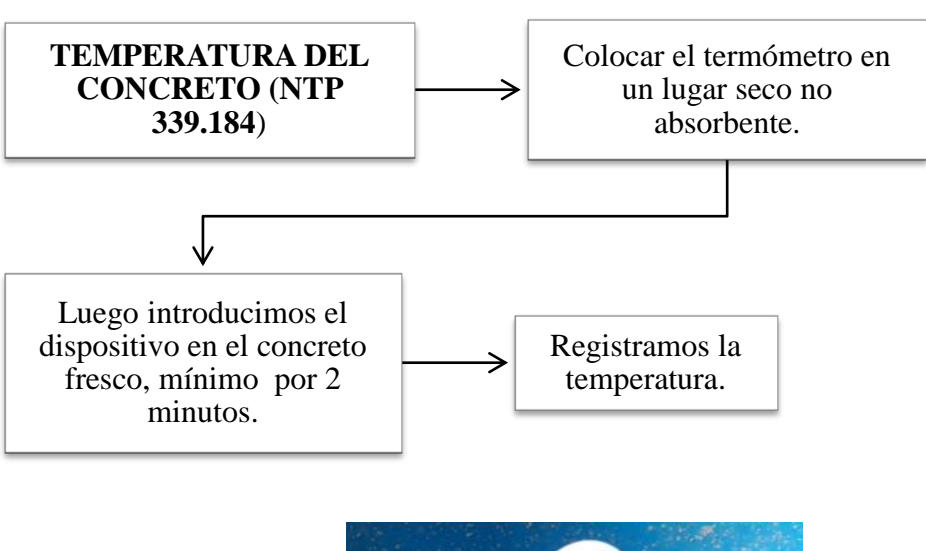




Figura 25. Temperatura del concreto.

3.3.9. Fabricación de especímenes-testigos (NTP339.033).

3.3.9.1. Equipos.

- ➤ Moldes o probetas. Los moldes utilizados para la elaboración de especímenes fueron de plástico, ya que es un material no absorbente y resistente como para soportar las condiciones del trabajo de moldeado y tienen la forma de cilindro con medidas 10 cm de diámetro y 20 cm de altura.
- ➤ Barra de acero lisa y circular. Para la compactación y moldeado se requiere de una barra de acero liso y circular, de 10mm de diámetro y 300mm de longitud.
- ➤ Martillo con cabeza de goma. Con un peso aproximado de 600 gramos, para golpear el molde suavemente y liberar las burbujas de aire.
- **Cucharon metálico.** Para colocar el concreto dentro del molde.
- ➤ Carretilla o buggy. Recipiente metálico de tamaño apropiado, de superficie no absorbente y con capacidad suficiente para la toma, traslado y remezclado de la muestra completa.
- ➤ **Badilejo.** Para darle un buen acabado a la superficie del concreto en el molde.

3.3.9.2. Metodología.

El proceso de elaboración de probetas es el siguiente:

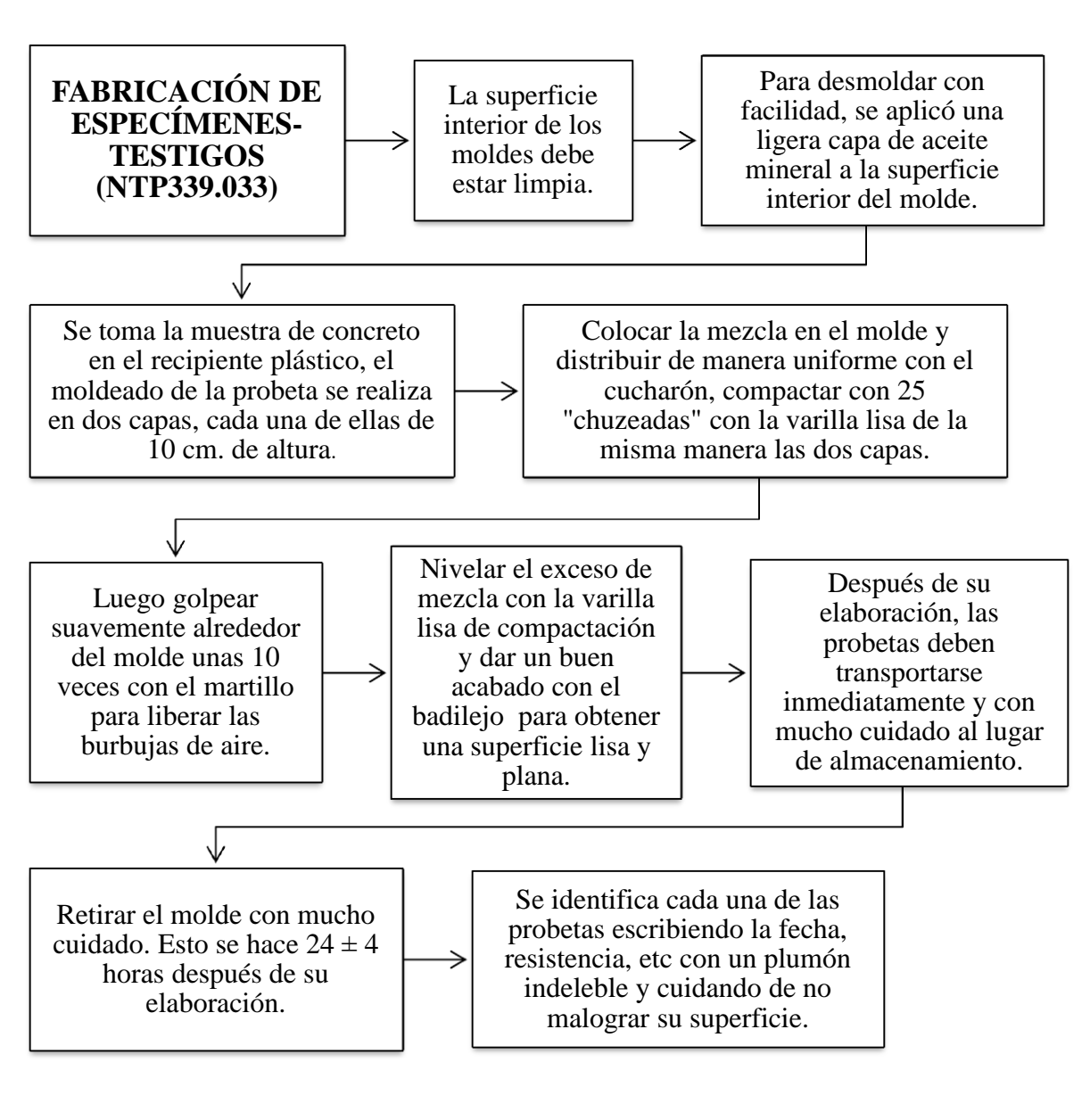




Figura 26. Fabricación de especímenes de concreto.

3.3.10. Curado de especímenes-testigos (NTP339.033).

Después de haber sido desmoldadas, curar las probetas inmediatamente, colocándolas en un recipiente con agua potable. El agua debe cubrir completamente todas las caras de las probetas.

Para el curado de las muestras se construyó una poza de curado bajo techo, con las siguientes características, largo: 2,50 m, ancho: 1,50 m y 0,50 m de alto, estuvo ubicada en la Universidad Nacional.

Todas las probetas fueron introducidas en la poza de curado hasta esperar el momento de su rotura y ser sometidas a los ensayos de compresión a los 7, 14 y 28 días.



Figura 27. Curado de probetas

3.3.11. Esfuerzo a compresión de los especímenes de concreto (NTP339.034).

Para realizar la prueba en especímenes de concreto de las diferentes muestras elaboradas, se procederá a de acuerdo a las especificaciones dadas en las normas NTP339.034.

Procedimiento:

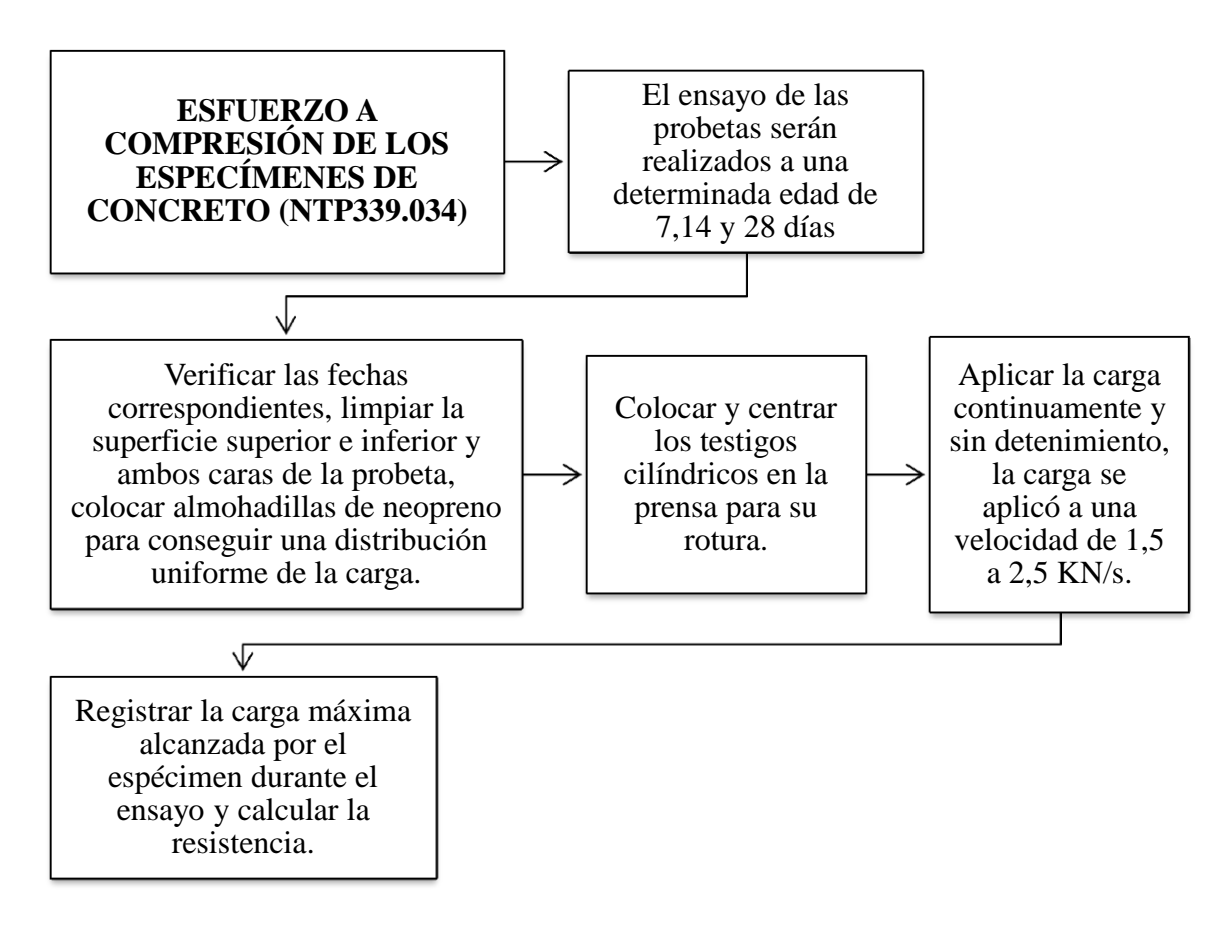




Figura 28. Ensayo de esfuerzo a compresión.

El cálculo de la resistencia a la compresión de la muestra está dado por el cociente de la carga máxima obtenida durante el ensayo, entre el área de la sección transversal de la probeta cilíndrica; se expresa en Kg/cm².

El ensayo de la resistencia a la compresión de cilindros de concreto utiliza moldes con medidas 10 cm de diámetro y 20 cm de altura.

La resistencia a la compresión de la probeta se calcula con la siguiente fórmula:

$$f'c = \frac{P_{m\acute{a}x}}{A}$$

Dónde:

f'c = Es la resistencia de rotura a la compresión. (Kg/cm²)

Pmax = La carga máxima de rotura (Kg)

A =Área de la probeta cilíndrica (cm²)

3.3.12. Peso unitario de testigos de concreto.

El peso unitario del concreto endurecido se calculó con la siguiente fórmula:

$$PU_{tc} = \frac{p}{v}$$

Dónde:

P = peso del testigo cilíndrico en gr

V = volumen del testigo cilíndrico en cm³

IV. RESULTADOS.

4.1. Resultados de los ensayos físicos en la ceniza de cáscara de café.

Tabla 19. Características físicas de la CCC.

Descripción	M 1	M 2	М 3	Promedio
Peso en el aire de la muestra secada al	13,92	13,96	12,04	
horno (gr)				
Peso de la probeta lleno de agua (gr)	72,19	72,170	72,07	
Peso total de la probeta aforado con	78,27	78,75	77,79	
muestra y lleno de agua (gr)				
Peso de la muestra saturada con superficie	18,64	18,70	16,12	
seca (gr)				
Peso específico de masa (gr/cm ³)	1,11	1,15	1,16	1,14
Absorción (%)	33,91	33,95	33,89	33,92

Fuente: Elaboración propia.

4.2. Resultados de los ensayos químicos en la ceniza de cáscara de café.

De los ensayos químicos realizados en el laboratorio OIKOSLAB N° 1604-2019 se muestran los siguientes resultados.

Tabla 20. Ph de la CCC.

Muestra	Ph
Ceniza de cascarilla de café	13,03

Tabla 21. Porcentaje de SiO_2 y Si en la CCC.

Peso de la muestra	Peso del	Peso del crisol * peso del residuo (SiO ₂)	Peso del SiO ₂	% SiO ₂	% Si
0,500	41,820	41,869	0,049	9,80	4,58
0,500	42,827	42,876	0,049	9,80	4,58
		Resultado		9,80	4,58

Fuente: Elaboración propia.

Tabla 22. Porcentaje de óxido de calcio (CaO).

Peso de la	Peso del	Peso del	Peso del	% CaO
muestra crisol crisol + pes		crisol + peso	CaO	
		del residuo		
		(CaO)		
0,500	41,820	41,930	0,11	22,00
0,500	42,827	42,947	0,12	24,00
	Result	ado		23,00

Fuente: Elaboración propia.

Tabla 23. Porcentaje de carbonato de calcio.

Peso de la	Normalidad de NaOH	Volumen gastado	Volumen gastado	Volumen gastado	%CaCO ₃
muestra	corregido	(blanco) Ml	(NaOH) ml	ml	
1,000	0,4	1,9	23,6	21,7	43,4
1,000	0,4	2,1	23,6	21,5	43,0
	F	Promedio			43,2

Tabla 24.Resumen de los ensayos químicos realizados a la CCC.

84,4	ICO 11265
	ISO-11265-
	ASTMD 1125
13,03	ASTMD-1293
4,76	Fotocolorimetría
24,42	MTCE-602
43,2	Neutralización
	ácida
9,80	MTCE-602
4,58	MTCE-602
	13,03 4,76 24,42 43,2 9,80

4.3. Características físicas de los agregados.

4.3.1. Granulometría.

Tabla 25. Análisis granulométrico del agregado fino.

	Ta	miz	Peso Ret.	% Ret.	% Ret.	% que	Limite
ESA	N°	Abertura (mm)	Parcial (gr)	Parcial.	Acum.	pasa	NTP. 400.037
N GRI	3/4"	19,00	0,00	0,00	0,00	100,00	-
FRACCION GRUESA	1/2"	12,50	0,00	0,00	0,00	100,00	-
FRA	3/8"	9,50	0,00	0,00	0,00	100,00	100.00
	1/4"	6,35	10,08	1,06	1,10	98,94	-
	Nº 4	4,75	31,05	3,25	4,30	95,69	95-100
	Nº 8	2,36	155,81	16,32	20,60	79,37	80-100
	Nº 16	1,18	174,87	18,32	39,00	61,05	50-85
INA	N° 30	0,60	238,43	24,98	63,90	36,07	25-60
FRACCION FINA	N° 50	0,30	230,86	24,19	88,10	11,88	10-30
(ACC)	N° 100	0,15	79,82	8,36	96,50	3,52	2-10
FR	N° 200	0,08	26,70	2,80	99,30	0,72	-
	Cazoleta		6,88	0,72	100,00	0,00	-
	Total		954,50				

Tabla 26. Análisis granulométrico del agregado grueso.

	Análisi	is granulon	étrico de agr	egados gi	ruesos N'	ГР 400.0	12
	Tan	Tamiz		% Ret.	0/ D /	0/	Especificación
Y.	N°	Abertura (mm)	Peso Ret. Parcial (gr)	% Ret. Parcial	% Ret. Acum.	% que pasa	. Huso 67 % que pasa
FRACCION GRUESA	1"	25,40	0,00	0,00	0,00	100,00	100
CCION	3/4"	19,00	378,00	7,67	7,70	92,33	90 - 100
FRA	1/2"	12,50	2 351,20	47,70	55,40	44,63	-
	3/8"	9,50	1 033,80	20,98	76,30	23,65	20 - 55
	Nº 4	4,75	900,80	18,28	94,60	5,37	0 - 10
	Nº 8	2,36	25,60	0,52	95,10	4,86	0 - 5
	Nº 16	1,18	2,70	0,05	95,20	4,80	-
FINA	N° 30	0,60	1,60	0,03	95,20	4,77	-
ION	N° 50	0,30	0,00	0,00	95,20	4,77	-
FRACCION FINA	N° 100	0,15	0,00	0,00	95,20	4,77	-
щ	N° 200	0,075	0,00	0,00	95,20	4,77	-
	Cazoleta		235,00	4,77	100,00	0,00	
	Total		4 928,70				
	Módulo de fir	neza	6,55				

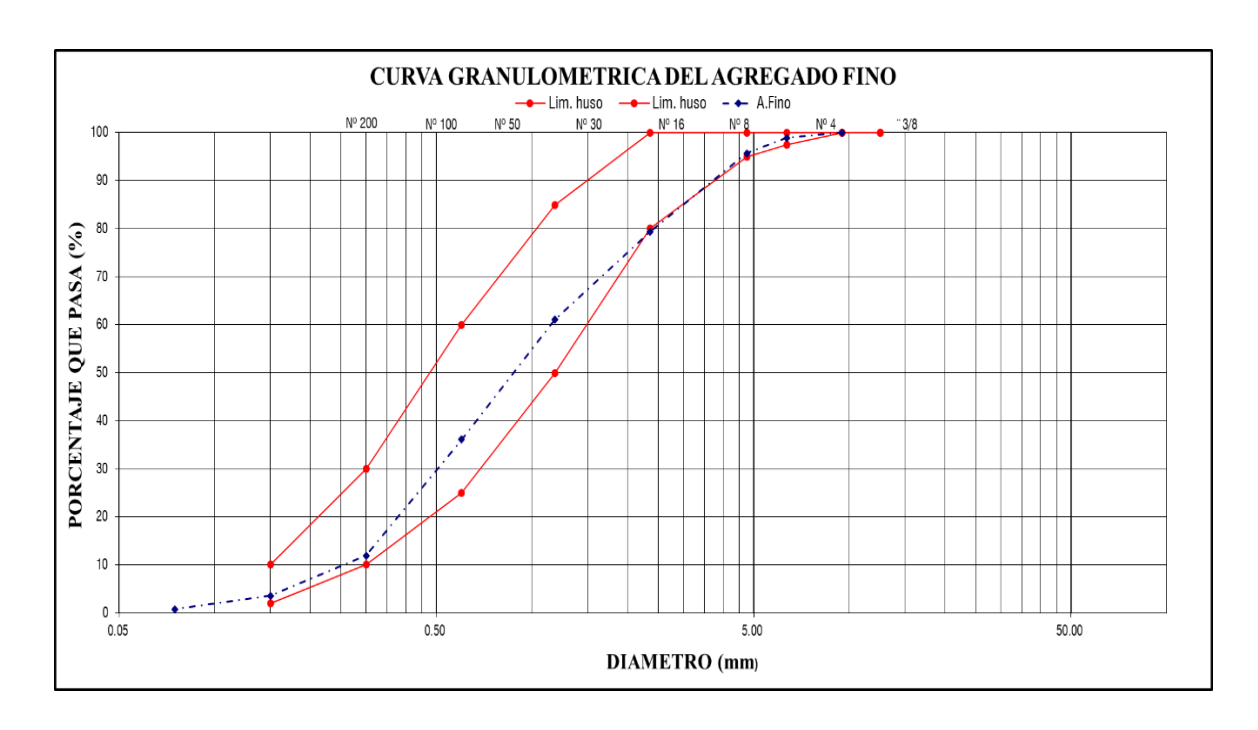


Figura 29. Curva granulométrica del agregado fino

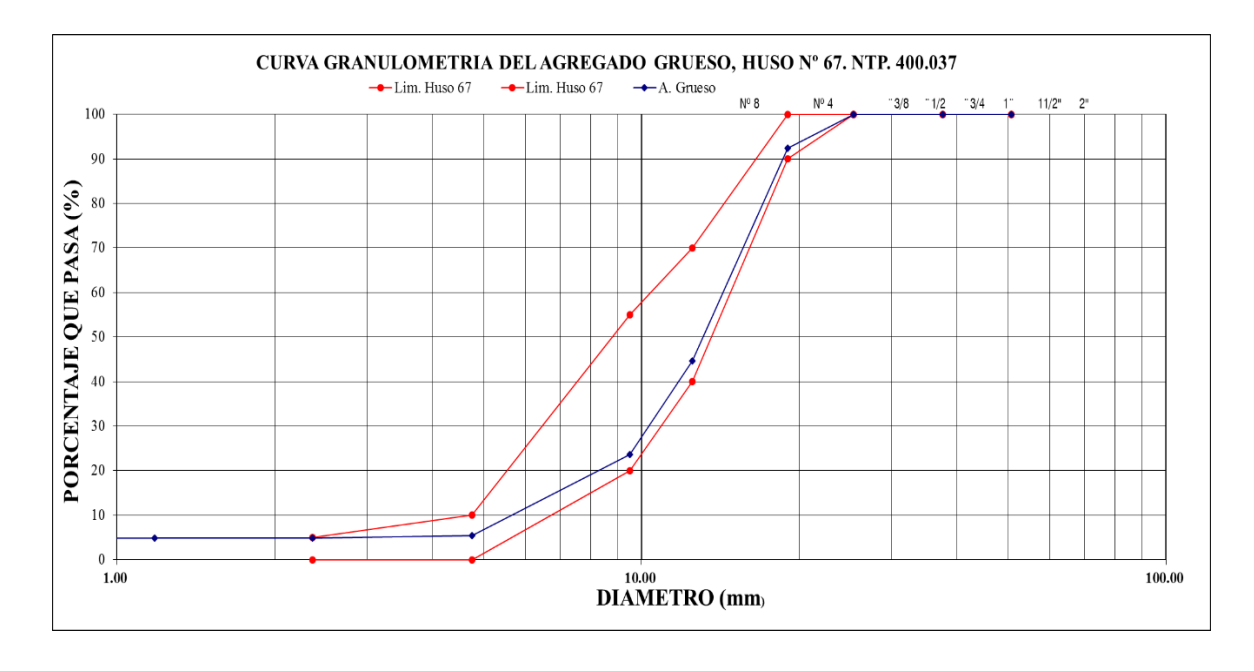


Figura 30. Curva granulométrica del agregado grueso.

4.3.2. Contenido de humedad.

El contenido de humedad de los materiales se obtuvo previo a la elaboración de cada tipo de mezcla de concreto, dichos valores se presentan a continuación.

Tabla 27. Contenido de humedad del agregado fino

Contenido de humedad del agregado fino						
Descripcion	Tipo de mezcla					
	0%	1%	2%	4%	8%	
Peso muestra húmeda (Pw)	3 000	3 000	3 000	3 000	3 000	
Peso muestra seca (Ps)	2 937	2 913	2 884	2 878	2 894	
Contenido de humedad (C.H.)	2,15%	2,99%	4,02%	4,24%	3,66%	

Fuente: Elaboración propia

Tabla 28. Contenido de humedad del agregado grueso

Contenido de humedad del agregado grueso							
Descripción	Tipo de mezcla						
	0%	1%	2%	4%	8%		
Peso muestra húmeda (Pw)	5 000	5 000	5 020	5 000	5 000		
Peso muestra seca (Ps)	4 980	4 919	4 946	4 925	4 905		
Contenido de humedad (C.H.)	0,40%	1,65%	1,50%	1,52%	1,94%		

Fuente: Elaboración propia

4.3.3. Peso específico y absorción.

Los resultados obtenidos después de haber realizado los ensayos teniendo como referencia las normas NTP 400.022 para el agregado fino y la NTP 400.021 para el agregado grueso se presentan en las siguientes tablas:

Tabla 29. Peso específico y absorción del agregado fino.

Gravedad específica y absorción del agregado fino NTP 400.022						
Ensayo Nº	1	2	3	Promedio		
Peso en el aire de la	490,00	490,00	490,00			
Muestra secada al horno (gr) a	120,00	120,00	120,00			
Peso del frasco lleno de agua (gr) b	702,91	707,54	704,42			
Peso total del Frasco aforado		1 022 00	1 010 20			
con muestra y lleno de agua (gr) c	1 010,7	1 022,00	1 018,30			
Peso de la muestra saturada con						
superficie seca (gr) s	500,00	500,00	500,00			
Peso específico de masa (gr/cm ³)	2,55	2,64	2,63	2,61		
Absorción (%)	2,04	2,04	2,04	2,04		
E , E11 '/ '						

Tabla 30. Peso específico y absorción del agregado grueso.

Gravedad específica y absorción de agregado grueso NTP 400.021							
Ensayo Nº	1	2	3	Promedio			
Peso en el aire de la muestra seca	4 445,00	4 448,00	4 445,00				
al horno (gr) a							
Peso en el aire de la muestra	4 500,70	4 500,60	4 500,50				
saturada con superficie seca (gr) b							
Peso sumergido en agua de la	2 833,70	2 836,40	2 831,10				
muestra saturada (gr) c							
Peso específico de masa (gr/cm ³)	2,67	2,67	2,66	2,67			
Absorción (%)	1,25	1,18	1,25	1,23			

4.3.4. Peso unitario.

Los resultados obtenidos después de haber realizado los ensayos teniendo como referencia las normas NTP 400.017, se muestran en las siguientes tablas.

Tabla 31. Peso unitario seco y compactado del agregado fino.

Peso unitario compactado del agregado fino (NTP 400.017)						
Ensayo N°	1	2	3			
Peso del recipiente (gr.)	4 190,00	4 190,00	4 190,00			
Peso del recipiente + material	9 064,00	9 088,00	9 075,00			
(gr.)						
Peso del material (gr.)	4 874,00	4 898,00	4 885,00			
Factor (f)	0,353	0,353	0,353			
Peso Unitario Seco	1 722	1 731	1 726			
Compactado (Kg/m ³)						
Peso unitario seco compactado promedio 1 726 Kg						

Fuente: Elaboración propia

Tabla 32.Peso unitario seco y compactado del agregado grueso.

Peso unitario compactado del agregado grueso (NTP 400.017)						
Ensayo N°	1	2	3			
Peso del recipiente (gr.)	6 681,00	6 681,00	6 681,00			
Peso del recipiente + material	27 526,00	27 627,00	27 567,00			
(gr.)						
Peso del material (gr.)	20 845,00	20 946,00	20 886,00			
Factor (f)	0,0741	0,0741	0,0741			
Peso Unitario Seco	1 545	1 552	1 548			
Compactado (Kg/m ³)						
Peso unitario seco compacta	1 548 Kg/m ³					

Tabla 33. Peso unitario suelto del agregado fino.

Peso unitario suelto del agregado fino (NTP 400.017)					
Ensayo N°	1	2	3		
Peso del recipiente (gr.)	4 190,00	4 190,00	4 190,00		
Peso del recipiente + material (gr.)	8 693,00	8 707,00	8 720,00		
Peso del material (gr.)	4 503,00	4 517,00	4 530,00		
Factor (f)	0,353	0,353	0,353		
Peso Unitario Seco Suelto (Kg/m³)	1 591	1 596	1 600		
Peso unitario seco suelto	promedio		1 596 Kg/m ³		

Tabla 34. Resultados de peso unitario suelto del agregado grueso.

Peso unitario suelto del agregado grueso (NTP 400.017) Ensayo Nº 1 2 3					
1	2	3			
6 681,00	6 681,00	6 681,00			
25 408,00	25 666,00	25 543,00			
18 727,00	18 985,00	18 862,00			
0,0741	0,0741	0,0741			
1 388	1 407	1 398			
promedio	1	398 Kg/m ³			
	1 6 681,00 25 408,00 18 727,00 0,0741	1 2 6 681,00 6 681,00 25 408,00 25 666,00 18 727,00 18 985,00 0,0741 0,0741 1 388 1 407			

4.4. Resultados del diseño de mezcla.

Desarrollando los procedimientos del acápite 3.3.6. Se presentan los resultados de la cantidad de materiales para la elaboración de 1 m³ de concreto, estos materiales se presentan en las siguientes tablas en estado de secos, húmedos y para los diferentes tipos de mezcla.

Tabla 35. Materiales de diseño secos adicionando diferentes porcentajes de CCC.

Materiales de diseño secos para 1 m ³ de concreto adicionando diferentes							
po	rcentajes de (CCC					
Adición de CCC	0%	1%	2%	4%	8%		
Cemento (Kg)	349,23	349,23	349,23	349,23	349,23		
Agua de diseño (L)	205,00	207,05	209,10	213,20	221,40		
Agregado fino seco (Kg)	776,16	770,17	764,17	752,19	728,22		
Agregado grueso seco (Kg)	974,46	966,93	959,41	944,36	914,27		
CCC (Kg)	0,00	3,49	6,98	13,97	27,94		

Fuente: Elaboración propia.

Tabla 36. Materiales de diseño corregidos por humedad adicionando diferentes porcentajes de CCC.

Materiales de diseño corregidos por humedad para 1 m ³	de concreto adicionando
diferentes porcentaje de CCC	

Adicion de CCC	0%	1%	2%	4%	8%
Cemento (Kg)	349,23	349,23	349,23	349,23	349,23
Agua de diseño (L)	212,27	195,73	191,38	193,89	203,12
Agregado fino húmedo (Kg)	792,77	793,17	794,89	784,08	754,90
Agregado grueso húmedo (Kg)	978,39	982,86	973,80	958,75	931,98
CCC (Kg)	0,00	3,49	6,98	13,97	27,94

4.5. Resultados de ensayos en concreto fresco.

Se presentan las siguientes tablas que muestran los ensayos realizados al concreto fresco, de las cuales se generarán gráficas independientes para cada ensayo, con la finalidad de realizar un análisis de los concretos con diferente porcentaje de CCC.

Tabla 37. Resultados obtenidos de la mezcla patrón.

Descripción	Slump (pul)	Temperatura	Contenido de aire	Peso Unitario
muestra 01	4,50	27,50	1,50	2,479
muestra 02	4,00	27,40	1,20	2,448
muestra 03	4,00	27,60	1,40	2,457
muestra 04	4,50	27,30	1,30	2,468
Promedio	4,25	27,45	1,35	2,463

Fuente: Elaboración propia.

Tabla 38. Resultados obtenidos de la mezcla con 1% de CCC.

Descripción	Slump (pul)	Temperatura	Contenido de aire	Peso Unitario
muestra 01	3,25	27,70	1,60	2,443
muestra 02	3,25	27,30	1,30	2,441
muestra 03	3,00	27,50	1,40	2,442
muestra 04	3,50	27,50	1,50	2,442
Promedio	3,25	27,50	1,45	2,442

Tabla 39. Resultados obtenidos de la mezcla con 2% de CCC.

Descripción	Slump (pul)	Temperatura	Contenido de aire	Peso Unitario
muestra 01	3,25	27,60	1,50	2,440
muestra 02	3,00	27,50	1,60	2,436
muestra 03	3,00	27,70	1,50	2,442
muestra 04	2,75	27,40	1,60	2,443
Promedio	3,00	27,55	1,55	2,440

Tabla 40. Resultados obtenidos de la mezcla con 4% de CCC.

Descripción	Slump (pul)	Temperatura	Contenido de aire	Peso Unitario
muestra 01	2,50	27,50	1,80	2,434
muestra 02	3,00	27,70	1,80	2,422
muestra 03	2,75	27,40	1,70	2,425
muestra 04	2,75	27,80	1,90	2,425
Promedio	2,75	27,60	1,80	2,427

Fuente: Elaboración propia.

Tabla 41. Resultados obtenidos de la mezcla con 8% de CCC.

Descripción	Slump (pul)	Temperatura	Contenido de aire	Peso Unitario
muestra 01	1,00	27,90	2,00	2,390
muestra 02	1,50	27,80	2,20	2,388
muestra 03	1,25	27,80	2,10	2,389
muestra 04	1,25	27,90	2,10	2,388
Promedio	1,25	27,85	2,10	2,389

Tabla 42. Resumen de los ensayos realizados en concreto fresco.

	Muestra.	Muestra.	Muestra.	Muestra.	Muestra.
Descripción	0% CCC	1% CCC	2% CCC	4% CCC	8% CCC
Slump (pulg)	4,25	3,25	3,00	2,75	1,25
Temperatura (°C)	27,45	27,50	27,55	27,60	27,85
Contenido de aire (%)	1,35%	1,45%	1,55%	1,80%	2,10%
Peso Unitario (gr/cm ³)	2,463	2,442	2,440	2,427	2,389

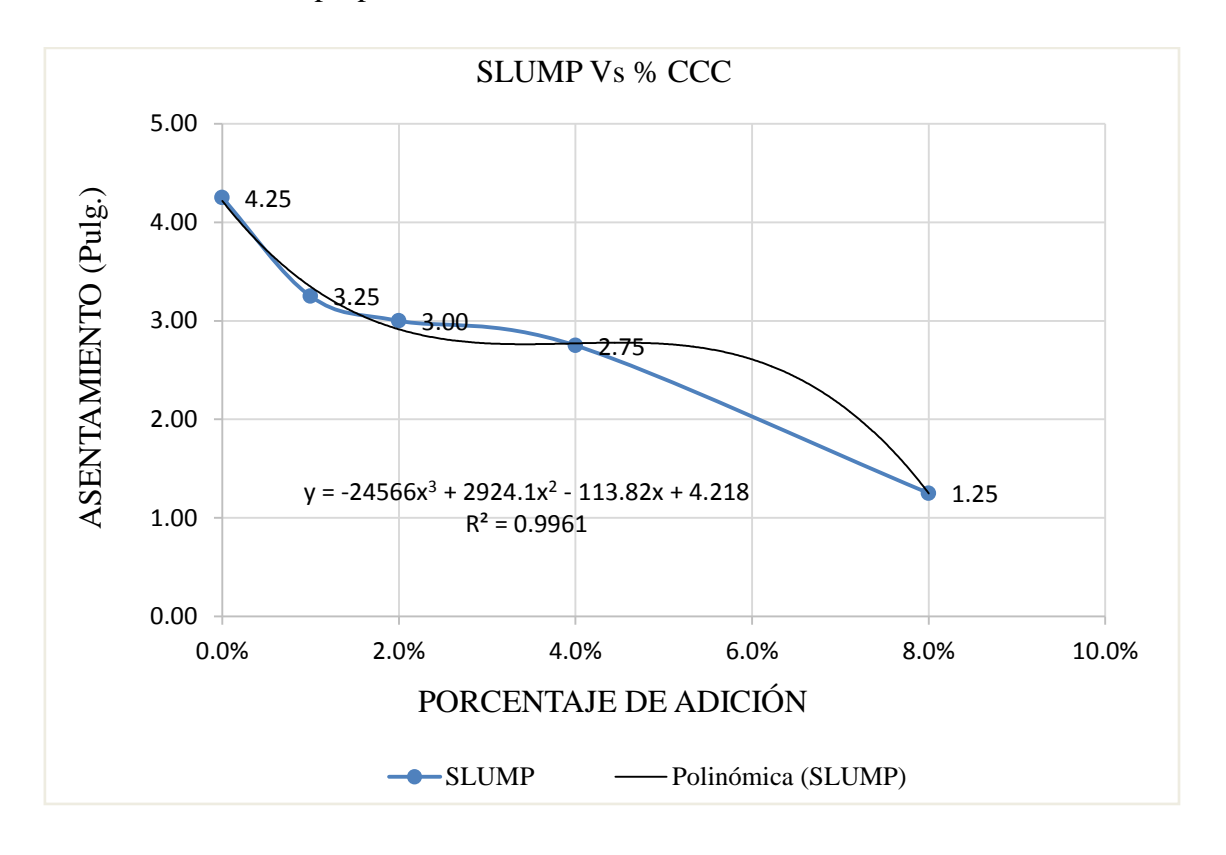


Figura 31. Variación de slump

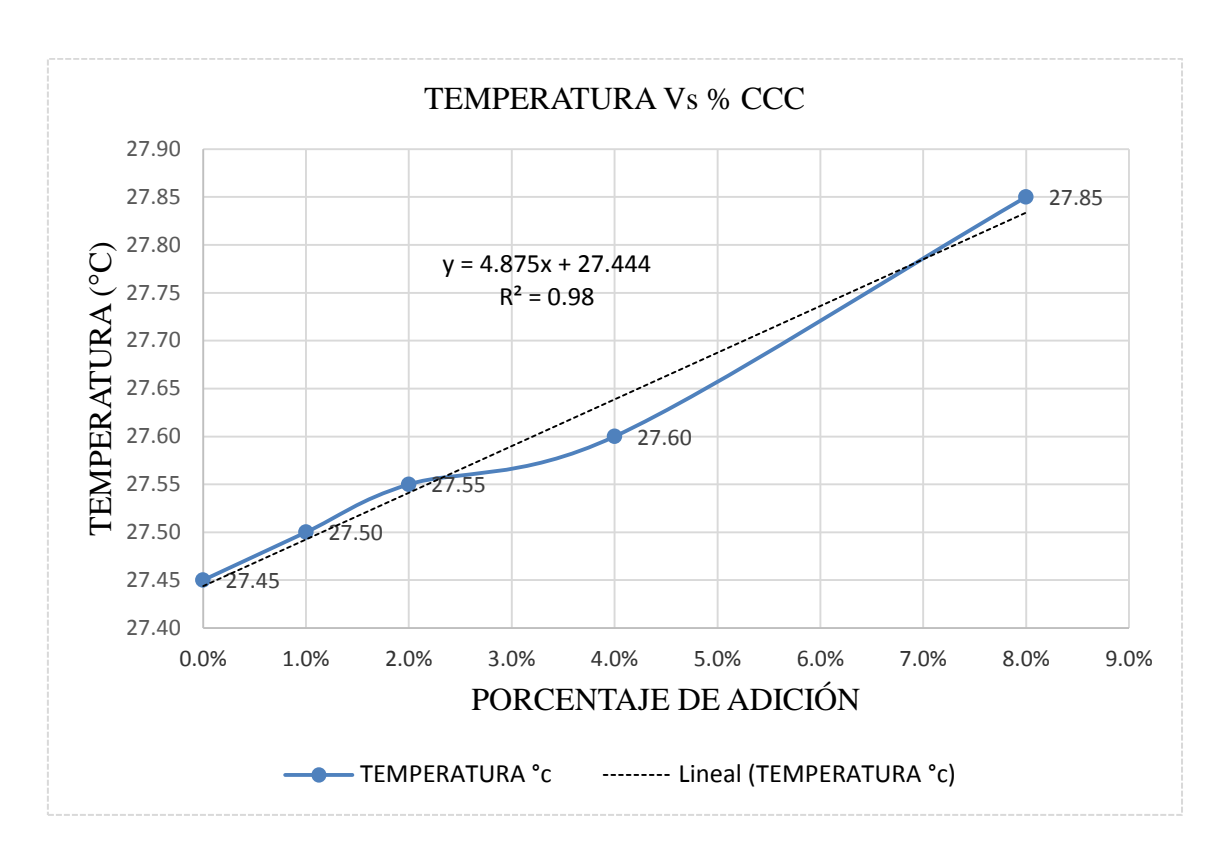


Figura 32. Variación de temperatura.

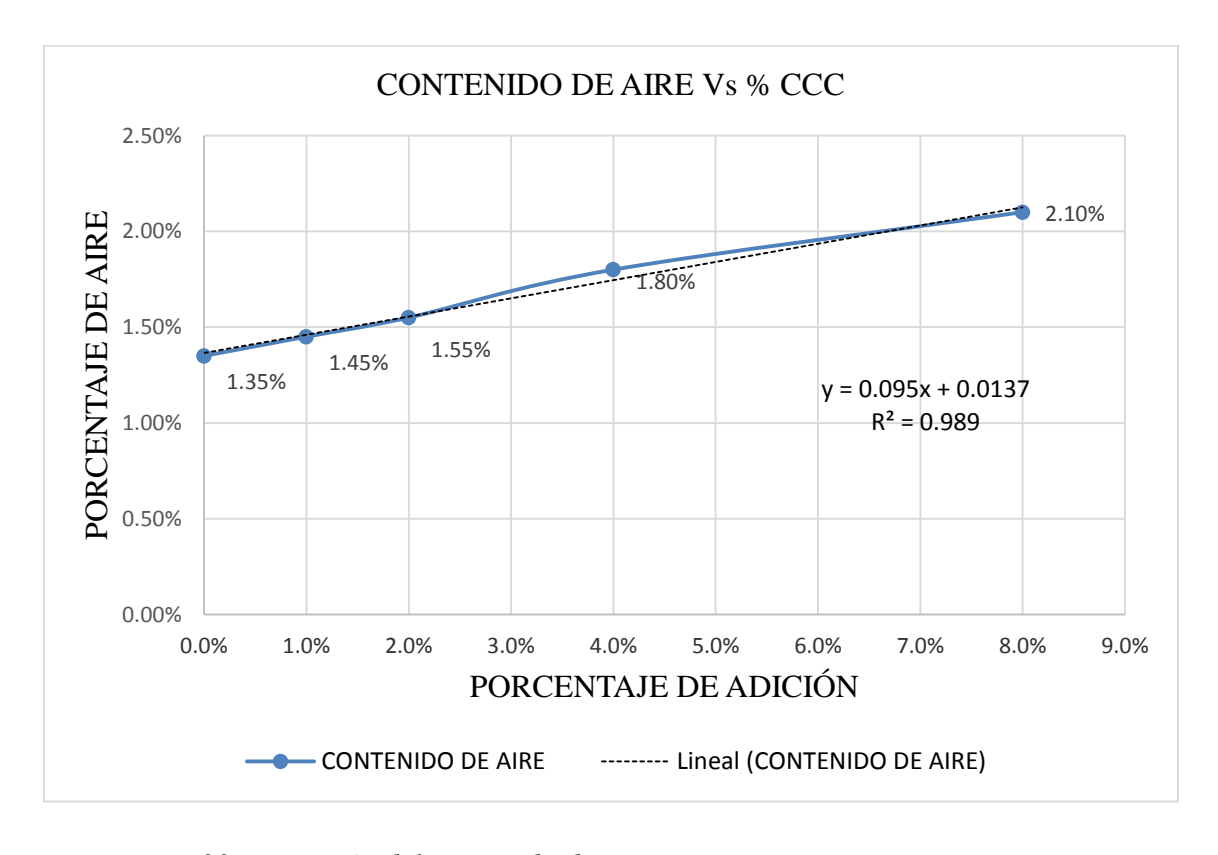


Figura 33. Variación del contenido de aire.

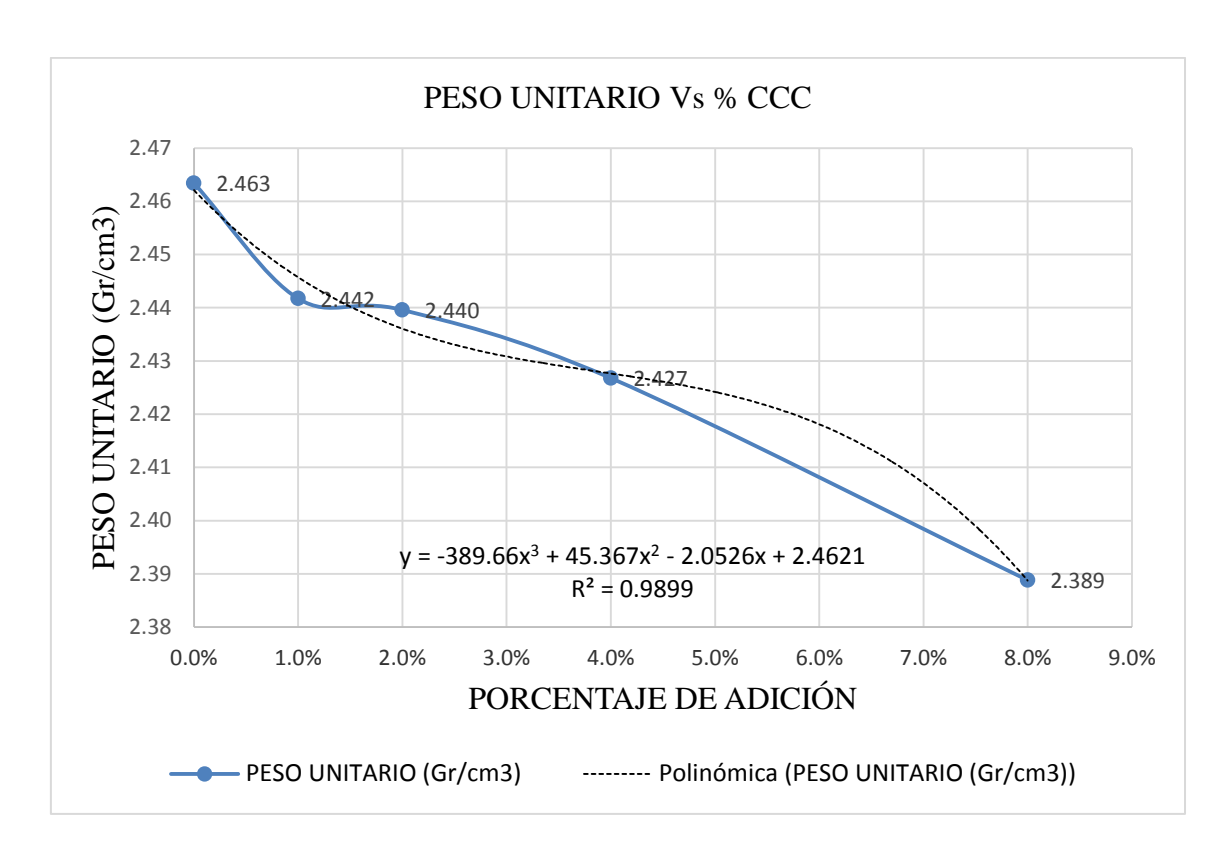


Figura 34. Variación del peso unitario.

4.6. Resultados de ensayos en concreto endurecido.

4.6.1. Resistencia a la compresión.

Se ensayaron un total de 150 testigos de concreto de los cuales 30 fueron del concreto patrón y 120 para concreto adicionado, 30 por cada dosificación de adición de CCC.

Tabla 43. Resistencia a compresión de los especímenes a los 7 días.

	Muestras de concreto endurecido				
Identificación	Patrón	Con 1%	Con 2%	Con 4%	Con 8%
		de CCC	de CCC	de CCC	de CCC
Adición de CCC	0,00%	1,00%	2,00%	4,00%	8,00%
Edad (días)	7,00	7,00	7,00	7,00	7,00
f'c diseño (Kg/cm²)	280,00	280,00	280,00	280,00	280,00
Resistencia máxima promedio (Kg/cm²)	241,56	262,04	241,89	217,50	165,09
Porcentaje alcanzado	86,27%	93,59%	86,39%	77,68%	58,96%

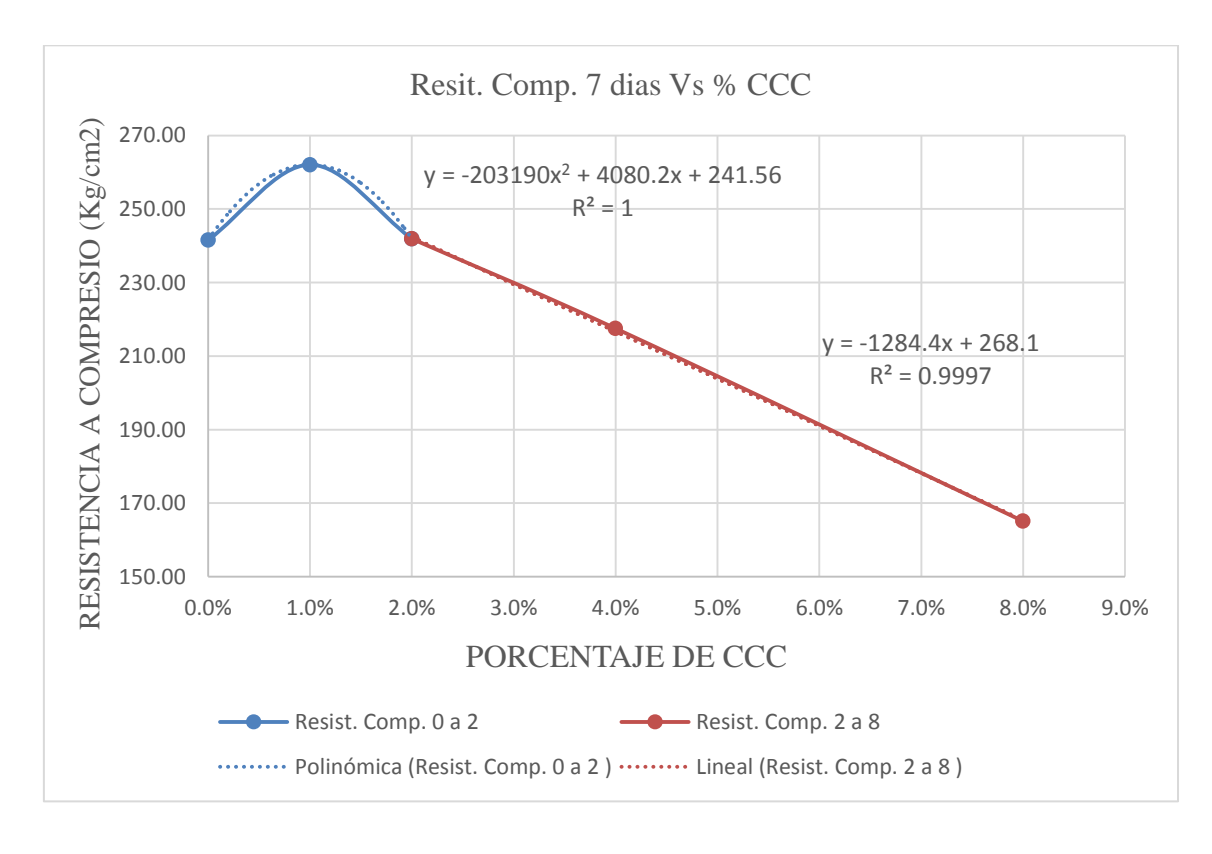


Figura 35. Resistencia a compresión de los especímenes a los 7 días.

Tabla 44. Resistencia a compresión de los especímenes a los 14 días.

	Muestras de concreto endurecido				
Identificación	Patrón	Con 1%	Con 2%	Con 4%	Con 8%
		de CCC	de CCC	de CCC	de CCC
Adición de CCC	0,00%	1,00%	2,00%	4,00%	8,00%
Edad (días)	14,00	14,00	14,00	14,00	14,00
f'c diseño (Kg/cm²)	280,00	280,00	280,00	280,00	280,00
Resistencia máxima promedio (Kg/cm²)	270,89	306,33	291,99	244,09	200,71
Porcentaje alcanzado	96,75%	109,40%	104,28%	87,18%	71,68%

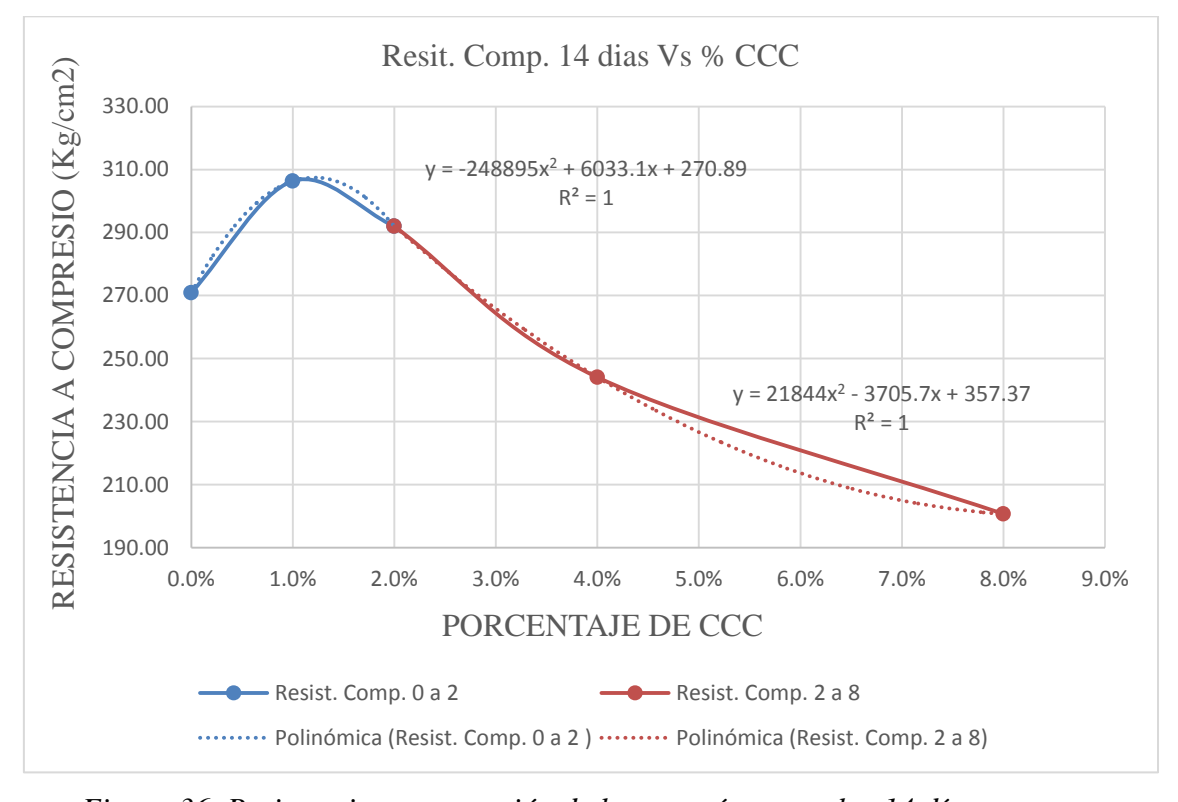


Figura 36. Resistencia a compresión de los especímenes a los 14 días.

Tabla 45. Resistencia a compresión de los especímenes a los 28 días.

	Muestras de concreto endurecido				
Identificación	Patrón	Con 1%	Con 2%	Con 4%	Con 8%
		de CCC	de CCC	de CCC	de CCC
Adición de CCC	0,00%	1,00%	2,00%	4,00%	8,00%
Edad (días)	28,00	28,00	28,00	28,00	28,00
f'c diseño (Kg/cm ²)	280,00	280,00	280,00	280,00	280,00
Resistencia máxima promedio (Kg/cm²)	305,38	342,59	319,67	257,21	209,53
Porcentaje alcanzado	109,06%	122,35%	114,17%	91,86%	74,83%

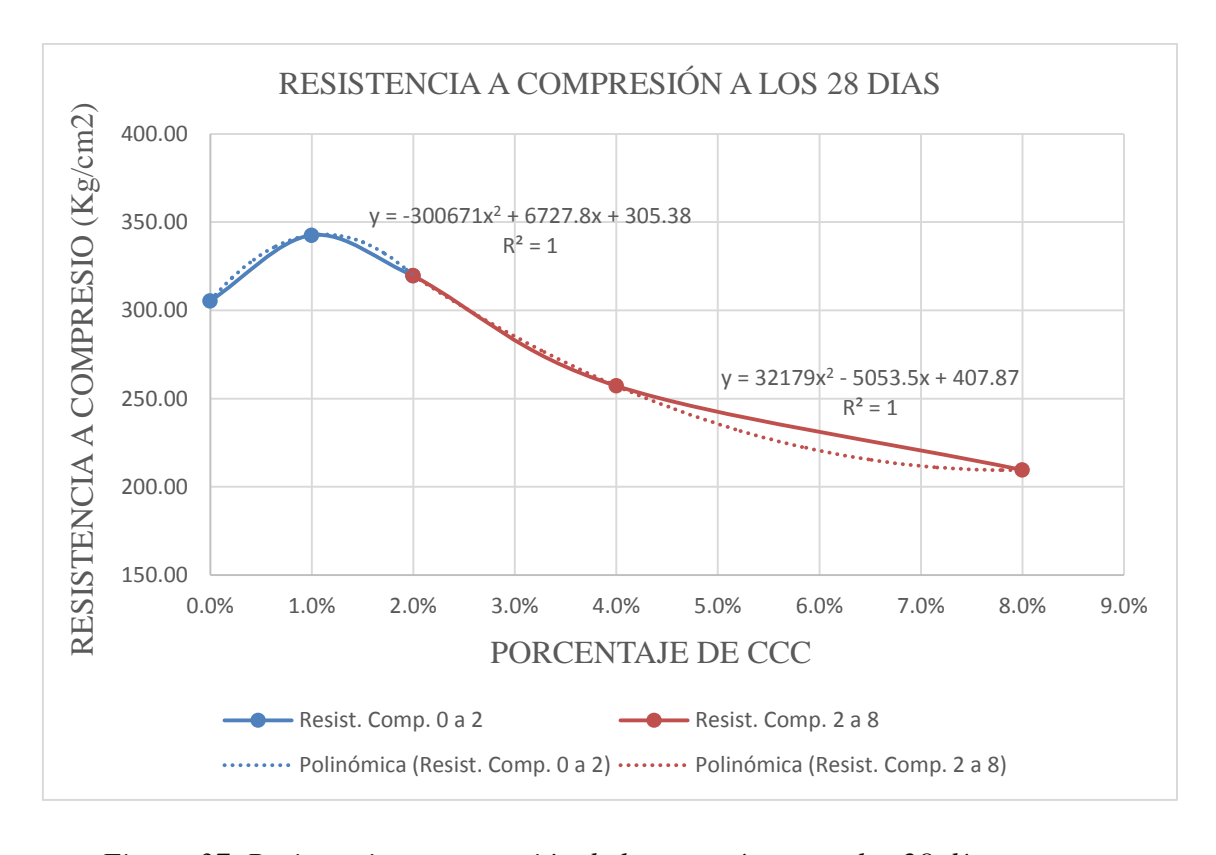


Figura 37. Resistencia a compresión de los especímenes a los 28 días.

Tabla 46. Resistencia a compresión promedio (Kg/cm²) del concreto endurecido

Edad	CCC 0.0 %	CCC 1.0 %	CCC 2.0 %	CCC 4.0 %	CCC 8.0 %
7	241,56	262,04	241,89	217,50	165,09
14	270,89	306,33	291,99	244,09	200,71
28	305,38	342,59	319,67	257,21	209,53

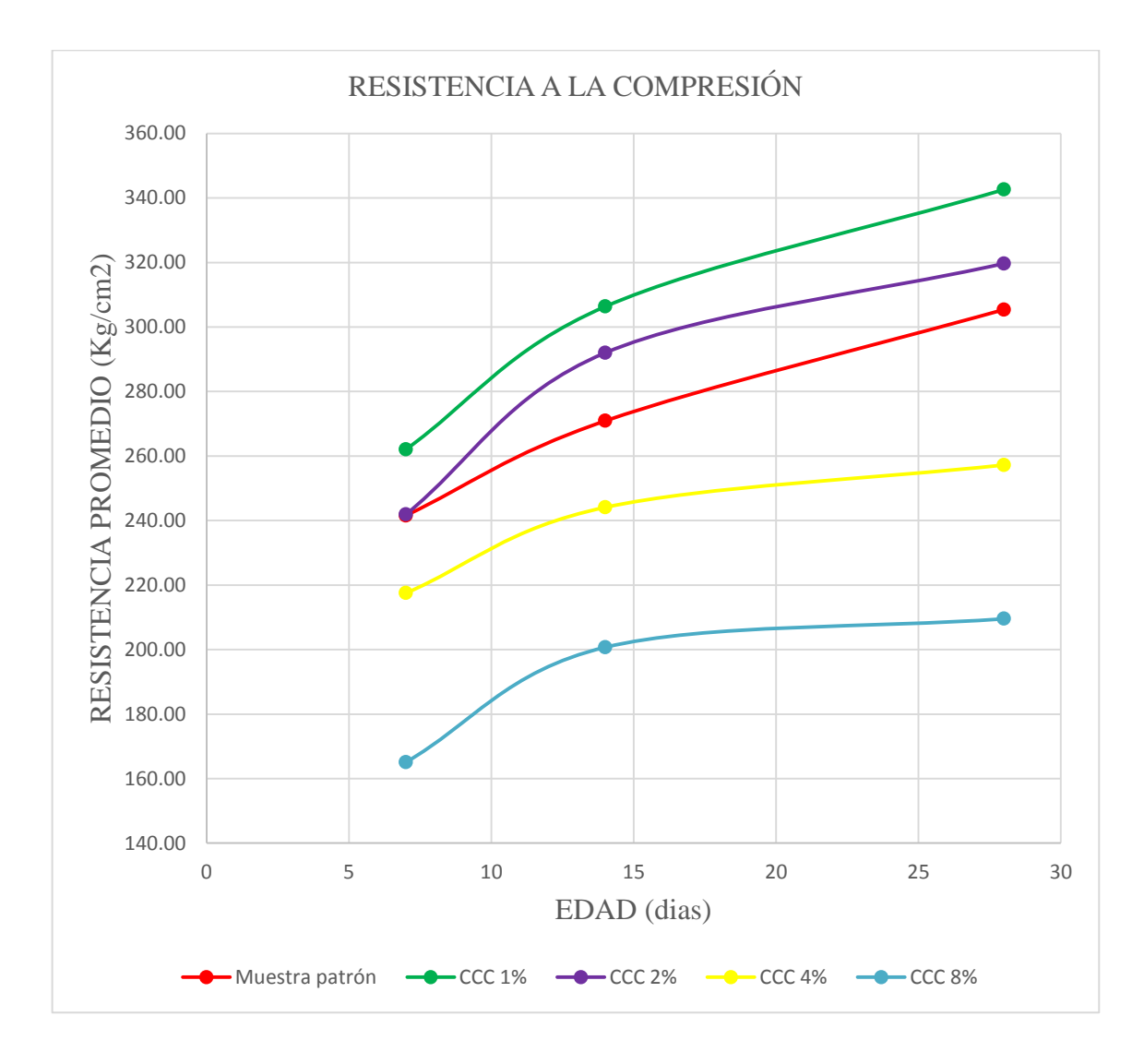


Figura 38. Resistencia a compresión promedio de los especímenes de concreto.

4.6.2. Peso unitario del concreto endurecido

Tabla 47. Peso unitario de concreto endurecido.

		tario del conc			
Muestra	porcent	aje de adición	de ceniza de ca	ascarilla de cafe	é (CCC)
Mucsua	0,00%	1,00%	2,00%	4,00%	8,00%
1	2,409	2,366	2,364	2,341	2,369
2	2,413	2,383	2,370	2,370	2384
3	2,356	2,370	2,369	2,383	2,378
4	2,384	2,356	2,383	2,367	2,339
5	2,378	2,357	2,362	2,346	2,335
6	2,376	2,365	2,351	2,380	2,342
7	2,363	2,374	2,371	2,340	2,354
8	2,365	2,365	2,393	2,380	2,351
9	2,404	2,376	2,377	2,384	2,356
10	2,392	2,389	2,359	2,383	2,320
11	2,405	2,372	2,399	2,317	2,274
12	2,394	2,374	2,374	2,338	2,366
13	2,371	2,376	2,370	2,376	2,338
14	2,374	2,360	2,326	2,324	2,305
15	2,371	2,350	2,341	2,322	2,343
16	2,362	2,367	2,357	2,379	2,327
17	2,370	2,368	2,394	2,352	2,357
18	2,371	2,385	2,332	2,319	2,317
19	2,337	2,376	2,366	2,350	2341
20	2,371	2,365	2,428	2,354	2,318
21	2,343	2,369	2,348	2,341	2,283
22	2,365	2,379	2,363	2,363	2,325
23	2,347	2,382	2,349	2,352	2,315
24	2,370	2,382	2,362	2,378	2,314
25	2,375	2,347	2,366	2,386	2,325
26	2,366	2,359	2,396	2,349	2,305
27	2,369	2,361	2,353	2,351	2,366
28	2,371	2,396	2,358	2,387	2,326
29	2,395	2,370	2,412	2,398	2,351
30	2,406	2,373	2,389	2,376	2,350
Promedio	2,376	2,370	2,369	2,360	2,336

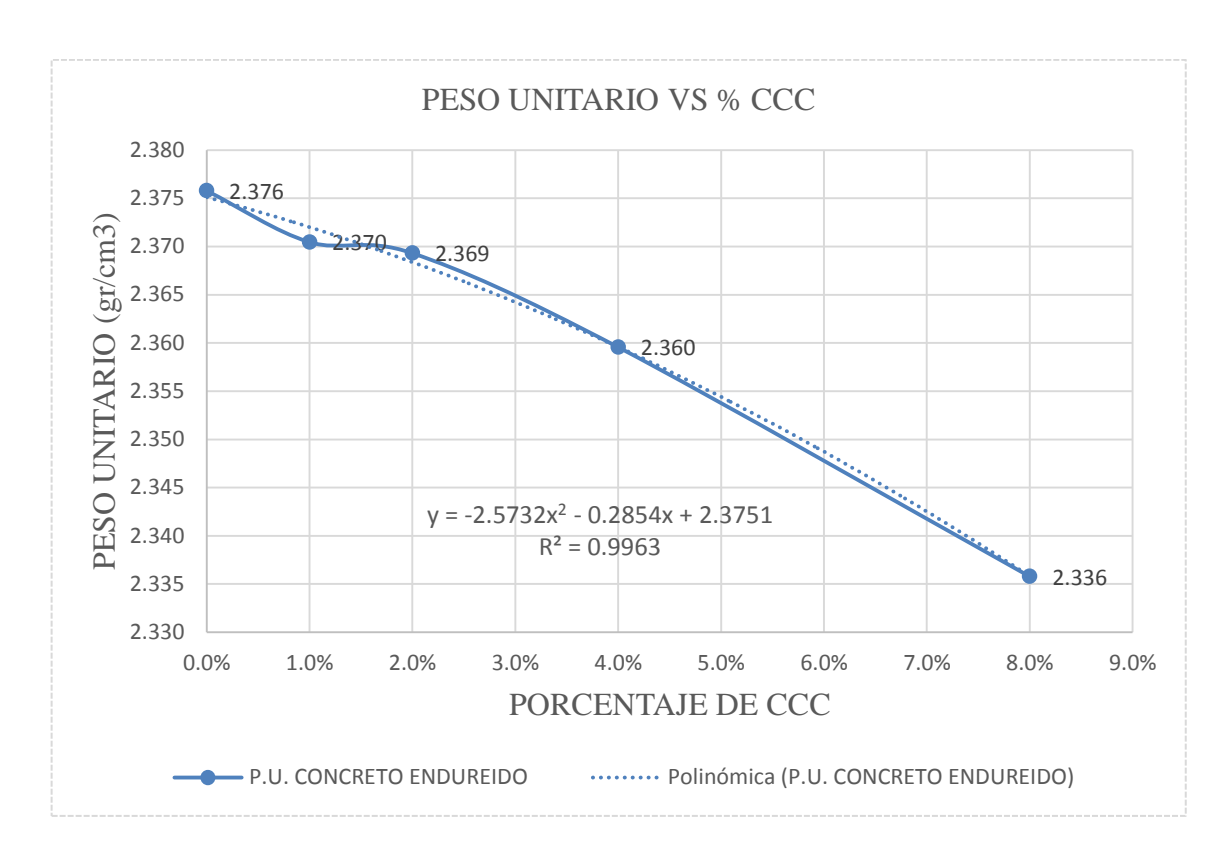


Figura 39. Peso unitario de concreto endurecido.

V. DISCUSIÓN

La ceniza utilizada como adición para la elaboración de las mezclas tiene componentes químicos como: óxido férrico (Fe₂O₃) con un porcentaje de 4,76%, óxido de calcio (CaO) 24, 42%, óxido de silicio (SiO₂) 9,8%, silicio (Si) 4,58%, carbonato de calcio (CaCO₃) en un 43.2%; estos elementos forman parte de la composición química del cemento, además disminuyen ligeramente la trabajabilidad y mejoran la resistencia a compresión del concreto. El peso específico de la ceniza de cascarilla de café (CCC) es de 1,14 gr/cm³ y la fineza que se seleccionó fue pasante de la malla N° 100 por tener un color crema, no se llevó a la molienda porque el objetivo era observar el fenómeno de la CCC en las propiedades en su forma original, solo tamizada.

Los agregados se ajustan a los requerimientos granulométricos que estipula la norma NTP 400.037, el agregado grueso a través del huso granulométrico 67, con T.M.N de $\frac{3}{4}$ " y mg = 6,55 y para el agregado fino un mf = 3,12.

El contenido de humedad de los agregados varió de acuerdo a la temperatura ambiente, en el agregado fino se obtuvo porcentajes de humedad entre los intervalos de 2,15 hasta 4,24%; en el agregado grueso el contenido de humedad fue más bajo teniendo variaciones de 0,40 hasta 1,94%.

Para obtener el peso específico de los agregados se hicieron tres pruebas obteniendo un promedio como a continuación se indica: en el agrega fino se obtuvo Pe = 2,61gr/cm³ y una absorción de 2,04% de acuerdo a la norma NTP 400.022 y en el agregado grueso se tuvo un Pe = 2,67 gr/cm³ y una absorción de 1,23% de acuerdo a la norma NTP 400.021.

El peso unitario de los agregados se realiza de acuerdo a las especificaciones de la norma NTP 400.017 y también se elaboraron tres pruebas, en el agregado fino se obtuvo el peso unitario compactado de 1 726 Kg/m³ y peso unitario suelto 1 596 Kg/m³; en el agregado grueso se tuvo como peso unitario compactado 1 548Kg/m³ y peso unitario suelto de 1 398 Kg/m³.

La densidad o peso específico del cemento portland tipo I que se utilizó como componente de la mezcla fue de 3,10 gr/cm³ de acuerdo a cementos Pacasmayo 2017.

El diseño de mezcla se realizó por el método del módulo de finura de la combinación de agregados y también se consideró que la resistencia f´c = 280 Kg/cm² sea igual a la resistencia promedio f´cr, ya que es una investigación comparativa no es necesario tener un margen de seguridad; por lo tanto, la elección de agua material cementante (a/c) = 0,587

En el diseño de mezclas se observó una disminución uniforme del agregado fino y agregado grueso, conforme se aumenta el porcentaje de adición de ceniza de cascarilla de café (CCC). Esto se debe a que la CCC ocupa mayor volumen a medida que se le agrega más porcentaje, al tener mayor volumen de material cementante, se refleja una reducción del volumen de agregados.

El asentamiento disminuye a medida que aumenta el porcentaje de adición de CCC debido a que ésta contiene carbonato de calcio en su composición química. Disminuyendo en 23.5%, 29.4%, 35.3% y 70.6%, con respecto a la muestra patrón; por lo tanto, se ve afectada directamente la trabajabilidad.

Tabla 48. Variación del asentamiento slump respecto a los porcentajes de CCC.

DESCRIPCIÓN	Mezcla	Mezcla 1%	Mezcla 2%	Mezcla 4%	Mezcla 8%
	Patrón	CCC	CCC	CCC	CCC
SLUMP (pulg)	4,25	3,25	3,00	2,75	1,25

Fuente: Elaboración propia.

Podemos decir que el concreto patrón y los adicionados con 1%, 2% de CCC tienen una consistencia plástica y los concretos adicionados con 4% y 8% CCC presentan una consistencia seca. La ecuación que describe a la trabajabilidad para las condiciones de las mezclas utilizadas en esta investigación es la siguiente:

$$y = 892857x^4 - 145833x^3 + 7500x^2 - 161.31x + 4.25$$

Siendo:

Y = Slump en pulgadas

X = Porcentaje de adición de CCC

La temperatura se incrementa a medida que se incorpora mayor porcentaje de adición, en el concreto patrón se tiene una temperatura de 27,45°C, en el concreto adicionado con 1% CCC de 27,50°C, concreto con adición de 2% CCC de 27,55°C, concreto con adición de 4% CCC de 27,60 y concreto con adición de 8% CCC de 27,85°C; obteniendo 1,45% de incremento de temperatura con respecto al concreto patrón y el concreto adicionado con 8% CCC.

El contenido de aire del concreto se determinó con el método de Presión (Olla de Washington), obteniendo como resultados un aumento constante a medida que se incorpora mayor adición teniendo un valor de 1,35% para la muestra patrón y un máximo de 2,1% en la muestra con adición de 8% de CCC.

El peso unitario del concreto fresco tiene los siguientes resultados: concreto patrón 2,463gr/cm³, concreto con adición de 1% CCC de 2,442 gr/cm³, concreto con adición de 2% CCC de 2,44 gr/cm³, concreto con adición de 4% CCC de 2,427 gr/cm³ y concreto con adición de 8% CCC 2,389 gr/cm³; esta variación se debe a que la CCC con peso específico de 1,14 gr/cm³ ocupa un volumen en la mezcla y disminuye la cantidad de agregados que tienen pesos específicos más elevados. Donde se puede notar una variación de disminución en un 3% entre el concreto patrón y el adicionado con 8% CCC.

La resistencia a compresión en los especímenes de concreto varía de acuerdo al porcentaje de adición de CCC y de la edad en la que se ha realizado la rotura (7, 14 y 28 días). Las ecuaciones que describen la resistencia a compresión son:

$$f'c_7 = -20\ 3190x^2 + 4\ 080.2x + 241.56\ ...\ ...\ si\ 0 \le x \le 2$$

$$f'c_7 = -1\ 284.4x + 268.1\ ...\ ...\ si\ 2 \le x \le 8$$

$$f'c_{14} = -248895x^2 + 6033.1x + 270.89\ ...\ ...\ si\ 0 \le x \le 2$$

$$f'c_{14} = 21844x^2 - 3705.7x + 357.37\ ...\ ...\ si\ 2 \le x \le 8$$

$$f'c_{28} = -300671x^2 + 6727.8x + 305.38\ ...\ ...\ si\ 0 \le x \le 2$$

$$f'c_{28} = 32179x^2 - 5053.5x + 407.87\ ...\ ...\ si\ 2 \le x \le 8$$

Siendo:

 $f'c_7$ = resistencia a compresión a los 7 días

 $f'c_{14}$ = resistencia a compresión a los 14 días

 $f'c_{28}$ = resistencia a compresión a los 28 días

x= porcentaje de adición de CCC

El concreto adicionado con 1% de CCC, a los 14 días generó una resistencia a compresión superior a la del concreto patrón en 28 días; por lo que podemos decir que esta adición funcionó como un acelerante de resistencia a compresión.

La máxima resistencia alcanzada a los 7, 14 y 28 días fue al adicionar el 1% de CCC generando respectivamente el 8,48%, 13,1% y 12,2% más de resistencia a compresión con respecto a la muestra patrón.

En el ámbito local existe una investigación relacionada al tema, "DISEÑO DE CONCRETO F'C=250 KG/CM² REFORZADO CON CASCARILLA DE CAFÉ EN LA CIUDAD DE JAÉN", donde se logró establecer que la resistencia a la compresión, con adición de ceniza hace que la resistencia aumente conforme aumenta la adición llegando hasta 8,65% a los 28 días en la más alta dosis, además se observa que el porcentaje de aumento a los 28 días es mayor que a los 7 días en todas las dosis. (Rodriguez Soberón, 2017).

A continuación, un cuadro comparativo, donde se establecerán las diferencias más relevantes entre las investigaciones:

Tabla 49. Comparación de investigaciones.

CUADRO COMPARATIVO					
(RODRIGUEZ, 2017)	INVESTIGACIÓN ACTUAL				
Recogida, molida y luego	Recogida, quemada por auto-				
tamizada	combustión y luego tamizada				
Gris	Crema				
$2,15 \text{ gr/cm}^3$	$1,14 \text{ gr/cm}^3$				
Silicio	Calcio				
5%, 10% y 15%	1%, 2%, 4% y 8%				
Disminuye a > adición	Disminuye a > adición				
Aumenta en 8.65% con 15%	Aumenta en 12.2% con 1%				
CCC	CCC				
250 Kg/cm^2	280 Kg/cm^2				
334 Kg/cm ²	280 Kg/cm^2				
36 und.	120 und.				
No estadístico	Estadístico				
7 y 28 días	7,14 y 28 días				
No alcanzan la resistencia	Superan la resistencia				
promedio para la cual fueron	promedio la muestra patrón y				
diseñadas	las adicionadas con 1% y 2%				
	CCC				
	(RODRIGUEZ, 2017) Recogida, molida y luego tamizada Gris 2,15 gr/cm³ Silicio 5%, 10% y 15% Disminuye a > adición Aumenta en 8.65% con 15% CCC 250 Kg/cm² 334 Kg/cm² 36 und. No estadístico 7 y 28 días No alcanzan la resistencia promedio para la cual fueron				

5.1. Análisis estadístico.

Se ha realizado con la finalidad de obtener la confiabilidad de los resultados obtenidos en ensayos de concreto fresco como: slump, peso unitario, contenido de aire y temperatura y en concreto endurecido los testigos o especímenes; para que nos conduzcan a establecer conclusiones válidas de acuerdo a los objetivos trazados en esta investigación.

5.1.1. Resultados analizados en concreto fresco

Para el análisis de datos obtenidos en concreto fresco de todos los ensayos, se han realizado cuatro pruebas tanto de la muestra patrón como de las adicionadas; mostrándose a continuación los resultados obtenidos, que en todos los casos podemos deducir que son los resultados confiables para dar las conclusiones respectivas.

Tabla 50. Análisis estadístico del slump

	Result	tados de slu	mp obtenio	dos en el pi	rograma sta	ntistix 8	
Ensayo	MP	CCC 1%	CCC 2%	CCC 4%	CCC 8%	media	C. V.
Slump	4.25	3.25	3	2.75	1.25	2.90	7.71

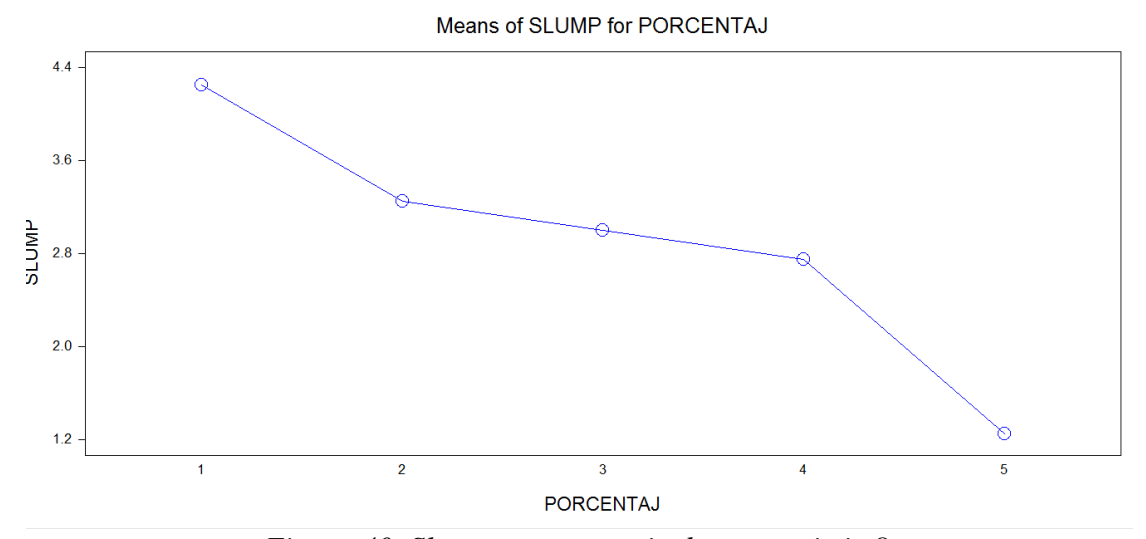


Figura 40. Slump vs porcentaje de ccc statistix 8.

Tabla 51. Análisis estadístico del peso unitario concreto fresco

Resultados de	Peso Unitario	obtenidos en el	programa statistix 8
---------------	---------------	-----------------	----------------------

Ensayo Peso	MP	CCC 1%	CCC 2%	CCC 4%	CCC 8%	media	C. V.
unitario (gr/cm3)	2.4630	2.4420	2.4402	2.4265	2.3887	2.4321	0.27

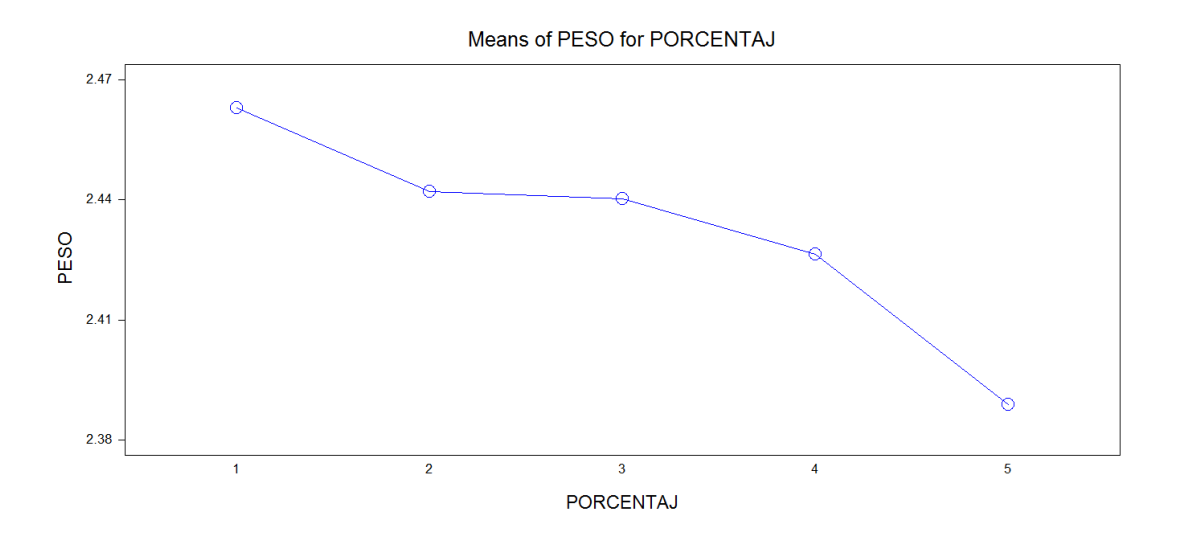


Figura 41. Peso Unitario vs porcentaje de ccc statistix 8.

Tabla 52. Análisis estadístico del contenido de aire

Resi	Resultados de Contenido de Aire obtenidos en el programa statistix 8								
Ensayo Contenido	MP	CCC 1%	CCC 2%	CCC 4%	CCC 8%	media	C. V.		
de aire (%)	1.35	1.45	1.55	1.80	2.10	1.65	6.06		

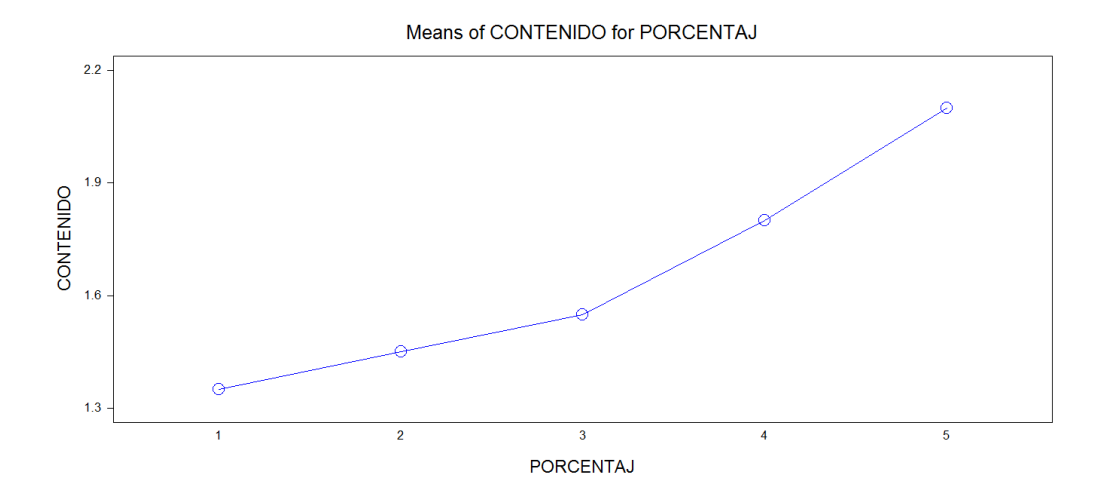


Figura 42. Contenido de aire vs porcentaje de ccc statistix 8.

Tabla 53. Análisis estadístico de la temperatura

Resultados d	e Tempera	atura del c	oncreto fr	esco obten	idos en el	programa	statistix 8
Ensayo	MP	CCC 1%	CCC 2%	CCC 4%	CCC 8%	media	C. V.
Temperatura							
(°C)	27.45	27.50	27.55	27.60	27.85	27.59	0.50

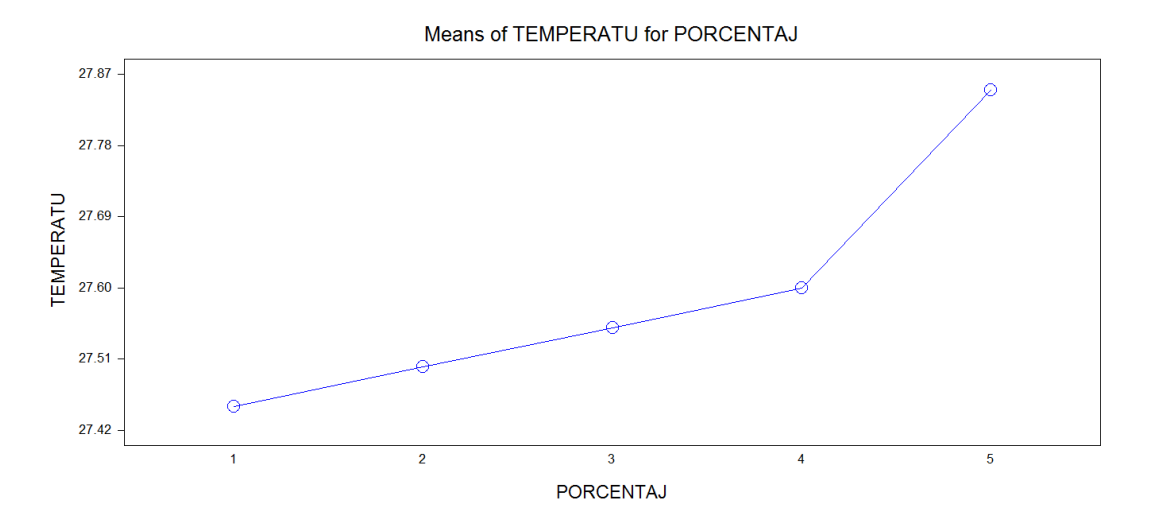


Figura 43. Temperatura vs porcentaje de ccc statistix 8.

5.1.2. Resultados analizados en concreto endurecido

Para el análisis de datos obtenidos en concreto endurecido, se han realizado 150 testigos tanto de la muestra patrón como de las adicionadas, dividiéndose en 30 por categoría (porcentaje de adición CCC) y 10 para los 7,14 y 28 días de rotura; mostrándose a continuación los resultados obtenidos, que en todos los casos podemos deducir que son los resultados confiables para dar las conclusiones respectivas.

Tabla 54. Análisis estadístico de la resistencia a compresión a los 7,14 y 28 días

Res	Resultados de resistencia a compresión obtenidos en el programa statistix 8									
Edad	CCC 0%	CCC 1%	CCC 2%	CCC 4%	CCC 8%	media	C. V.			
7	241.56	262.04	241.89	217.5	165.09	225.62	3.29			
14	270.89	306.33	291.99	244.09	200.71	262.8	3.48			
28	305.38	342.59	319.67	257.21	209.53	286.88	3.27			

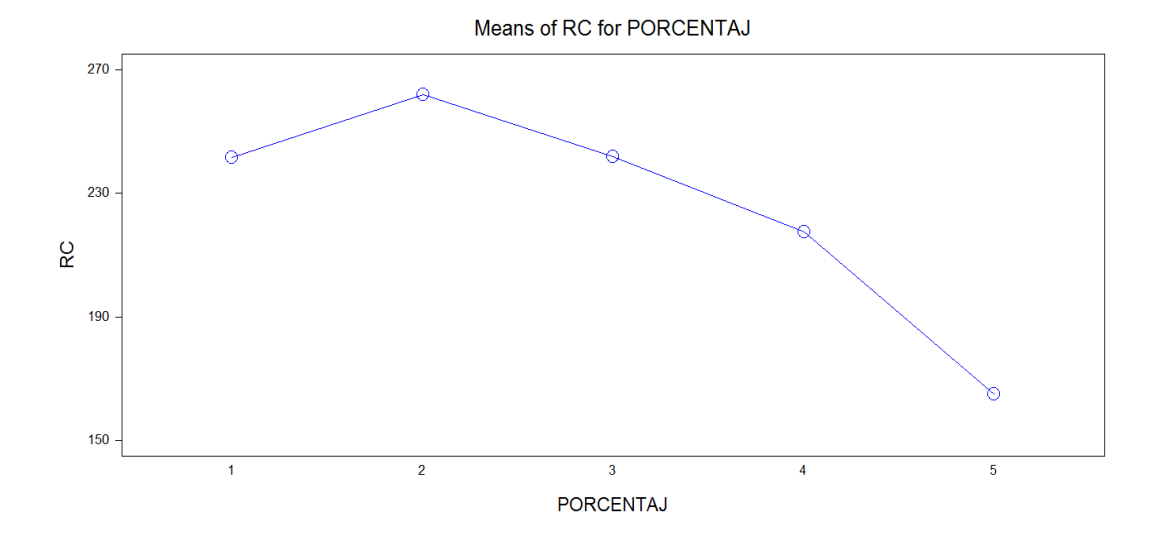


Figura 44. Resistencia a compresión a los 7 días vs porcentaje de ccc statistix 8.

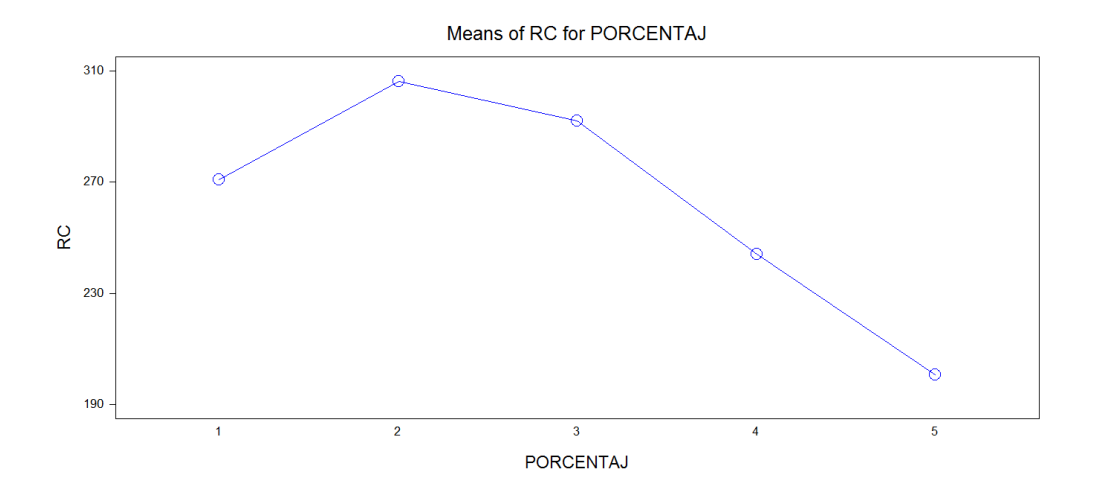


Figura 45. Resistencia a compresión a los 14 días vs porcentaje de ccc statistix 8.

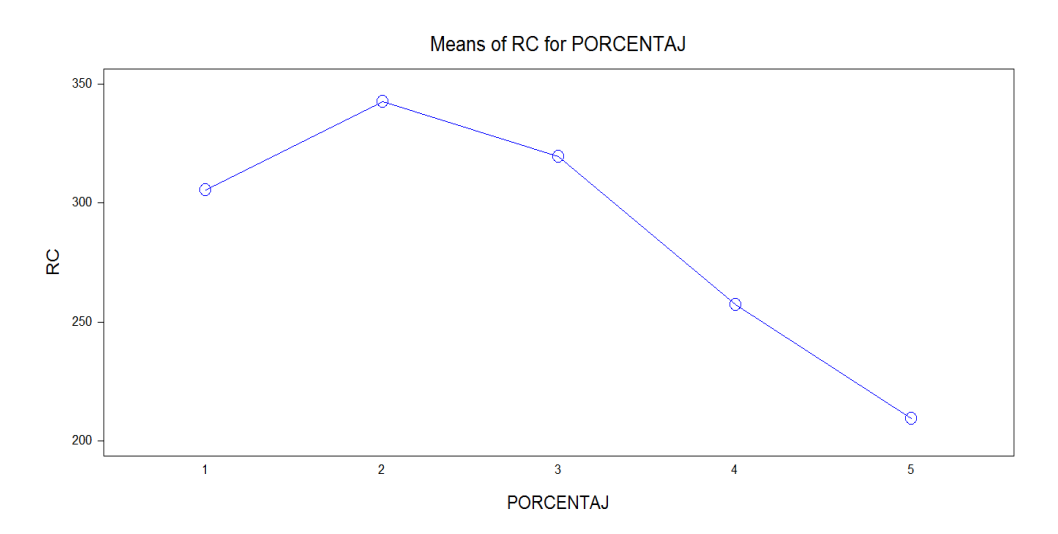


Figura 46. Resistencia a compresión a los 28 días vs porcentaje de ccc statistix 8.

También se ha evaluado el comportamiento de la resistencia a compresión del concreto (testigos) mediante el uso de los parámetros de la desviación estándar y coeficiente de variación, de acuerdo a la tabla:

Tabla 55. Valores de dispersión en control del concreto

Dispersión total

Desviación standard para diferentes grados de control (Kg/cm²)

Clase operación	de	Excelente	Muy bueno		Bueno		Suficiente	Deficiente
Concreto obra	en	< a 28.1	28.1 35.2	a	35.2 42.2	a	42.2 a 49.2	> a 49.2
Concreto laboratorio	en	< a 14.1	14.1 17.6	a	17.6 21.1	a	21.1 a 24.6	> a 24.6

DISPERSIÓN DE TESTIGOS

Clase de coeficiente de variación diferentes grados de control (%) operación

	Excelente	Muy bueno	Bueno	Suficiente	Deficiente
Concreto en obra	< a 3.0	3.0 a 4.0	4.0 a 5.0	5.0 a 6.0	> a 6.0
Concreto en laboratorio	< a 2.0	2.0 a 3.0	3.0 a 4.0	4.0 a 5.0	> a 5.0

Fuente: (Pasquel Carbajal, 1998 segunda edición)

De los valores obtenidos de resistencia a la compresión, se calcularon las desviaciones estándar y coeficientes de variación, a través de las siguientes fórmulas:

$$D_s = \sqrt{\frac{\Sigma(x - xprom)^2}{(n-1)}}$$

Dónde:

 D_s = Desviación estándar

Xprom = Resistencia Promedio

X = Resistencia individual

n = Número de ensayos

$$C_v = \frac{D_s}{xprom} * 100$$

Dónde:

 C_v = Coeficiente de variación

 D_s = Desviación estándar

Xprom = Resistencia Promedio

Tabla 56. Coeficiente de variación y desviación estándar de la resistencia a compresión.

Edad (días)	CCC	X prom (Kg/cm ²)	Ds	Cv
7	0%	241,56	6,00	2,48 %
14	0%	270,89	10,75	3,97 %
28	0%	305,38	12,30	4,03 %
7	1%	262,04	7,87	3,00 %
14	1%	306,33	10,54	3,44 %
28	1%	342,59	7,53	2,20 %
7	2%	241,89	8,52	3,52 %
14	2%	291,99	10,29	3,52 %
28	2%	319,67	11,47	3,59 %
7	4%	217,50	8,79	4,04 %
14	4%	244,09	6,10	2,50 %
28	4%	257,21	8,60	3,34 %
7	8%	165,09	5,23	3,17 %
14	8%	200,71	6,95	3,46 %
28	8%	209,53	4,76	2,27 %

La desviación estándar cumple con los diferentes grados de control de excelente, muy bueno y bueno; por lo tanto, los datos obtenidos son eficientes y también tenemos al coeficiente de variación de datos que cumple en su totalidad muy bueno y bueno.

A continuación, tenemos la resistencia medidas a compresión cumpliendo con la curva.

Tabla 507. Resistencia a compresión promedio.

	0%	1%	2%	4%	8%
7 días	241,56	262,04	241,89	217,50	165,09
14 días	270,89	306,33	291,99	244,09	200,71
28 días	305,38	342,59	319,67	257,21	209,53

Fuente: elaboración propia

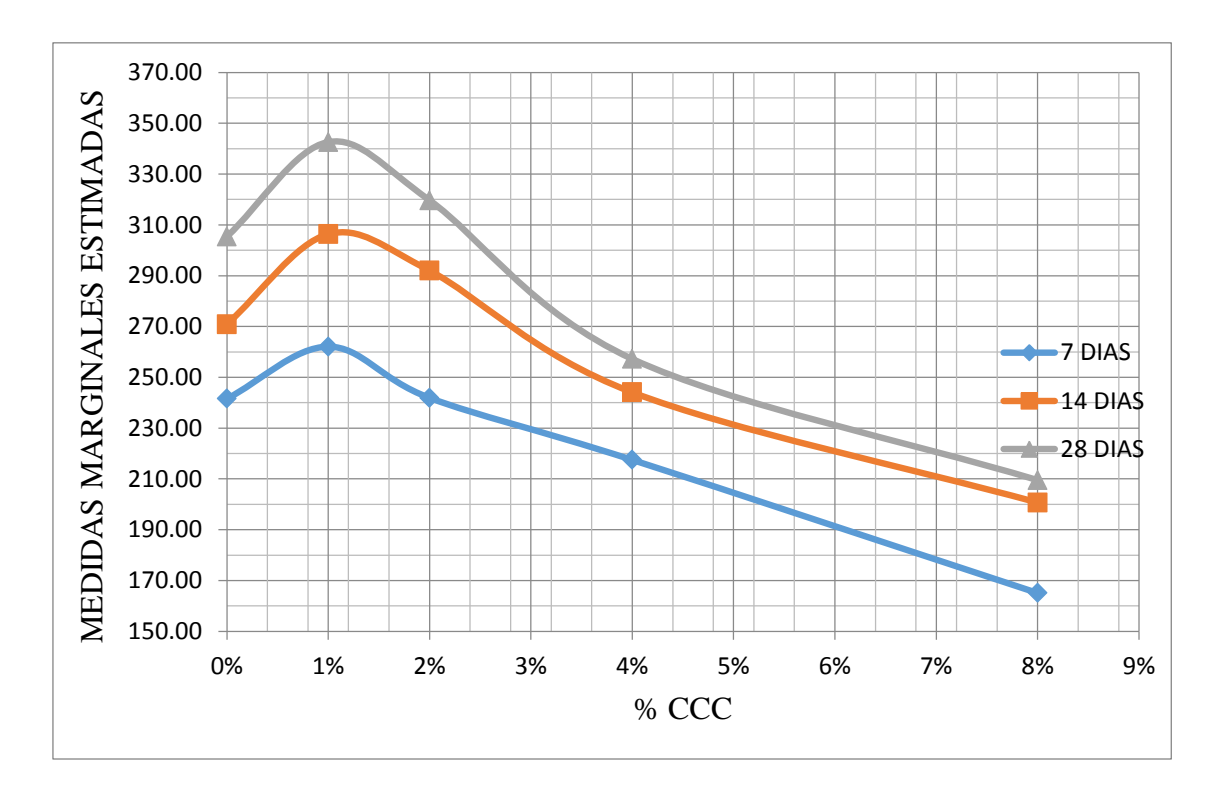


Figura 407. Resistencia a compresión media de las edades del concreto.

Finalmente al realizar el análisis estadístico en concreto endurecido a través de los métodos con el programa statistix 8 y a través de la desviación estándar y coeficiente de variación establecido en tópicos de tecnología del concreto de Pasquel Carbajal d la tabla 55, se establece que no hay mucha variación en los resultados obtenidos entre estos métodos, sin embargo se puede inferir que programa statistix 8 es un poco más exacto.

VI. CONCLUSIONES Y RECOMENDACIONES

6.1. Conclusiones

Los agregados (arena y piedra chancada), se encuentran dentro de los límites granulométricos establecidos en la norma NTP 400.037, el agregado grueso mediante el huso granulométrico 67; luego que los agregados se ajustan a los requerimientos de esta norma se procede a realizar su peso específico, absorción y peso unitario.

Mediante el método de módulo de fineza de combinación de agregados se realizó el diseño de mezcla patrón teniendo como criterios el asentamiento y el f´c = f´cr =280 Kg/cm² y a partir de ésta se efectuó una corrección por incorporación de adición de CCC en porcentajes de 1%, 2%, 4% y 8% en relación al peso de cemento; donde se obtuvieron variaciones en el agua de mezclado y volumen de agregados.

De los ensayos de slump realizados se obtuvo que la trabajabilidad se ve afectada ligeramente ya que el asentamiento disminuye a medida que aumenta el porcentaje de adición de CCC con una diferencia de tres pulgadas entre el concreto patrón y el adicionado con 8% de CCC; además la mejor trabajabilidad se logra al incorporar el 1% de CCC siendo una mezcla plástica. Esta variación se debe a la presencia de calcio en la composición química de la ceniza, lo que genera calor de hidratación acelerando el tiempo de fraguado.

El contenido de aire y la temperatura del concreto fresco aumentan por lo contrario el peso unitario disminuye a medida que se aumenta el porcentaje de adición de CCC.

El peso unitario del concreto endurecido disminuye al incrementar el porcentaje de adición de CCC; con respecto al concreto patrón.

Al utilizar la CCC como adición para el concreto en 1% y 2%, la resistencia a compresión se incrementa; y al adicionar en 4% y 8%, la resistencia a compresión disminuye con respecto al concreto patrón, alcanzando la mayor resistencia a compresión a los 7, 14 y 28 al adicionar el 1% de CCC, logrando un 8,48%, 13,08% y 12,20% más que el concreto patrón.

6.2. Recomendaciones.

Para mejorar la resistencia a compresión del concreto y mantener la trabajabilidad dentro de los límites de diseño se puede utilizar la adición de ceniza de cascarilla de café hasta el 2% del peso del cemento.

La adición de CCC se puede utilizar para acelerar la resistencia a compresión del concreto.

Para utilizar la CCC como adición se debe asegurar la combustión total para eliminar las partículas de carbón.

Implementar el proceso de molienda de la CCC pasante de la malla N° 100 haciendo uso de un molino de bolas para reducir el tamaño de las partículas hasta tener un retenido máximo del 34 % en la malla N° 325.

Considerando los resultados de resistencia a compresión obtenidos se debe hacer un reajuste en el factor de incremento de resistencia F'cr

VII. REFERENCIAS BIBLIOGRÁFICAS

Abanto Castillo, F. (2009). Tecnologia del concreto. Lima: San Marcos E.l.R.L. - Editor.

Camacho Hoyos, H. L., & Guerrero González, M. A. (2017). obtención de sílice a partir de bagazo de cebada para la aplicación en concreto convencional. Bogota. Obtenido dehttp://repository.lasalle.edu.co/bitstream/handle/10185/21741/41121121_2017.pdf?seque nce=1&isAllowed=y

FICEM. (2018). Informe estadistico. Obtenido de Informe estadistico: http://ficem.org/dev/wp-content/uploads/2018/09/CIFRAS-DE-LA-INDUSTRIA-CEMENTERA-MUNDIAL.pdf

Huaroc Palacios, A. h. (2017). Influencia del porcentaje de sílice a partir de la ceniza de cascarilla de arroz sobre la resistencia a compresión y asentamiento. Trujillo. Obtenido de http://repositorio.upn.edu.pe/handle/11537/12532

Pacasmayo, C. (2017).

Pasquel Carbajal, E. (1998 segunda edición). Tópicos de Tecnología del Concreto en el Perú. Lima.

Rivva López, E. (2010). Diseño de Mezclas. Lima.

Rivera López, G. A. (2010). Concreto simple. Cauca.

Rodriguez Soberón, N. C. (2017). Diseño de concreto f´c=250 Kg/cm² reforzado con cascarilla de café. Jaén.

AGRADECIMIENTO

Agradecemos a Dios por darnos la vida, sabiduría y salud para hacer realidad este trabajo de investigación.

A la Universidad Nacional de Jaén por ser el alma mater durante el periodo 2013 I al 2017 II y darnos el conocimiento para ser mejores personas.

A los ingenieros Wilmer Rojas Pintado, Luis Rafael Quiroz Chihuan, Ernesto Pérez Cerezales; por la orientación y confianza brindada para hacer esta investigación.

A familiares y amigos por darnos motivación y ejemplo de seguir adelante.

DEDICATORIA

A mis padres, José Adelicio Fernández Lozano y María Jesús Pérez Díaz por darme sus sabios consejos, cultivar valores y darme la confianza necesaria para cumplir mis metas.

A mis hermanos, Marlit, Gretty, Neil y Jesús, por darme su apoyo en todo momento de mi carrera universitaria.

A mis tías y primos que me apoyaron moralmente y no dejaron retroceder en todo este tiempo que estuve junto a ellos.

HAROLD

A Dios, por la familia que me regaló, por guiarme en mi camino, darme sabiduría, salud y la fuerza para continuar en este proceso de obtener uno de mis anhelos más deseados y por las inmensas bendiciones recibidas.

A mis padres Lilia y Amilcar, personas excepcionales y gran ejemplo de humildad; por haber creído en mí, por su amor, trabajo y sacrificio en todos estos años, gracias a ustedes he logrado llegar hasta aquí y convertirme en lo que soy.

A mis abuelos Cesar, Elena y Juan, por inculcar en mí sabios consejos, valores, principios. A mis tíos, tías y primos; porque con sus oraciones y palabras de aliento hicieron de mí una mejor persona y de una u otra forma me acompañan en el trance de cumplir mis metas.

MARISOL

ANEXO N° 01 ENSAYO QUÍMICO DE LA CENIZA DE CASCARILLA DE CAFÉ (CCC)

DIKOSTA DE CÁSCARA DE CAFÉ OIKOSLAB Nº1604-

2019

Solicitante

Marisol Díaz Vargas y Josmar Harold Fernández

Pérez

Fecha de recepción

10-06-2019

Muestra proporcionada por el solicitante

I.- Proyecto de investigación de tesis:

"Influencia de la adición de ceniza de cascarilla de café en la trabajabilidad y resistencia a compresión del concreto"

I.- Descripción de la muestra

Tipo de muestra

: Ceniza proveniente de cascarilla de café

II.-Resultados

Ensayo Químico	Unidades	Expresión	Muestra	Norma Técnica
Conductividad Eléctrica	mS/cm	mS/cm	84.4	ISO-11265-
				ASTMD 1125
Potencial de iones hidrógeno	Unidades	Unidades de	13.03	ASTMD-1293
		pH		
Porcentaje de óxido férrico	%	% Fe ₂ O ₃	4.76	Fotocolorimetría
Porcentaje de óxido de	%	%CaO	24.42	MTCE-602
calcio				
Porcentaje de carbonato de	%	%CaCO ₃	43.2	Neutralización
calcio				ácida
Porcentaje de óxido de	%	%SiO ₂	9.80	MTCE-602
silicio				
Porcentaje de silicio	%	%Si	4.58	MTCE-602



DIKOSIOD

Psje. San Pedro N°113 - Morro Solar Alto - Jaén Cel. 970911920 | jads14@hotmaïl.com

DIKOSTA DUÍMICO EN CENUZA DE CÁSCARA DE CAFÉ OIKOSLAB Nº1583-

2019

Solicitante

.

Marisol Díaz Vargas y Josmar Harold Fernández

Pérez

Fecha de recepción

10-06-2019

Muestra proporcionada por el solicitante

I.- Proyecto de investigación de tesis:

"Influencia de la adición de ceniza de cascarilla de café en la trabajabilidad y resistencia a compresión del concreto"

MEDICIÓN DE LA CONDUCTIVIDAD ELÉCTRICA. Referencia SMEWW-APHA AWWA-WEF Part 2510 B, 22nd Ed.

Medición utilizando el equipo multiparámetro marca HANNA HI-2550, calibrado con solución HI7030, 1288S μ/cm. Norma: SMEWW-APHA-AWWA-WEF Part 2510 B, 22nd Ed. (Incluye Muestreo). Título Conductivity. Laboratory Method

Muestra	Conductividad mS/cm
Ceniza de cascara de café	84.4

MEDICIÓN DEL POTENCIAL DE IONES HIDRÓGENO (pH). Referencia MTCE

Se realiza una dilución de 10 gramos de suelo en 25 mL de agua destilada, Los resultados se obtienen a partir de las mediciones mostradas en el equipo pH metro. HANNA HI2550. Se realiza el protocolo de calibración del equipo con los Buffers HI 7004 (4.01), HI 7007 (7.01) y HI7010 (10.01).

Muestra pH

Ceniza de cascara de café 13.03

Jorge . Delgado Soto
ING. RESPONSABLE
CIP. 56767

OIKO SIDIO

Psje. San Pedro N°113 - Morro Solar Alto - Jaén Cel. 970911920 jads14@hotmail.com



Adaptación de la norma MTCE 602 (Gravimetría)

Preparación de la muestra

Se pesó en una luna de reloj una muestra aproximada de 0.4 y 0.5 gramos previamente triturada y pulverizada. Luego se pasó la muestra cuantitativamente a un vaso de precipitados de 100 ml, agregar lentamente y con mucho cuidado aproximadamente 20 ml de ácido clorhídrico (HCl) en relación 1:1; medidos con una probeta y evaporar lentamente hasta sequedad.

Filtración

Al residuo seco se le adicionó entre 1 y 1,5 ml de HCl concentrado y luego 30 ml de agua destilada, se agitó y desprender todo el sólido del vaso, si es necesario adicionar más agua destilada, dejar en reposo 5 minutos y filtrar por gravedad con papel de filtro, con agua caliente hasta que en el filtrado no se obtenga presencia de cloruros, probar con nitrato de plata.

Calcinación

Mientras se va filtró, se lavó y secó un crisol de porcelana, marcarlo y se colocó en la mufla a 900oC durante media hora, luego se enfrió y se pesó.

Una vez finalizada la filtración se colocó el papel de filtro en el crisol de porcelana (previamente marcado y pesado), se calentó el crisol hasta carbonizar el papel.

Después de carbonizar el papel, se colocó el crisol y su contenido en la mufla y se calcinó a 900 oC durante una hora, esperar hasta que la temperatura baje hasta 200 °C, se sacó el crisol y se colocó en un desecador, se dejó enfriar y finalmente se pesó.

Jorge A. Delgado Soto
ING. RESPONSABLE
CIP. 56757

Olkaniab Sit Company de SiO2 en la muestra de ceniza dada.

Peso de la	Peso del	Peso del	Peso del	% SiO ₂	% Si
muestra	crisol	crisol * peso	SiO_2		
		del residuo			
		(SiO ₂)			
0.500	41.820	41.869	0.049	9.80	4.58
0.500	42.827	42.876	0.049	9.80	4.58
	Result	ado		9.80	4.58

DETERMINACIÓN DEL PORCENTAJE DE ÓXIDO DE CALCIO

Adaptación de la norma MTCE 602 (Gravimetría)

Preparación de la muestra

Se triturar y pulveriza la muestra en un mortero. Se pesa en un vidrio de reloj una muestra comprendida entre 0.4 - 0.5 g y pasarla cuantitativamente a un vaso de precipitados de 50 ml.

Agregar lentamente y con mucho cuidado 20 ml de solución de HCl (1:3), con ayuda de una probeta. Calentar y agregar agua destilada y eliminar el hierro y el aluminio (que se precipitaría si no se elimina antes) agregando primero rojo de metilo (pH 6,2 - 6,9) y luego solución de amoníaco hasta cambio del indicador y filtrar por gravedad con papel de filtro, recogiendo el filtrado en un matraz aforado de 250 mL donde se ha colocado previamente 5 ml de ácido clorhídrico 1:3, lavar con agua caliente y completar a volumen con agua destilada.

Precipitación

Tomar una alícuota de 50 ml (medidos con un matraz aforado de 50 mL) del filtrado anterior y colocarla en un vaso de precipitados de 250 ml, calentar y agregar lentamente con la bureta 20 mL de oxalato de amonio al 5% p/v, si la solución tiene color rojo se agrega agitando continuamente amoníaco concentrado, gota a gota hasta que el color rojo cambie a amarillo (evitar el exceso para evitar la precipitación del magnesio). Dejar en reposo 30 minutos. Después comprobar que la precipitación ha sido completada agregando una gota de solución al 5% p/v de oxalato de amonio por las paredes del vaso, si se forma más precipitado se debe agregar más oxalato de amonio al 5% p/v.





Psje. San Pedro N°113 - Morro Solar Alto - Jaén Cel. 970911920 jads14@hotmail.com Filtrar por gravedad el precipitado formado en papel de filtro, lavar primero con agua destilada y luego con aprox. 30 mL con una solución de oxalato de amonio al 0,1% p/v para evitar la peptización, y despreciar el filtrado (ver sección 8 disposición final de los residuos).

Calcinación

Mientras se va filtrando, lavar y secar un crisol de porcelana, luego marcarlo, colocarlo en la mufla a 1000°C durante media hora, dejarlo enfriar en un desecador y pesarlo. Una vez finalizada la filtración, sacar el papel de filtro del embudo, doblar los extremos para cubrir el precipitado y colocarlo en el crisol de porcelana (previamente marcado y pesado), calentar el crisol hasta carbonizar el papel, evitando formación de llama. Tener cerca la tapa del crisol por si fuera necesario su uso.

Después de carbonizar el papel de filtro, colocar el crisol en la mufla y calcinar a 900 oC durante una hora, esperar a que la temperatura baje hasta 200 °C, sacar el crisol y colocarlo en un desecador, dejarlo enfriar e inmediatamente pesarlo.

Calcular el porcentaje de CaO a partir de la muestra original

Peso de la	Peso del	Peso del crisol	Peso del	% CaO
muestra	crisol	+ peso del	CaO	
		residuo (CaO)		
0.500	41.820	41.930	0.11	22.00
0.500	42.827	42.947	0.12	24.00
	Result	ado		23.00

DETERMINACIÓN DE CARBONATO DE SODIO POR NEUTRALIZACIÓN ÁCIDA

Adaptación método de la Universidad Nacional Agraria La Molina Perú

En el laboratorio se puede encontrar la cantidad de calcáreo total de la ceniza, en base a la cantidad de ácido clorhídrico utilizado (HCl). El CO2 generado puede ser calculado en base a la cantidad de HCl gastado de acuerdo a la siguiente reacción.

 $CaCO_3 + 2HC1 \rightarrow CaCl_2 + CO_2 + H_2O$

Jorge A. Delgado Soto

ING. RESPONSABLE
CIP. 56757

DIKOSIDA

Psje. San Pedro N°113 - Morro Solar Alto - Jaén Cel. 970911920 ☑ jads14@hotmail.com $H_2CO_3 \rightarrow H_2O + CO_2$

El exceso de HCl adicionado es titulado con NaOH, ajustando a la siguiente reacción: HCl + NaOH → NaCl + H₂O.

Reactivos

OKOSIO

Ácido clorhídrico 0.5 N: 42.50mL de ácido clorhídrico Q.P. al 37% y densidad 1.18 g/cm3.

Aforar a 1L

Hidróxido de sodio 0.5 N: 20 gramos de NaOH diluidos en agua destilada y aforados a 1L

Indicador: Es el resultado de mezclar

100 mL de Fenolftaleina : 1 gramo en 100 mL de etanol al 95%

60 mL de rojo de metilo : 0.1 g de rojo de metilo en 100 mL de alcohol.

40 mL de verde bromocresol: 0.04 gramos de verde bromocresol en 80 mL de agua y 5.7

mL de NaOH 0.01N (0.004 gramos de NaOH en 10 mL)

Procedimiento

- 1.-En un erlenmeyer de 250 mL. colocar 1 g de suelo ó 1 ml de suelo si se va trabajar en volumen
- 2.-Adicionar 25 ml de HCl 0.5 N. Agitar. Adicionar agua destilada (25 50 ml).
- 3.-Calentar en forma lenta hasta casi ebullición.
- 4.-Enfriar, Adicionar 0.5 ml del indicador.
- 5.-Titular con NaOH 0.5 N hasta el cambio de color.
- 6.- Llevar en forma paralela un blanco o testigo.

Cálculos

N = normalidad de NaOH

Vb = mI. de NaOH adicionado al blanco

Vg = mI. de NaOH adicionado a la muestra de suelo

1 me (miliequivalente) de CaCO3= 50 mg de CaCO3

(Vb -Vg) N x 50 = mg. de CaCO3 presente en 1 g de suelo o 1 mL. de suelo.

% de CaCO₃= 5xNcorregido (Vb – Vg)

Resultados

Jorge A. Delgado Soto
ING. RESPONSABLE
CIP. 56757





DIK

AND DESCRIPTION OF THE PERSON NAMED IN COLUMN 1					
Peso de	Normalidad	Volumen	Volumen	Volumen	%CaCO ₃
la	de NaOH	gastado	gastado	gastado	
muestra	corregido	(blanco)	(NaOH)	ml	
		Ml	ml		
1.000	0.4	1.9	23.6	21.7	43.4
1.000	0.4	2.1	23.6	21.5	43.0
	P	romedio			43.2

DETERMINACIÓN DE ÓXIDO FÉRRICO (Método fotocolorimétrico).

Se pesó en una luna de reloj una muestra de 0.5 gramos previamente triturada y pulverizada. Luego se pasó la muestra cuantitativamente a un vaso de precipitados de 100 ml, agregar lentamente y con mucho cuidado aproximadamente 20 ml de ácido clorhídrico (HCl) en relación 1:1; medidos con una probeta y evaporar lentamente hasta sequedad.

Filtración

Al residuo seco se le adicionó entre 1 y 1,5 ml de HCl concentrado y luego 30 ml de agua destilada, se agitó y desprender todo el sólido del vaso, si es necesario adicionar más agua destilada, dejar en reposo 5 minutos y filtrar por gravedad con papel de filtro, con agua caliente hasta que en el filtrado no se obtenga presencia de cloruros, probar con nitrato de plata.

Finalmente se tiene una solución de 115 ml. aproximadamente, de allí se toma un alícuota de 10 ml, y se la determina en el fotocolorímetro Hach DR 900 el resultado es 1.47 mg/L

Cálculos:

$$\frac{1.47 \, mgFe^{+2}}{10 \, ml} x115ml = 16.675 \, mgFe^{+2}$$

Ese peso esta en 0.5 gramos:





$$\frac{16.675 \, m_0 \, Fe^{+2}}{0.5 \, g} x \frac{1000 g}{kg} = 33,350 \, ppm$$

Convirtiendo a porcentajes

$$33,350 \ ppmx \frac{1\%}{10,000 \ ppm} = 3.33\% \ Fe^{+2}$$

Los cálculos se basan en la relación estequiométrica entre el analito (Fe⁺²) y la forma pesada (Fe₂O₃):

2 Fe \rightarrow Fe₂O₃. De acuerdo al factor gravimétrico, se obtiene el resultado

$$\%Fe_2O_3 = 33,335.0 \ mgFe^{+2}x \frac{1milimolFe^{+2}}{55.845mgFe^{+2}}x \frac{1milimol \ Fe_2O_3}{2milimolFe^{+2}}x \frac{159.69mgFe_2O_3}{1milinolFe_2O_3} = 47,611.0mgFe_2O_3$$

 $%Fe_2O_3 = 4.76\%$

Jorge A. Delgado Soto
ING. RESPONSABLE
CIP. 56757



ANEXO N° 02 ENSAYOS FÍSICOS DE LOS AGREGADOS







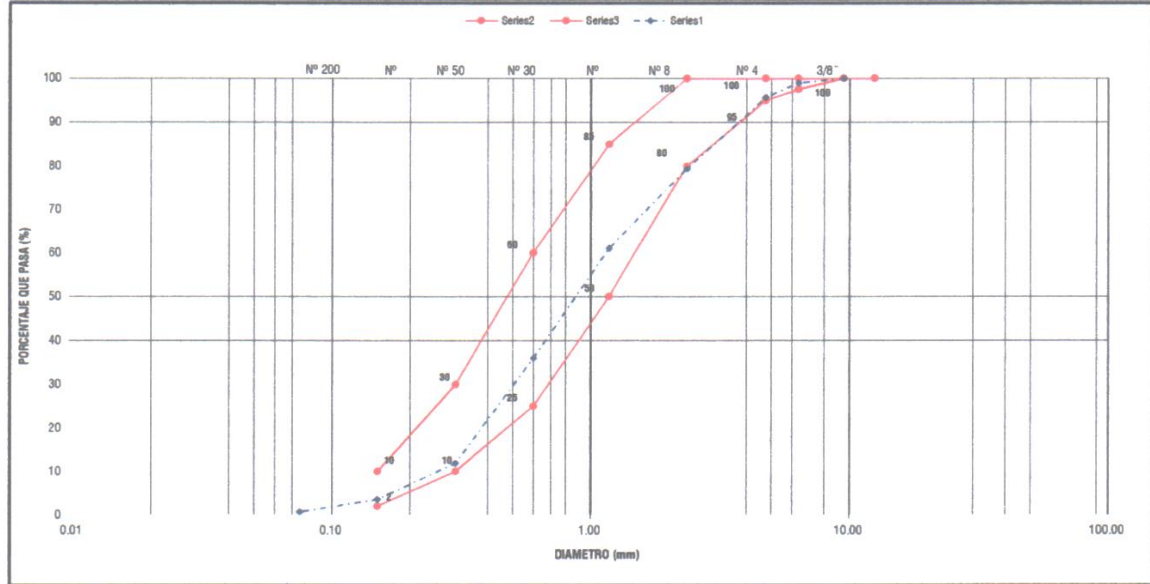
FORMATO DE CONTROL DE CALIDAD

	DATOS DE LA TESIS	DATOS	DEL PERSONAL
TESIS	FLUENCIA DE LA ADICIÓN DE CENIZA DE CASCARILLA DE CAFÉ EN LA TRABAJABILIDA Y RESISTENCIA A COMPRESIÓN DEL CONCRETO	RESPONSABLE DE	n to avisonme surve
SOLICITANTES:	Marisol, DÍAZ VARGAS		Erlita VÁSQUEZ CAYAO
SOLICITAIVIES.	Josmar Harold, FERNÁNDEZ PÉREZ	LABORATORIO	
UBICACIÓN :	DISTRITO:JAÉN-PROVINCIA:JAÉN-REGIÓN:CAJAMARCA	FECHA :	03 junio del 2019
CANTEDA .	"IOSECTIO" MATERIAL ACPECADO FINO		00 james 000 2017

ANALISIS GRANULOMETRICO DE AGREGADOS GRUESOS Y FINOS

NTP 400.012

		TAMIZ	P.RET	PORCENT	PORCENTAJE	% QUE	ESPECIFICACION	CONTENIDO D	E HUMEDAD (%) NTP 3	39.185
		AMIL	r.mer	FONCENT	FORGERTAGE	70 GOE	NTP 400.037	TEMPERATURA	AMBIENTE	110° C
	No	ABERTURA(mm)	PARCIAL	RET. PARCIAL	RET. ACUM	PASA	% QUE PASA	DE SECADO	AWDIENTE	110-0
	3"	75.00	0.0	0.00	0.0	100.0		PESO TOTAL MUESTRA HUMEDA (1)	1000.00
*	2 1/2	63.00	0.0	0.00	0.0	100.00		PESO TOTAL MUESTRA SECA (gr)		954.50
l defini	2ª	50.80	0.0	0.00	0.0	100.00		CONTENIDO DE HUMEDAD (%)		4.77
FRACCION GRUESA	1 1/4"	37.50	0.0	0.00	0.0	100.00	-	MATERIAL FIN	O QUE PASA EL TAMIZ	N° 200
Ē	1"	25.40	0.0	0.00	0.0	100.00	-		NTP 339.132	
	3/4"	19.00	0.0	0.00	0.0	100.00		PESO INICIAL SECO (gr)		954.50
	1/2*	12.50	0.0	0.00	0.0	100.00	•	PESO FINAL SECO, DESPUES DE LA	VADO (gr)	912.62
	3/8"	9.50	0.0	0.00	0.0	100.00	100	MATERIAL FINO QUE PASA EL TAMI	Z № 200 (%)	4.39
	1/4"	6.35	10.08	1.06	1.1	98.94	-	CARA	ACTERISTICA FISICA	
	Nº 4	4.75	31.05	3.25	4.3	95.69	95-100	DE	L AGREGADO FINO	
	No 8	2.36	155.81	16.32	20.6	79.37	80-100			
	Nº 16	1.18	174.87	18.32	39.0	61.05	50-85			
PINA	No 30	0.60	238.43	24.98	63.9	36.07	25-60			
FACCION FINA	Nº 50	0.30	230.86	24.19	88.1	11.88	10-30	MODULO DE FINURA (Mf)		3.12
FIAC	Nº 100	0.15	79.82	8.36	96.5	3.52	2-10			3.12
	Nº 200	0.075	26.70	2.80	99.3	0.72	-			
	CAZOLETA		6.88	0.72	100.0	0.00				
	1	OTAL	954.50							



BSERVACIONE LA CURVA GRANULOMETRICA DEL AGREGADO FINO CUMPLE CON EL HUSO GRANULOMETRICO, DE LA NORMA NORMA N.T.P. 400.37 Y TIENE UN MODULO DE FINURA DE 3.12









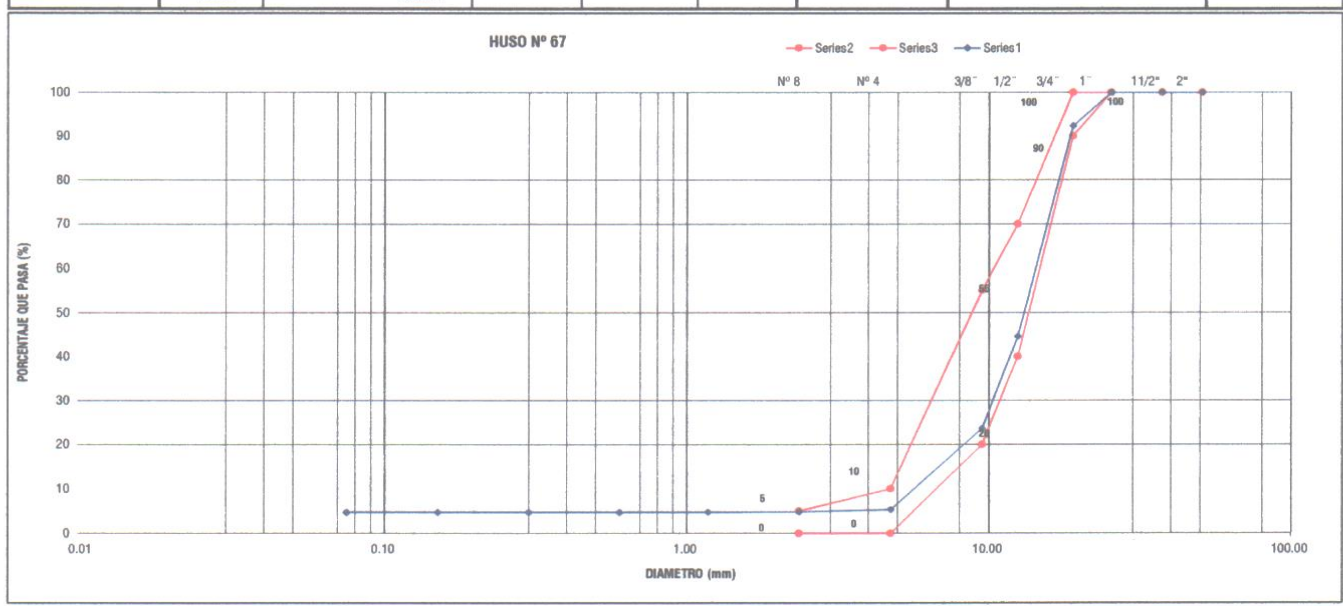
FORMATO DE CONTROL DE CALIDAD

		DATO	S DEL PERSONAL			
TESIS :			VIZA DE CASCARILLA DE CAFÉ EN LA TRABAJABILIDAD A A COMPRESIÓN DEL CONCRETO	RESPONSABLE DE	Erlita VÁSQUEZ CAYAO	
SOLICITANTES:	Marisol, DÍAZ VARGAS				**************************************	
SOLICITANTES:	Josmar Harold, FERNÁNDEZ PÉI	REZ		LABORATORIO		
UBICACIÓN :	DISTRITO:JAÉN-PROVINCIA:JA	FECHA :				
CANTERA :	NTERA : "ARENERA JAÉN" MATERIAL AGREGADO GRUESO				03 junio del 2019	

ANALISIS GRANULOMETRICO DE AGREGADOS GRUESOS Y FINOS

NTP 400.012

		AMIZ	PESO	PORCENTAJE	PORCENTAJE	PORCENTAJE	ESPECIFICACION	CONTENIDO	DE HUMEDAD (%) NT	P 339.185
	17	NMIZ.	RETENIDO	RETENIDO	RETENIDO	QUE	HUSO 67	TEMPERATURA	AMBIENTE	110° C
	No	ABERTURA	PARCIAL	PARCIAL	ACUMULADO	PASA	PORCENTAJE	DE SECADO	AMBIENTE	110-0
		(mm)	(gr)	(%)	(%)	(%)	QUE PASA	PESO TOTAL MUESTRA HUMEDA	(gr)	5000.00
ESA	3"	75.00	0.0	0.00	0.0	100.0	-	PESO TOTAL MUESTRA SECA (gr)) ::	4928.70
UR OF THE PERSON NAMED IN COLUMN TO PERSON N	2 1/2	63.00	0.0	0.00	0.0	100.00	-	CONTENIDO DE HUMEDAD (%)		1.45
FRACCION GRUESA	2"	50.80	0.0	0.00	0.0	100.00	-	MATERIAL F	FINO QUE PASA EL TAR	NIZ Nº 200
Æ	1 1/4"	37.50	0.0	0.00	0.0	100.00	-	1	NTP 339.132	
	1*	25.40	0.0	0.00	0.0	100.00	100	PESO INICIAL SECO (gr)		4928.70
	3/4"	19.00	378.0	7.67	7.7	92.33	90 - 100	PESO FINAL SECO, DESPUES DE LAVADO (gr) MATERIAL FINO QUE PASA EL TAMIZ № 200 (%)		4883.70
	1/2 ⁿ	12.50	2351.2	47.70	55.4	44.63	-			0.91
	3/8"	9.50	1033.8	20.98	76.3	23.65	20 - 55	CA	RACTERISTICAS FISIC	A
	Nº 4	4.75	900.8	18.28	94.6	5.37	0 - 10	DE	EL AGREGADO GRUESO)
	No 8	2.36	25.6	0.52	95.1	4.86	0 - 5			
	Nº 16	1.18	2.7	0.05	95.2	4.80	*	7		
FINA	Na 30	0.60	1.6	0.03	95.2	4.77	-			
FRACCION FINA	Nº 50	0.30	0.0	0.00	95.2	4.77	-	MODULO DE FIN	LIDA (Ma)	6.55
FIA	N° 100	0.15	0.0	0.00	95.2	4.77	-] WOODLO DE FIN	unn (my)	0.33
	Nº 200	0.075	0.0	0.00	95.2	4.77	-			
	CAZOLETA		235.00	4.77	100.0	0.00		1		
	TOTAL		4928.70					7		



OBSERVACIONES: LA CURVA GRANULOMETRICA DEL AGREGADO GRUESO ESTA CERCA DEL LIMITE INFERIOR DEL HUSO GRANULOMETRICO Nº 67, DE LA NORMA N.T.P. 4
Y TIENE UN MODULO DE FINURA DE 6.55



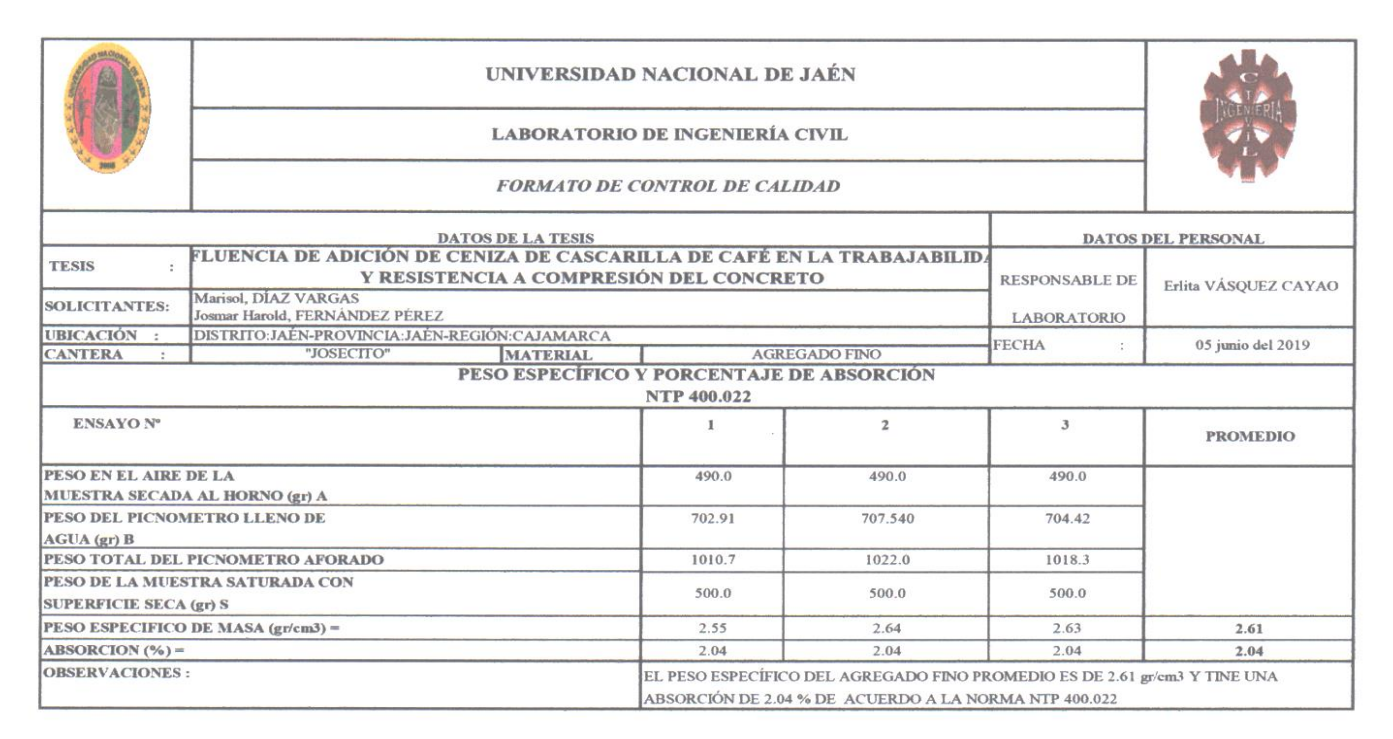


LABORATORIO DE INGENIERÍA CIVIL



	DATO	S DE LA TESIS			DATOS	DEL PERSONAL
TESIS	INFLUENCIA DE LA ADICIÓN DE CI Y RESISTENC	RESPONSABLE DE	Erlita VÁSQUEZ CAYAO			
SOLICITANTE	S Marisol, DÍAZ VARGAS Josmar Harold, FERNÁNDEZ PÉREZ				LABORATORIO	
UBICACIÓN :	DISTRITO: JAÉN-PROVINCIA: JAÉN-REGI	IÓN:CAJAMARCA			FECHA :	05 junio del 2019
CANTERA	"ARENERA JAÉN"	MATERIAL	AGREGA	ADO GRUESO	TECHA .	05 Junio dei 2019
	PESO ES	SPECÍFICO Y PORCI	ENTAJE DE ABS	ORCION (NTP 40	00.021)	
PESO EN EL AI SECADA AL HO	IRE DE LA MUESTRA		4445.00	4448.00	4445.00	PROMEDIO
	IRE DE LA MUESTRA ON SUPERFICIE SECA (gr) B		4500.70	4500.60	4500.50	
PESO SUMERO SATURADA (gr	GIDO EN AGUA DE LA MUESTRA c) C		2833.70	2836.40	2831.10	
PESO ESPECIF	TCO DE MASA (gr/cm3)		2.67	2.67	2.66	2.67
ABSORCION (9	%)		1.25	1.18	1.25	1.23
OBSERVACION	NES:				DO GRUESO PROMEDIO O A LA NORMA NTP 400	DES DE 2.67 gr/cm3 Y TINE 0.021









LABORATORIO DE INGENIERÍA CIVIL



						-
		DATOS DE LA TESIS			DAT	OS DEL PERSONAL
TESIS :	INFLUENCIA DE LA ADIC	ILIDAD	RESPONSABLE DE	Erlita VÁSQUEZ CAYAO		
SOLICITANTES:	Marisol, DÍAZ VARGAS Josmar Harold, FERNÁNDEZ PÉREZ				LABORATORIO	
UBICACIÓN :	DISTRITO: JAÉN-PROVINCIA: JAÉN-I	REGIÓN:CAJAMARCA				
CANTERA :	"JOSECITO"		FECHA :	07 junio del 2019		
ENSAYO Nº			NTP 400.017	1	2	3
Peso del recipiente (u.)			4190.00	4190	4190.00
Peso del recipiente +	material (gr.)			8693.00	8707	8720.00
Peso del material (gr				4503.00	4517	4530.00
Factor (f)				0.353	0.353	0.353
Peso Unitario Seco S	uelto (Kg/m3)			1591	1596	1600
P. UNITARIO S. SI	JELTO PROMEDIO =				1596	Kg/m3
OBSERVACIONES:					ARIO SUELTO PROMEI m3 DE ACUERDO A LA	DIO DEL AGREGADO FINO NORMA NTP 400.017



		UNIVERSIDAD	NACIONAL DE JAÉN				
		LABORATORIO	DE INGENIERÍA CIVIL			NO ENTERNA	
		FORMATO DE O	CONTROL DE CALIDAD			dia.	
	D.	ATOS DE LA TESIS			DATOS	DEL PERSONAL	
TESIS :	Y RES	N DE CENIZA DE CASCAR SISTENCIA A COMPRESIÓ	ILLA DE CAFÉ EN LA TRABAJ N DEL CONCRETO	ABILIDAD	RESPONSABLE DE	Erlita VÁSQUEZ CAYAO	
SOLICITANTES:	Marisol, DÍAZ VARGAS Josmar Harold, FERNANDEZ PÉREZ		LABORATORIO	Enita VASQUEZ CATAO			
UBICACIÓN :	DISTRITO: JAÉN-PROVINCIA: JAÉN-REC	GIÓN:CAJAMARCA				07 junio del 2019	
CANTERA :	"JOSECITO"	MATERIAL :	AGREGADO FIN		FECHA :	07 Junio dei 2019	
		PESO UNITARIO C	OMPACTADO DEL AGREG NTP 400.017	ADO FINO			
ENSAYO Nº				1	2	3	
Peso del recipiente (gr.)			4190.00	4190.00	4190.00	
Peso del recipiente +	material (gr.)			9064.00	9088.00	9075.00	
Peso del material (gr				4874.00	4898.00	4885.00	
Factor (f)				0.353	0.353	0.353	
Peso Unitario Seco (Compactado (Kg/m3)			1722	1731	1726	
	OMPACTADO PROMEDIO =					Kg/m ³	
OBSERVACIONES	S:			EL PESO UNIT		MEDIO DEL AGREGADO FIN	
					m3 DE ACUERDO A LA NO		





LABORATORIO DE INGENIERÍA CIVIL



	484							
		D	ATOS DE LA TESIS			DATOS	DATOS DEL PERSONAL	
TESIS	:	INFLUENCIA DE LA ADICIÓN Y RESI	AJABILIDAD	RESPONSABLE DE	E-E- VÁSOUEZ CAVAO			
SOLICITANTE	5 :	Marisol, DÍAZ VARGAS Josmar Harold, FERNÁNDEZ PÉREZ	LABORATORIO	Erlita VÁSQUEZ CAYAO				
UBICACIÓN	:	DISTRITO:JAÉN-PROVINCIA:JAÉN-REC	GIÓN:CAJAMARCA				07 junio del 2019	
CANTERA	: "ARENERA JAÉN" MATERIAL : AGREGADO GRUESO					FECHA :	07 juillo del 2019	
			PESO UNITARIO SU	ELTO DEL AGREGAI	DO GRUESO			
				NTP 400.017				
	ENS	AYO №			1	2	3	
Peso del recipiente	(gr.)				6681.00	6681.00	6681.00	
Peso del recipiente	+ ma	sterial (gr.)			25408.00	25666.00	25543.00	
Peso del material (gr.)				18727.00	18985.00	18862.00	
Factor (f)						0.0741	0.0741	
Peso Unitario Seco	Suel	to (Kg/m3)			1388	1407	1398	
P. UNITARIO S. S	UELT	O PROMEDIO =				1398	Kg/m ³	
OBSERVACIO	NES	:			EL PESO UNITARIO SUELTO PROMEDIO DEL AGREGADO GRUESO			
				E				





UNIVERSIDAD NACIONAL DE JAÉN



LABORATORIO DE INGENIERÍA CIVIL

	101				
	DATOS DE LA TESIS		DATO	S DEL PERSONAL	
TESIS :	INFLUENCIA DE LA ADICIÓN DE CENIZA DE CASCARI Y RESISTENCIA A COMPRESIÓN		RESPONSABLE DE	Erlita VÁSOUEZ CAYAO	
SOLICITANTES:	Marisol, DÍAZ VARGAS Josmar Harold, FERNÁNDEZ PÉREZ	LABORATORIO	Lilia VASQUEZ CATA		
UBICACIÓN :	DISTRITO:JAÉN-PROVINCIA:JAÉN-REGIÓN:CAJAMARCA		07 junio del 2019		
CANTERA :	"ARENERA JAÉN" MATERIAL :	AGREGADO GRUESO	FECHA :		
	PESO UNITARIO COM	IPACTADO DEL AGREGADO GRUE	SO		
		NTP 400.017			
ENSAYO Nº		1	2	3	
eso del recipient	te (gr.)	6681.00	6681.00	6681.00	
eso del recipient	te + material (gr.)	27526.00	27627.00	27567.00	
eso del material	(gr.)	20845.00	20946.00	20886.00	
factor (f)		0.0741	0.0741		
Peso Unitario Sec	co Compactado (Kg/m3)	1552	1548		
. UNITARIO S.	. COMPACTADO PROMEDIO =		1548	Kg/m ³	
OBSERVACIONES	S:	EL PESO UNITA	RIO COMPACTADO PROM	EDIO DEL AGREGADO GRUI	
		ES DE 1548 kg/r	n3 DE ACUERDO A LA NOR	MA NTP 400.017	







LABORATORIO DE INGENIERÍA CIVIL

		DATOS DE LA TE				DATOS	DEL PERSONAL
TESIS :			ASCARILLA DE CAF IPRESIÓN DEL CONC		JABILIDAD	RESPONSABLE DE	Erlita VÁSQUEZ CAYAO
SOLICITANTES:	Marisol, DÍAZ VARGAS Josmar Harold, FERNÁNDEZ PÉRE			LABORATORIO			
UBICACIÓN :	DISTRITO:JAÉN-PROVINCIA:JAÉ	FECHA :	12 -116 : 1-12010				
ENSAYOS :	"CUATRO"		MATERIAL :	MEZCLA DE	CONCRETO	FECHA :	12 al 16 junio del 2019
MUESTRA	%CCC	SLUMP (pulg)	TEMPERAT	URA (°C)	CONTENII	OO DE AIRE (%)	PESO UNITARIO (gr/cm3)
M - 1	0%	4.50	27.50	0		1.50	2.479
M - 2	0%	4.00	27.40	0		1.20	2.448
M - 3	0%	4.00	27.60)	0.	1.40	2.457
M - 4	0%	4.50	27.30)	1.30		2.468
M - 1	1%	3.25	27.70)	1.60		2.443
M - 2	1%	3.25	27.30)	1.30		2.441
M - 3	1%	3.00	27.50)		1.40	2.442
M - 4	1%	3.50	27.50)		1.50	2.442
M - 1	2%	3.25	27.60)		1.50	2.440
M - 2	2%	3.00	27.50)		1.60	2.436
M - 3	2%	3.00	27.70)		1.50	2.442
M - 4	2%	2.75	27.40			1.60	2.443
M - 1	4%	2.50	27.50)		1.80	2.434
M - 2	4%	3.00	27.70)	1.80		2.422
M - 3	4%	2.75	27.40)	1.70		2.425
M - 4	4%	2.75	27.80		1.90		2.425
M - 1	8%	1.00	27.9		2.00		2.390
M - 2	8%	1.50	27.8		2.2		2.388
M - 3	8%	1.25	27.80)		2.10	2.389
M - 4	8%	1.25	27.90)		2.10	2388



CEMENTOS PACASMAYO S.A.A.

Calle La Colonia Nro.150 Urb. El Vivero de Monterico Santiago de Surco - Lima Carretera Panamericana Norte Km. 666 Pacasmayo - La Libertad Teléfono 317 - 6000



G-CC-F-04 Versión 03

Cemento Portland Tipo I

Conforme a la NTP 334.009 / ASTM C150 Pacasmayo, 20 de Setiembre del 2017

COMPOSICIÓN	QUÍMICA	CPSAA	Requisito NTP 334.009 / ASTM C150
MgO SO3	%	2.3	Máximo 6.0
SO3	%	2.7	Máximo 3.0
Pérdida por Ignición	%	3.0	Máximo 3.5
Residuo Insoluble	%	0.92	Máximo 1.5

PROPIEDADES FISIC	AS	CPSAA	Requisito NTP 334.009 / ASTM C150
Contenido de Aire	%	7	Máximo 12
Expansión en Autoclave	%	0.09	Máximo 0.80
Superficie Específica	cm2/g	3750	Mínimo 2800
Densidad	g/mL	3.10	NO ESPECIFICA
Resistencia Compresión a 3días Resistencia Compresión a 7días	MPa (Kg/cm2) MPa (Kg/cm2)	26.1 (266) 33.9 (346)	Minimo 12.0 (Minimo 122) Minimo 19.0 (Minimo 194)
Resistencia Compresión a 28días (*)	MPa (Kg/cm2)	42.3 (431)	Minimo 28.0 (Minimo 286)
Tiempo de Fraguado Vicat :			
Fraguado Inicial	min	138	Minimo 45
Fraguado Final	min	267	Máximo 375

Los resultados arriba mostrados, corresponden al promedio del cemento despachado durante el periodo del 01-08-2017 al 31-08-2017. La resistencia a la compresión a 28 días corresponde al mes de Julio 2017. (*) Requisito opcional.

Ing. Gabriel G. Mansilla Fiestas

Superintendente de Control de Calidad

Solicitado por :

Distribuidora Norte Pacasmayo S.R.L.

Está totalmente prohibida la reproducción total o parcial de este documento sin la autorización de Cementos Pacasmayo S.A.A.

ANEXO N° 03 ESAYOS EN CONCRETO FRESCO Y ENDURECIDO

GEOCON VIAL - INGENIEROS CONSULTORES E.I.R.L.

Calle. Capitán Juan Porcel № 108 — Juán — Cajamarca.

R.U. C. 204956449.7 Telef. 076 431132. Cel. 978-882 (27. Email.: geocomissió internal com. geocomissió amasí. com.

PROVECTOS DE INGENIERIA, SUPERVISION DE CONTROL DE CALIDAD, ESTUDIOS GEOTECNICOS, ESTUDIOS DE MECANICA DE SUELOS,

TECNOLOGIA DEL CONCRETO, TECNOLOGIA DEL ASFALTO, DISSIÓN DE PAVIMENTOS. ALCUILER DE EGUIPOS DE LABORATORIO Y

VENTA DE ADITIVOS QUIMICOS PARA LA CONSTRUCCION.

GEOCOVAL REGISTRADE ELIAL ELIAL		GEOCON VIAL - INGENIEROS CONSULTORES E.I.R.L.		DE GESTION Y OL DE CALIDAD	
		FORMATOS DE CONTROL DE CALIDAD	SECTOR:	LABORATORIO	
		QCF-TC-01	CODIGO:	01-17-TC-RC-001	
		DATOS DEL PROYECTO	DATO	S DEL PERSONAL	
ESIS : INFLUENCIA DE LA ADICIÓN DE CENIZA DE CASCARILLA DE CAFÉ EN LA TRABAJABILIDAD Y RESISTENCIA A COMPRESIÓN DEL CONCRETO		GERENTE GENERAL :	ING. RAFAEL QUIROZ CH.		
BICACIÓN	DISTRITO: JAÉN, PROVINCIA: JAÉN, REGIÓN: CAJAMARCA.			ING. LUIS QUIROZ CHIHUAN.	
BOLICITANTE :	Bach. JOSMAR HAROLD FERNÁNDEZ	TECNICO DE LAB :	MARCO CHUQUIHUANGA		

STANDARD TEST METHOD FOR COMPRESSIVE STRENGTH OF CYLINDRICAL CONCRETE SPECIMENS METODO DE ENSAYO PARA EL ESFUERZO A LA COMPRESION DE MUESTRAS CILINDRICAS DE CONCRETO A.S.T.M. C 39

PROBETA N °	Fecha Fabricación	Fecha Rotura	Edad (días)	IDENTIFICACION	Carga Rotura KN.	f'c kg/cm²	Diametro cm	Resistencia Máxima kg./cm²	Resistencia Promedio kg./cm²	Porcentaje f'c
1	13-jun	20-jun	7	Muestra patron	188.25		10.19	235.38		
2	13-jun	20-jun	7	Muestra patron	193.36		10.18	242.25		
3	13-jun	20-jun	7	Muestra patron	195.96		10.30	239.82		
4	13-jun	20-jun	7	Muestra patron	192.67		10.25	238.10		
5	13-jun	20-jun	7	Muestra patron	198.47	280.00	10.26	244.79	241.56	86.27%
6	13-jun	20-jun	7	Muestra patron	197.58	200.00	10.26	243.69		OUILY IS
7	13-jun	20-jun	7	Muestra patron	194.95		10.28	239.51		
8	13-jun	20-jun	7	Muestra patron	202.19		10.28	248.41		
9	13-jun	20-jun	7	Muestra patron	201.88		10.20	251.93		
10	13-jun	20-jun	7	Muestra patron	186.43		10.22	231.74		
11	19-jun	26-jun	7	Concreto con 1 % de adición	218.87		10.28	268.90		
12	19-jun	26-jun	7	Concreto con 1 % de adición	216.70		10.25	267.79		
13	19-jun	26-jun	7	Concreto con 1 % de adición	202.61		10.26	249.89	282.04	
14	19-jun	26-jun	7	Concreto con 1 % de adición	208.44		10.27	256.58		
15	19-jun	26-jun	7	Concreto con 1 % de adición	223.75	280.00	10.30	273.83		93.59%
16	19-jun	26-jun	7	Concreto con 1 % de adición	208.14	280.00	10.28	255.72		
17	19-jun	26-jun	7	Concreto con 1 % de adición	206.36		10.26	254.52		
18	19-jun	26-jun	7	Concreto con 1 % de adición	217.19		10.27	267.36		
19	19-jun	26-jun	7	Concreto con 1 % de adición	209.37		10.25	258.74		
20	19-jun	26-jun	7	Concreto con 1 % de adición	215.73		10.24	267.12		
21	15-jun	22-jun	7	Concreto con 2 % de adición	191.92		10.24	237.63		
22	15-jun	22-jun	7	Concreto con 2 % de adición	201.38		10.23	249.84		
23	15-jun	22-jun	7	Concreto con 2 % de adición	198.24		10.22	246.42		
24	15-jun	22-jun	7	Concreto con 2 % de adición	193.58		10.20	241.57		
25	15-jun	22-jun	7	Concreto con 2 % de adición	185.85	280.00	10.25	229.67	241.89	86.39%
26	15-jun	22-jun	7	Concreto con 2 % de adición	193.35	280.00	10.27	238.01	241.89	00.39%
27	15-jun	22-jun	7	Concreto con 2 % de adición	201.53		10.22	250.51		
28	15-jun	22-jun	7	Concreto con 2 % de adición	182.36		10.20	227.57	15	
29	15-jun	22-jun	7	Concreto con 2 % de adición	198.68		10.23	246.49		
30	15-jun	22-jun	7	Concreto con 2 % de adición	203.25		10.25	251.17	1	

Prohibida su Reproducción Total o Parcial (INDECOPI). Derechos Reservados RQ - GEOCON VIAL - INGENIEROS CONSULTORES E.I.R.L.

Tec. Laboratoria

LUIS RAFAEL QUIROZ CHIHUÁN INGENIERO CIVIL INGENIERO CIVIL
Especialista en Mecánica de Suelos.
Tecnologie dal Concreto, Tecnologia del
Astalto, Geotécnia y Pavimentos

GEOCON VIAL - INGENIEROS CONSULTORES E.I.R.L.

Celle Capital June Perol Nº 108 - Jain - Caliphareza.

R.U.C. 20495954847. Telet. 078 4.1132. Cpt. 978-882177. Email: _eeconvisionormal.com. _econvisionormal.com. _econvisionor

GEOCONYAL RASSESSOR CHROCK THES CHALL		GEOCON VIAL - INGENIEROS CONSULTORES E.I.R.L.		A DE GESTION Y OL DE CALIDAD		
		FORMATOS DE CONTROL DE CALIDAD SECTOR : LABORA		LABORATORIO		
		QCF-TC-01	CODIGO:	01-17-TC-RC-001		
		DATOS DEL PROYECTO	DATO	DATOS DEL PERSONAL		
TESIS :	EBIS : INFLUENCIA DE LA ADICIÓN DE CENIZA DE CASCARILLA DE CAFÉ EN LA TRABAJABILIDAD Y RESISTENCIA A COMPRESIÓN DEL CONCRETO			ING. RAFAEL QUIROZ CH.		
UBICACIÓN	DISTRITO: JAÉN, PROVINCIA: JAÉN, REGIÓN: CAJAMARCA.			ING. LUIS QUIROZ CHIHUAN.		
SOLICITANTE :	Bach. JOSMAR HAROLD FERNÁNDE	TECNICO DE LAB :	MARCO CHUQUIHUANGA			

STANDARD TEST METHOD FOR COMPRESSIVE STRENGTH OF CYLINDRICAL CONCRETE SPECIMENS METODO DE ENSAYO PARA EL ESFUERZO A LA COMPRESION DE MUESTRAS CILINDRICAS DE CONCRETO A.S.T.M. C 39

PROBETA N °	Fecha Fabricación	Fecha Rotura	Edad (días)	IDENTIFICACION	Carga Rotura KN.	f'c kg/cm²	Diametro cm	Resistencia Máxima kg./cm²	Resistencia Promedio kg./cm²	Porcentaje f'c
1	17-jun	24-jun	7	Concreto con 4 % de adición	178.58		10.25	220.69		
2	17-jun	24-jun	7	Concreto con 4 % de adición	174.11		10.20	217.28		
3	17-jun	24-jun	7	Concreto con 4 % de adición	159.11		10.20	198.56		
4	17-jun	24-jun	7	Concreto con 4 % de adición	172.37		10.22	214.26		
5	17-jun	24-jun	7	Concreto con 4 % de adición	182.82	280.00	10.25	225.93	217.50	77.68%
6	17-jun	24-jun	7	Concreto con 4 % de adición	169.94		10.20	212.07	217.50	77.00%
7	17-jun	24-jun	7	Concreto con 4 % de adición	177.28		10.25	219.08		
8	17-jun	24-jun	7	Concreto con 4 % de adición	176.32		10.20	220.03		
9	17-jun	24-jun	7	Concreto con 4 % de adición	185.69		10.20	231.73		
10	17-jun	24-jun	7	Concreto con 4 % de adición	172.62		10.20	215.42		
11	18-jun	25-jun	7	Concreto con 8 % de adición	133.36		10.15	168.07		
12	18-jun	25-jun	7	Concreto con 8 % de adición	135.09		10.15	170.25	165.09	58.96%
13	18-jun	25-jun	7	Concreto con 8 % de adición	134.29		10.13	169.91		
14	18-jun	25-jun	7	Concreto con 8 % de adición	130.35		10.20	162.67		
15	18-jun	25-jun	7	Concreto con 8 % de adición	129.52	280.00	10.20	161.63		
16	18-jun	25-jun	7	Concreto con 8 % de adición	137.33	200.00	10.20	171.38		
17	18-jun	25-jun	7	Concreto con 8 % de adición	131.75		10.15	166.04		
18	18-jun	25-jun	7	Concreto con 8 % de adición	126.06		10.15	158.87		
19	18-jun	25-jun	7	Concreto con 8 % de adición	133.87		10.22	166.41		
20	18-jun	25-jun	7	Concreto con 8 % de adición	126.69		10.28	155.65		
21	13-jun	27-jun	14	Muestra patron	215.48		10.21	268.38		
22	13-jun	27-jun	14	Muestra patron	238.71		10.23	296.15		
23	13-jun	27-jun	14	Muestra patron	210.61		10.28	258.75		
24	13-jun	27-jun	14	Muestra patron	223.96		10.27	275.69		
25	13-jun	27-jun	14	Muestra patron	222.22	280.00	10.28	273.02	270.89	96.75%
26	13-jun	27-jun	14	Muestra patron	224.70		10.30	274.99	270.08	90.73%
27	13-jun	27-jun	14	Muestra patron	218.20		10.28	268.08		
28	13-jun	27-jun	14	Muestra patron	211.12		10.27	259.88		
29	13-jun	27-jun	14	Muestra patron	215.17		10.32	262.31		
30	13-jun	27-jun	14	Muestra patron	220.68		10.27	271.65		

Prohibida su Reproducción Total o Parcial (INDECOPI). Derechos Reservados RQ - GEOCON VIAL - INGENIEROS CONSULTORES E.I.R.L.

LUIS RAFAEL QUIROZ CHIHUÁN INGENIERO CIVIL Especialista en Mocácio INGENIERO CIVIL
Especialista en Mecánica de Suelos,
Tecnologia del Concreto, Tecnologia del
Astatto, Geotécnia y Pavimentos
CIP: 123892

GEOCON VIAL — INGENIEROS CONSULTORES E.I.R.L.

Calle. Capitán Juan Parcel Nº 108 — Jain — Cajamarca.

8.U.C. 20499954847. Test. 078 431132. Cel. 978-892127. Email. : geocontásicontamic com. concontásicontal com.

PROVECTOS DE INGENIERIA, SUPERVISION DE CONTINCIO DE CAULDOS, ESTUDIOS GEOFICONOS, ESTUDIOS DE MECANICA DE SUELOS,

TECHOLOGIA DEL CONCRETO, TECHOLOGIA DEL ASFALTO, DISSIÑO DE PAVIMENTOS, ALCULLER DE EQUIPOS DE L'ABORATORIO Y

VENTA DE ADITIVOS QUIMICOS PARA LA CONSTRUCCION.

MOCONYAL MORNINGS CHINALTIPES ELEL		GEOCON VIAL - INGENIEROS CONSULTORES E.I.R.L.		OFICINA DE GESTION Y CONTROL DE CALIDAD SECTOR: LABORATORIO CODIGO: 01-17-TC-RC-001	
		FORMATOS DE CONTROL DE CALIDAD	SECTOR :		
		QCF-TC-01	CODIGO:		
TESIS :		DATOS DEL PROYECTO	DAT	OS DEL PERSONAL	
colo :	INFLUENCIA DE LA ADICIÓN DE CEI CONCRETO	IIZA DE CASCARILLA DE CAFÉ EN LA TRABAJABILIDAD Y RESISTENCIA A COMPRESIÓN DEL	GERENTE GENERAL :	ING. RAFAEL QUIROZ CH.	
UBICACIÓN DISTRITO: JAÉN, PROVINCIA: JAÉN		REGIÓN: CAJAMARCA.			
OLICITANTE :	Bach. JOSMAR HAROLD FERNÁNDE	Z PÉREZ, Bach. MARISOL DÍAZ VARGAS	JEFE DE CALIDAD : TECNICO DE LAB :	ING. LUIS QUIROZ CHIHUAN. MARCO CHUQUIHUANGA	

STANDARD TEST METHOD FOR COMPRESSIVE STRENGTH OF CYLINDRICAL CONCRETE SPECIMENS METODO DE ENSAYO PARA EL ESFUERZO A LA COMPRESION DE MUESTRAS CILINDRICAS DE CONCRETO A.S.T.M. C 39

PROBETA N °	Fecha Fabricación	Fecha Rotura	Edad (días)	IDENTIFICACION	Carga Rotura KN.	f'c kg/cm²	Diametro cm	Resistencia Máxima kg./cm²	Resistencia Promedio kg./cm²	Porcenta
1	19-jun	03-jul	14	Concreto con 1 % de adición	234.53		10.27	288.70		
2	19-jun	03-jul	14	Concreto con 1 % de adición	250.97		10.26	309.54		
3	19-jun	03-jul	14	Concreto con 1 % de adición	253.64		10.27	312.22		
4	19-jun	03-jul	14	Concreto con 1 % de adición	242.65		10.30	296.96		
5	19-jun	03-jul	14	Concreto con 1 % de adición	247.47	280.00	10.30	302.86		
6	19-jun	03-jul	14	Concreto con 1 % de adición	263.51	280.00	10.28	323.74	306.33	109.40%
7	19-jun	03-jul	14	Concreto con 1 % de adición	251.07		10.28	308.46		
8	19-jun	03-jul	14	Concreto con 1 % de adición	251.40		10.25	310.68		
9	19-jun	03-jul	14	Concreto con 1 % de adición	255.74		10.26	315.42		
10	19-jun	03-jul	14	Concreto con 1 % de adición	239.89		10.28	294.72		
11	15-jun	29-jun	14	Concreto con 2 % de adición	237.34		10.20	296.18		
12	15-jun	29-jun	14	Concreto con 2 % de adición	233.20		10.23	289.31		104.28%
13	15-jun	29-jun	14	Concreto con 2 % de adición	247.12		10.27	304.20		
14	15-jun	29-jun	14	Concreto con 2 % de adición	243.71		10.37	294.24		
15	15-jun	29-jun	14	Concreto con 2 % de adición	242.55		10.30	296.84	291.99	
16	15-jun	29-jun	14	Concreto con 2 % de adición	233.68	280.00	10.30	285.98		
17	15-jun	29-jun	14	Concreto con 2 % de adición	236.69		10.20	295.37		
18	15-jun	29-jun	14	Concreto con 2 % de adición	217.83		10.31	266.07		
19	15-jun	29-jun	14	Concreto con 2 % de adición	238.76		10.24	295.63		
20	15-jun	29-jun	14	Concreto con 2 % de adición	234.96		10.15	296.11		
21	17-jun	01-jul	14	Concreto con 4 % de adición	190.73		10.32	232.51		
22	17-jun	01-jul	14	Concreto con 4 % de adición	201.45		10.31	246.06		
23	17-jun	01-jul	14	Concreto con 4 % de adición	191.89		10.22	238.53		
24	17-jun	01-jul	14	Concreto con 4 % de adición	200.96		10.32	244.99		
25	17-jun	01-jul	14	Concreto con 4 % de adición	198.54	280.00	10.34	241.10		
26	17-jun	01-jul	14	Concreto con 4 % de adición	200.36		10.22	249.06	244.09	87.18%
27	17-jun	01-jui	14	Concreto con 4 % de adición	196.65		10.28	241.60		
28	17-jun	01-jul	14	Concreto con 4 % de adición	199.43		10.30	244.07		
29	17-jun	01-jul	14	Concreto con 4 % de adición	202.43		10.28	248.70		
30	17-jun	01-jul	14	Concreto con 4 % de adición	205.38		10.24	254.30		

Prohibida su Reproducción Total o Parcial (INDECOPI). Derechos Reservados RQ - GEOCON VIAL - INGENIEROS CONSULTORES E.I.R.L.

LUIS RAFAEL QUIROZ CHIHUÁN
INGENIERO CIVIL
Especialista en Mecánica de Suelos, INGENIERO CIVIL
Especialista en Mecánica de Suelos,
Tecnologie del Concreto, Tecnologia del
Asfalto, Geotécnia y Payrimentos
CIP: 123892

GEOCON VIAL — INGENIEROS CONSULTORES E.I.R.L.
Calle. Capitán Juan Porcel Nº 108 — Jain — Cajimarca.

R.U.C. 20499954847. Telet. 078 431132. Cel. 978-882127. Email: opcomissióndrimai.com. opcomissiónamai.com.
PROYECTOS DE INGENIERIA, SUPERVISION DE CONTROL DE CALIDAD, ESTUDIOS GEOTECNICOS, ESTUDIOS DE MECANICA DE SUELOS,
TECNICLOGIA DEL CONCRETO, TECNICLOGIA DEL ASFALTO, DISSIÓN DE PAVIMENTOS, ALCULLER DE EQUIPOS DE LABORATORIO Y
VENTA DE ADITIVOS QUIMICOS PARA LA CONSTRUCCION.

GEOCOVINA, GEOCOVINA, COMMITTING ETAL		GEOCON VIAL - INGENIEROS CONSULTORES E.I.R.L.		DE GESTION Y DL DE CALIDAD	
		FORMATOS DE CONTROL DE CALIDAD	SECTOR :	LABORATORIO	
			CODIGO:	01-17-TC-RC-001	
		QCF-TC-01	CODIGO.	01-17-10-10-001	
		DATOS DEL PROYECTO	DATO	S DEL PERSONAL	
	EBIS : INFLUENCIA DE LA ADICIÓN DE CENIZA DE CASCARILLA DE CAPÉ EN LA TRABAJABILIDAD Y RESISTENCIA A COMPRESIÓN DEL CONCRETO		GERENTE GENERAL :	ING. RAFAEL QUIROZ CH.	
UBICACIÓN	cación DISTRITO: JAÉN, PROVINCIA: JAÉN, REGIÓN: CAJAMARCA.		JEFE DE CALIDAD :	ING. LUIS QUIROZ CHIHUAN.	
SOLICITANTE :	Bach. JOSMAR HAROLD FERNÁNDEZ	TECNICO DE LAB :	MARCO CHUQUIHUANGA		

STANDARD TEST METHOD FOR COMPRESSIVE STRENGTH OF CYLINDRICAL CONCRETE SPECIMENS METODO DE ENSAYO PARA EL ESFUERZO A LA COMPRESION DE MUESTRAS CILINDRICAS DE CONCRETO A.S.T.M. C 39

PROBETA N °	Fecha Fabricación	Fecha Rotura	Edad (días)	IDENTIFICACION	Carga Rotura KN.	f'c kg/cm²	Diametro cm	Resistencia Máxima kg./cm²	Resistencia Promedio kg./cm²	Porcentaje f'c	
1	18-jun	02-jul	14	Concreto con 8 % de adición	158.23		10.35	191.78	200.71		
2	18-jun	02-jul	14	Concreto con 8 % de adición	164.43		10.18	206.00			
3	18-jun	02-jul	14	Concreto con 8 % de adición	161.11		10.23	199.88			
4	18-jun	02-jul	14	Concreto con 8 % de adición	160.57		10.30	196.51			
5	18-jun	02-jul	14	Concreto con 8 % de adición	158.74		10.25	196.17			
6	18-jun	02-jul	14	Concreto con 8 % de adición	168.08	280.00	10.23	208.52		71.68%	
7	18-jun	02-jul	14	Concreto con 8 % de adición	168.96		10.21	210.44			
8	18-jun	02-jul	14	Concreto con 8 % de adición	156.84		10.25	193.82			
9	18-jun	02-jul	14	Concreto con 8 % de adición	167.64		10.22	208.38			
10	18-jun	02-jul	14	Concreto con 8 % de adición	159.23		10.28	195.63			
11	13-jun	11-jul	28	Muestra patron	252.02		10.32	307.23	305.38		
12	13-jun	11-jul	28	Muestra patron	255.84		10.28	314.32		109.06%	
13	13-jun	11-jul	28	Muestra patron	233.55	- 280.00	10.32	284.72			
14	13-jun	11-jul	28	Muestra patron	253.48		10.28	311.42			
15	13-jun	11-jul	28	Muestra patron	250.90		10.27	308.85			
16		11-jul	28	Muestra patron	231.11		10.28	283.94			
17	13-jun 13-jun	11-jul	28	Muestra patron	245.10		10.27	301.71			
18	13-jun	11-jul	28	Muestra patron	261.42		10.26	322.43			
19	13-jun	11-jul	28	Muestra patron	248.15		10.22	308.46			
20	13-jun	11-jul	28	Muestra patron	248.50		10.19	310.72			
21	19-jun	17-jul	28	Concreto con 1 % de adición	270.65		10.27	333.16			
22	19-jun	17-jul	28	Concreto con 1 % de adición	278.40		10.27	344.04			
23			28	Concreto con 1 % de adición	275.53	- 280.00	10.22	342.50			
	19-jun	17-jul	28	Concreto con 1 % de adición	285.67		10.25	353.03			
24	19-jun	17-jul					10.28	338.45			
25	19-jun	17-jul	28	Concreto con 1 % de adición	275.48			349.06	342.59	122.35%	
26	19-jun	17-jul	28	Concreto con 1 % de adición	283.01		10.26	339.93			
27	19-jun	17-jul	28	Concreto con 1 % de adición	277.76		10.30	354.60	-		
28	19-jun	17-jul	28	Concreto con 1 % de adición	284.15		10.20	339.40	1		
29	19-jun	17-jul	28	Concreto con 1 % de adición	275.18		10.26	331.75			
30	19-jun	17-jul	28	Concreto con 1 % de adición	268.45		10.25	(

Prohibida su Reproducción Total o Parcial (INDECOPI). Derechos Reservados RQ - GEOCON VIAL - INGENIEROS CONSULTORES E.I.R.L.

LUIS RAFAEL QUIROZ CHIHUAN INGENIERO CIVIL
Especialista en Mecánica de Suelos,
Tecnologie del Concreto, Tecnologia del
Astalto, Geotécnia y Perimentes
CIP: 123892

GEOCON VIAL - INGENIEROS CONSULTORES E.I.R.L.

CALLO CAMPAGNA DE ADITIVOS QUAMICOS PARA LA CONSTRUCÇION.

R.U.C. 204959544947. Telef. 076 431132. Cel. 978-862127. Email: _oeccomissióshotmail.com_eccomissióshotmail.com.eccomissiósh

GEOCOTY VI. OMGCLTOPES 8-8 L.		GEOCON VIAL - INGENIEROS CONSULTORES E.I.R.L.		OFICINA DE GESTION Y CONTROL DE CALIDAD		
		FORMATOS DE CONTROL DE CALIDAD	SECTOR :	LABORATORIO 01-17-TC-RC-001		
		QCF-TC-01	conigo:			
		DATOS DEL PROYECTO	DA	TOS DEL PERSONAL		
ESIS:	INFLUENCIA DE LA ADICIÓN DE CE CONCRETO	NIZA DE CASCARILLA DE CAFÉ EN LA TRABAJABILIDAD Y RESISTENCIA A COMPRESIÓN DEL	GERENTE GENERAL :	ING. RAFAEL QUIROZ CH.		
BICACIÓN	DISTRITO: JAÉN, PROVINCIA:JAÉN	REGIÓN: CAJAMARCA.	JEFE DE CALIDAD :	ING. LUIS QUIROZ CHIHUAN.		
BOLICITANTE :	Bach. JOSMAR HAROLD FERNÁND	EZ PÉREZ, Bach. MARISOL DÍAZ VARGAS	TECNICO DE LAB :	MARCO CHUQUIHUANGA		

STANDARD TEST METHOD FOR COMPRESSIVE STRENGTH OF CYLINDRICAL CONCRETE SPECIMENS METODO DE ENSAYO PARA EL ESFUERZO A LA COMPRESION DE MUESTRAS CILINDRICAS DE CONCRETO A.S.T.M. C 39

PROBETA N °	Fecha Fabricación	Fecha Rotura	Edad (días)	IDENTIFICACION	Carga Rotura KN.	f'c kg/cm²	Diametro cm	Resistencia Máxima kg./cm²	Resistencia Promedio kg./cm²	Porcentaj f'c
1	15-jun	13-jul	28	Concreto con 2 % de adición	244.99		10.31	299.24	319.67	
2	15-jun	13-jul	28	Concreto con 2 % de adición	267.26		10.28	328.35		114.17%
3	15-jun	13-jul	28	Concreto con 2 % de adición	259.25		10.30	317.27		
4	15-jun	13-jul	28	Concreto con 2 % de adición	250.80		10.26	309.33		
5	15-jun	13-jul	28	Concreto con 2 % de adición	267.46	280.00	10.24	331.17		
6	15-jun	13-jul	28	Concreto con 2 % de adición	266.72	200.00	10.19	333.50		114.117
7	15-jun	13-jul	28	Concreto con 2 % de adición	258.34		10.28	317.39		
8	15-jun	13-jul	28	Concreto con 2 % de adición	251.80		10.26	310.56		
9	15-jun	13-jul	28	Concreto con 2 % de adición	265.32		10.18	332.40		
10	15-jun	13-jul	28	Concreto con 2 % de adición	255.38		10.22	317.45		
11	17-jun	15-jul	28	Concreto con 4 % de adición	205.56		10.27 253.	253.04	257.21	91.86%
12	17-jun	15-jul	28	Concreto con 4 % de adición	204.04	280.00	10.26	251.66		
13	17-jun	15-jul	28	Concreto con 4 % de adición	205.16		10.25	253.53		
14	17-jun	15-jul	28	Concreto con 4 % de adición	208.57		10.21	259.77		
15	17-jun	15-jul	28	Concreto con 4 % de adición	206.05		10.22	256.13		
16	17-jun	15-jul	28	Concreto con 4 % de adición	225.96		10.28	277.61		
17	17-jun	15-jul	28	Concreto con 4 % de adición	213.44		10.25	263.77		
18	17-jun	15-jul	28	Concreto con 4 % de adición	196.65		10.19	245.89		
19	17-jun	15-jul	28	Concreto con 4 % de adición	203.11		10.18	254.46		
20	17-jun	15-jul	28	Concreto con 4 % de adición	206.16		10.22	256.27		
21	18-jun	16-jul	28	Concreto con 8 % de adición	168.23		10.33	204.69		
22	18-jun	16-jul	28	Concreto con 8 % de adición	173.94		10.27	214.12		
23	18-jun	16-jul	28	Concreto con 8 % de adición	167.53		10.28	205.82		
24	18-jun	16-jul	28	Concreto con 8 % de adición	174.90	280.00	10.28	214.88	209.53	
25	18-jun	16-jul	28	Concreto con 8 % de adición	173.57		10.29	212.83		74.83%
26	18-jun	16-jul	28	Concreto con 8 % de adición	163.56		10.28	200.95	209.33	14.03%
27	18-jun	16-jul	28	Concreto con 8 % de adición	168,55		10.19	210.75		
28	18-jun	16-jul	28	Concreto con 8 % de adición	172.50		10.23	214.01		
29	18-jun	16-jul	28	Concreto con 8 % de adición	165.48		10.20	206.51		
30	18-jun	16-jul	28	Concreto con 8 % de adición	169.23		10.21	210.77		

Prohibida su Reproducción Total o Parcial (INDECOPI), Derechos Reservados RQ - GEOCON VIAL - INGENIEROS CONSULTORES E.I.R.L.

LUIS RAFAEL QUIROZ CHIHUAN
INGENIER CIVII
ESBACIALA UIS KAPACIQUIROZ CHITOAN IN GENIERO CIVIL Especialista en Mecánica de Suetes. Tacnelogie en Conerero, Tecnologia del Asialto, Geotecnia y Pavimentos CIP: 123892

GEOCON VIAL — INGENIEROS CONSULTORES E.I.R.L.

Calle. Capitan Juan Porcel Nº 108 — Jalen — Cajamarca.

R.U.C. 20495954947. Talen. 076 431132. Cal. 976-882127. Ermai: aneconvisión tornal com. geoconvisión amail com.

PROVECTOS DE INGENIERIA. SUPERVISION DE CONTROL DE CALIDAD. ESTUDIOS E OFFICIOSOCOS: ESTUDIOS DE MECANICA DE SUELOS.

TECHOLOGIA DEL CONCRETO, TECNOLOGIA DEL ASFALTO, DISEÑO DE PARMIENTOS, ALCINILER DE EQUIPOS DE LABORATORIO Y VENTA DE ADITIVOS QUIMNOS PARA LA CONSTRUCCION.

660CRVAL MARKETON COMPATIVES F1 RL		GEOCON VIAL - INGENIEROS CONSULTORES E.I.R.L.		OFICINA DE GESTION Y CONTROL DE CALIDAD		
		FORMATOS DE CONTROL DE CALIDAD	SECTOR :	LABORATORIO		
			CODIGO:	01-17-TC-RC-001		
		QCF-TC-01	CODIGO.	01-17-10-NG-001		
		DATOS DEL PROYECTO	DAT	TOS DEL PERSONAL		
ESIS :	INFLUENCIA DE LA ADICIÓN DE CENI CONCRETO	ZA DE CASCARILLA DE CAFÉ EN LA TRABAJABILIDAD Y RESISTENCIA A COMPRESIÓN DEL	GERENTE GENERAL :	ING. RAFAEL QUIROZ CH.		
BICACIÓN	DISTRITO: JAÉN, PROVINCIA: JAÉN, I	REGIÓN: CAJAMARCA.	JEFE DE CALIDAD :	ING. LUIS QUIROZ CHIHUAN.		
OLICITANTE :	Bach, JOSMAR HAROLD FERNÁNDE	PÉREZ, Bach, MARISOL DÍAZ VARGAS	TECNICO DE LAB :	MARCO CHUQUIHUANGA		

METODO DE ENSAYO PARA EL PESO U NITARIO DEL CONCRETO ENDURECIDO

				A DE CASCARILLA DE	
MUESTRA	0.00%	1.00%	2.00%	4.00%	8.00%
1.0000	2.4093	2.3661	2.3639	2.3414	2.3690
2.0000	2.4128	2.3830	2.3703	2.3698	2.3837
3.0000	2.3563	2.3699	2.3690	2.3828	2.3782
4.0000	2.3836	2.3561	2.3831	2.3674	2.3391
5.0000	2.3783	2.3569	2.3623	2.3462	2.3349
6.0000	2.3759	2.3649	2.3513	2.3803	2.3416
7.0000	2.3625	2.3735	2.3714	2.3402	2.3543
8.0000	2.3649	2.3653	2.3931	2.3797	2.3506
9.0000	2.4040	2.3758	2.3766	2.3840	2.3561
10.0000	2.3922	2.3888	2.3587	2.3834	2.3202
11.0000	2.4047	2.3719	2.3985	2.3170	2.2742
12.0000	2.3941	2.3741	2.3739	2.3375	2.3660
13.0000	2.3715	2.3761	2.3701	2.3765	2.3381
14.0000	2.3743	2.3599	2.3264	2.3239	2.3052
15.0000	2.3709	2.3500	2.3406	2.3216	2.3428
16.0000	2.3623	2.3673	2.3569	2.3789	2.3273
17.0000	2.3703	2.3685	2.3937	2.3518	2.3569
18.0000	2.3713	2.3854	2.3319	2.3189	2.3170
19.0000	2.3368	2.3759	2.3657	2.3500	2.3415
20.0000	2.3713	2.3649	2.4277	2.3543	2.3178
21.0000	2.3431	2.3689	2.3476	2.3412	2.2830
22.0000	2.3649	2.3794	2.3631	2.3634	2.3247
23.0000	2.3472	2.3822	2.3486	2.3515	2.3154
24.0000	2.3697	2.3818	2.3624	2.3781	2.3142
25.0000	2.3755	2.3473	2.3657	2.3855	2.3246
26.0000	2.3655	2.3595	2.3956	2.3488	2.3047
27.0000	2.3689	2.3611	2.3533	2.3506	2.3662
28.0000	2.3705	2.3963	2.3577	2.3874	2.3260
29.0000	2.3946	2.3699	2.4116	2.3982	2.3507
30.0000	2.4063	2.3728	2.3885	2.3765	2.3497
PROMEDIO	2.3758	2.3705	2.3693	2.3596	2.3358

Prohibida su Reproducción Total o Parcial (INDECOPI). Derechos Reservados RQ - GEOCON VIAL - INGENIEROS CONSULTORES E.I.R.L.

LUS RAFAEL QUIROZ CHIHUÁN
INGENIERO CIVIL
Especialista en Mecánica de Sueles,
Tecnologie del Concreto, Tecnologia del
Astalto, Geotécnia y Pavimentos

PANEL FOTOGRÁFICO



Visita realizada a la ladrillera GREQ.



Proceso de tamizado y selección de la ceniza de cascarilla de café pasante de la malla $N^{\circ}100$.



Ensayo químico de la ceniza de cascarilla de café (CCC).



Cuarteo de los agregados antes de los ensayos, para seleccionar muestras representativas y homogéneas.



Granulometría de los agregados; se tamizó de manera mecánica y se pesó cada retenido.



Ensayo de gravedad específica del agregado grueso.



Ensayo de gravedad específica del agregado fino.



Ensayo de contenido de humedad de agregados.



Materiales para la elaboración de la mezcla.



Elaboración de mezclas.



Ensayos en concreto fresco slump y temperatura.



Ensayos en concreto fresco peso unitario y contenido de aire.



Elaboración de testigos de concreto.



Ensayo de peso unitario en conncreto endurecido y toma de dimensiones del diámetro.



Ensayo de esfuerzo acompresión a los 7 días de curado.



Ensayo de esfuerzo acompresión a los 14 días de curado.



Ensayo de esfuerzo acompresión a los 28 días de curado.



Control de velocidad para rotura de probetas.